

UNIVERSIDADE DE CAMPINAS
INSTITUTO DE BIOLOGIA
DEPARTAMENTO DE BOTÂNICA



Luis Carlos Bernacci

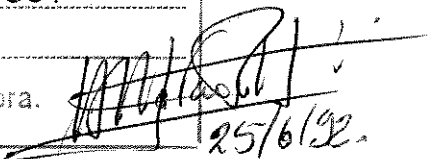
ESTUDO FLORÍSTICO E FITOSSOCIOLOGICO DE UMA FLORESTA
NO MUNICÍPIO DE CAMPINAS, COM ÊNFASE NOS COMPONENTES
HERBÁCEO E ARBUSTIVO.

Orientador: Prof. Dr. Hermógenes de Freitas Leitão Filho

Feste exemplar corresponde à redação final
da tese defendida pelo (a) candidato (a)

Luis Carlos Bernacci

e aprovada pela Comissão Julgadora.


25/6/92.

Dissertação apresentada ao Instituto de
Biologia da Universidade Estadual de
Campinas, como parte dos requisitos
para a obtenção do título de Mestre em
Biologia Vegetal.

Campinas - SP
25 de junho de 1992



Dedico este trabalho a meus pais

Darcy e Isaura

AGRADECIMENTOS

Gostaria de deixar aqui expresso meus maiores agradecimentos ao

Prof. Hermógenes, pela orientação, apoio e exemplo de competência;

Sr. Rubem Paes de Barros, pela permissão em utilizar a área de sua propriedade para o presente estudo e pelo esforço em manter a mata livre de exploração;

aos amigos do Departamento de Botânica, pela convivência agradável, e em particular ao

Prof. Fernando, pelo empréstimo de bibliografia e apoio;

Prof. Flávio, por discussões de metodologia no início do trabalho, auxílio em computação e estatística, empréstimo de bibliografia e participação na pré-banca;

Prof. Shepherd, pelo auxílio com o programa Fitopac, particularmente com análises multivariadas;

Prof. Joly, pelo empréstimo de fotômetro e bibliografia e por participar da pré-banca;

Prof. João Semir, pelo auxílio em taxonomia;

aos colegas, Júlio, Carmem, João e Renata, Dionete, Silvia, Luciano, Rosângela, Valéria, Marcos Assis, Alberto Jorge, Alexandre e Rita, pela amizade, e em particular a

Julie, por intermediar o contato com o proprietário da fazenda;

Roseli, Patrícia e Edvani, Andréia, Cristina e Main, Sandro e Wagner, Eugênia e Marcos Florentino, pelo acompanhamento ao campo;

Patrícia e Márcia, pela leitura prévia do manuscrito e sugestões;

aos funcionários, Sr. José, João Carlos, Bel e Dona Jandira, Marina e corpo técnico do herbário, Carmem e Lúcia, por auxílios diversos e amizade e particularmente a Esmê, pelos desenhos da tese;

Eng. Ricardo Marque, da Seção de Pedologia do IAC, por interpretação dos tipos de solo da área;

Prof. Oswaldo Cesar, do Departamento de Botânica, UNESP, Campus de Rio Claro, pelo empréstimo de triturador e pela participação na pré-banca;

Dr. Tatiana Senduski, do Instituto de Botânica de São Paulo, pelas identificações de gramíneas;

Dr. Baitelo, do Instituto Florestal de São Paulo, pelas identificações e confirmações de lauráceas;

Inês Cordeiro, do Instituto de Botânica de São Paulo, pelas identificações e confirmações em euphorbiáceas;

Eng. Rogério Remo Alfonsi, da Seção de Climatologia do IAC, pelo acesso a bibliografia e informações sobre clima;

órgãos financiadores, CAPES, no período de 03/88 a 03/91, e FAEP, no período de 08-10/91, pelo auxílio financeiro;

Marta, pela compreensão e carinho.

Como, apesar dos esforços destas pessoas, não foi possível evitar que eu ainda continuasse a apresentar erros, peço desculpas também pelas omissões que possa ter cometido.

ÍNDICE

	Página
I INTRODUÇÃO.....	1
II JUSTIFICATIVA.....	4
III OBJETIVOS.....	6
IV MATERIAIS E MÉTODOS.....	7
1. Área de estudo.....	7
1.a. Fazenda São Vicente.....	7
1.b. Fisionomias da floresta.....	7
1.c. Sítios de amostragem.....	11
2. Clima.....	11
3. Relevo e geomorfologia.....	15
4. Métodos de amostragem.....	16
4.a. Florística.....	16
4.b. Fitossociologia.....	17
4.b.I. Vegetação herbáceo-arbustiva.....	18
4.b.II. Vegetação arbórea.....	20
4.c. Amostragem de solo.....	21
4.d. Medidas de luminosidade.....	23
5. Análise dos dados.....	23
5.a. Florística.....	23
5.b. Fitossociologia.....	25
5.c. Luminosidade.....	28
V RESULTADOS	
1. Florística.....	30
2. Fitossociologia.....	49
2.a. Vegetação herbáceo-arbustiva.....	49
2.b. Vegetação arbórea.....	63
3. Solos.....	76
4. Luminosidade.....	77

VI DISCUSSÃO.....	81
1. Solo.....	86
2. Luminosidade.....	90
3. Fitossociologia e florística do estrato arbóreo.....	90
3.a. Similaridade.....	90
3.b. Diversidade.....	98
3.b.I. Medidas de diversidade.....	98
3.b.II. Padrões específicos.....	102
3.b.III. Interações entre espécies.....	107
4. Fitossociologia e florística do componente herbáceo e arbustivo.....	110
4.a. Similaridade.....	110
4.b. Diversidade.....	114
4.b.I. Medidas de diversidade.....	114
4.b.II. Padrões específicos.....	115
4.b.III. Interações entre espécies.....	117
VII CONCLUSÕES.....	119
 Resumo.....	122
 Abstract.....	125
 Bibliografia.....	127

Apêndices

dados fitossociológicos da vegetação herbácea arbustiva:	
- por espécies.....	135
- por famílias.....	137
- por parcelas.....	138
- por grupos de parcelas.....	140
 dados fitossociológicos do componente arbóreo:	
- por espécies.....	141
- por famílias.....	143
- por parcelas.....	144
 dados químicos e físicos do solo.....	145
 número de indivíduos e cobertura por parcelas das espécies com pelo menos 10 indivíduos na vegetação herbácea-arbustiva.....	146

I - INTRODUÇÃO

O Estado de São Paulo possuia 81,3% do seu território coberto por florestas que sofreram drástica eliminação, tendo sido reduzidas a menos de 5% da área do Estado (VICTOR 1975). Pequenos remanescentes destas matas podem ainda ser encontradas, como por exemplo, em encostas íngremes, em vales inacessíveis ou em cumes em que a exploração econômica seria difícil; mesmo assim, tais matas sofreram modificações pela retirada de madeira (HUECK 1972).

As áreas de vegetação nativa protegidas como unidades de conservação representam cerca de 2% da área do Estado (FUNDAÇÃO FLORESTAL 1986); no entanto, mesmo em algumas destas áreas não está excluída a possibilidade de exploração econômica e a maior parte das áreas preservadas localiza-se no domínio da Mata Atlântica (BARRETO 1985).

Nas regiões leste e sul do país, a oeste das montanhas costeiras, inicia-se uma extensa área de uniformidade climática e solos muito variáveis, que entretanto, não acarretam modificações quanto à presença da maioria das espécies arbóreas, em toda a região (HUECK ibid).

Este mesmo autor identificou as matas desta região como "úmidas subtropicais perenifólias, isoladamente misturadas com árvores decíduas", extendendo-se a partir do Rio Grande do Sul até São Paulo, penetrando em Minas Gerais e tendo como limite ocidental o Rio Paraná. Ressalta que, apesar da variabilidade destas matas e de terem sido descobertas muito cedo na colonização do Brasil, elas não atraíram, inicialmente, a atenção de botânicos brasileiros ou estrangeiros, cujos interesses se voltaram mais para a Hileia e vegetação costeira.

HUECK (ibid) considerou que estas matas podem vir a ser "bem delimitadas entre si, com base em diferenças climáticas, de solo, relevo e, especialmente, devido à composição vegetal".

Particularmente com relação a São Paulo, LEITÃO-FILHO (1982), abordando uma sistematização mais precisa das florestas existentes, ressalta a característica deciduidade de folhas num grande número de espécies, principalmente dos estratos superiores, durante o inverno (período seco e mais frio). Diante desta consideração diferenciou-se estas matas daquelas mais ao sul do país (Rio Grande do Sul até parte do Paraná), ao passo que incluiu-se formações descontínuas que se extendem por Mato Grosso, Goiás e em área menor no Espírito Santo, Rio de Janeiro até o sul da Bahia.

RIZZINI (1979) considera que, tanto quanto a Mata Atlântica, as matas do interior são as formações vegetais mais importantes do Estado, seja pela extensão que ocupam seja pela variação florística e estrutural que apresentam.

Estudos fitossociológicos analisando os componentes dos estratos inferiores de formações florestais são ainda raros no Brasil.

CAIN et al. (1956) apresentam dados, tanto dos indivíduos arbóreos como daqueles dos estratos inferiores, de trabalhos desenvolvidos em uma formação de "Floresta Pluvial Equatorial", na Amazônia (Belém, PA) e três formações de "Floresta Pluvial Temperada" (Caiobá, PR - "Formação Costeira"; Foz do Iguaçu, PR e Pelotas, RS).

VELOSO & KLEIN (1957, 1959, 1961, 1963, 1968a, 1968b) estudaram várias localidades de "Mata Pluvial" do Sul do país, onde determinaram as espécies características dos vários componentes da vegetação.

Knob (1978 apud MANTOVANI, 1987) desenvolveu estudo semelhante em mata do Rio Grande do Sul ("floresta subtropical semidecídua").

CITADINI-ZANETTE (1984) estudou exclusivamente a vegetação herbácea em Mata Atlântica no Rio Grande do Sul, realizando agrupamento de parcelas segundo espécies diferenciais.

CESTARO et al. (1986) estudaram particularmente a vegetação herbácea em Mata de Araucária, realizando agrupamentos segundo os mesmos moldes.

TEIXEIRA & PEDRALLI (1987) estudando uma formação de mata seca sobre afloramentos calcáreos (formação incluída dentro da denominação de Matas de Planalto) consideraram os indivíduos herbáceos, sendo que alguns taxa deste componente foram os responsáveis pelos maiores valores de frequência e densidade relativa.

Em todos os trabalhos citados fez-se emprego do método de parcelas.

CASTELLANI (1986) empregou o método de pontos no estudo do estrato inferior de uma área de uma mata, no Município de Campinas, atingida por fogo e, em estado de sucessão secundária.

O método de parcelas tem se mostrado igualmente eficaz no estudo de florestas cultivadas, tendo SCHLITTNER (1984) utilizado o método no estudo do subosque de uma plantação de Eucalyptus.

II - JUSTIFICATIVA

Conforme anteriormente mencionado, a devastação de áreas com cobertura florestal no Estado de São Paulo atingiu índices alarmantes, tendo sido resultante de fatores ainda hoje persistentes.

Como testemunho desta situação pode-se citar as conclusões do Consemra (BARRETO, ibid) :

" É preciso considerar que já existem muitas leis, sobre a conservação dos recursos naturais, mas que, a maioria delas não tem sido cumprida. ... Os recursos humanos e materiais disponíveis para a fiscalização são escassos e ainda insuficientes. As derrubadas ilegais não representam apenas um desrespeito às leis, elas são o testemunho do desinteresse pela relação harmoniosa do homem com a natureza. A ação de vigilância e fiscalização exercida pela comunidade na defesa desse patrimônio comum é a maior garantia de sobrevivência de nossa flora e fauna ..."

Em vista destes processos de devastação muitas informações a respeito das formações vegetais não chegam sequer a ser levantadas. Este fato se agrava quando se sabe que no Estado de São Paulo, onde a atividade econômica é muito intensa, acentuando as causas da devastação, existem poucos trabalhos realizados, mesmo considerando-se o incremento no número de trabalhos nos últimos 20 anos. E, apesar deste aumento no número de trabalhos, o enfoque é marcadamente para o componente arbóreo.

O conhecimento da vegetação herbácea-arbustiva possibilita o acesso a informações ainda relegadas à segundo plano.

A vegetação herbáceo-arbustiva constitue um banco genético de valor inestimável, devido ao grande número de espécies e particularmente às variações nas formas de vida que apresenta, muito maiores que as dos componentes arbóreos. Entre as plantas exploradas economicamente a participação das herbáceo-arbustivas é nitidamente maior.

Os elementos do componente herbáceo-arbustivo apresentam uma grande plasticidade e estão sujeitos a condições particulares em relação aos componentes arbóreos; assim, e inclusive devido ao menor porte, são mais sensíveis a diferenças do ambiente, para as quais as árvores não manifestam reação. Podem, então, ser apropriadas como indicadoras das condições ambientais, caracterizando, inclusive, os estádios sucessionais.

O acesso a informações para a preservação das florestas não é possível apenas através do conhecimento da composição e estrutura do componente arbóreo, mas também depende do conhecimento da dinâmica de regeneração ocorrente nestas formações. Através do estudo da composição e estrutura dos indivíduos jovens das espécies arbóreas e de sua interação com outros elementos que compartilham nichos semelhantes se pode obter informações mais diretas e precisas sobre a dinâmica das formações florestais do que as obtidas a partir de inferências surgidas do estudo do componente arbóreo.

Da preservação ou manejo do componente herbáceo-arbustivo pode depender a preservação de formações florestais e por consequência da fauna silvestre, bem como o conhecimento das relações envolvendo este componente da vegetação pode garantir o sucesso de futuros repovoamentos florestais.

Com relação aos componentes dos estratos herbáceo-arbustivos de formações florestais há escassez de trabalhos em todo país.

III- OBJETIVOS

- * Levantar as espécies vegetais ocorrentes na área;
- * Estudar a estrutura do componente herbáceo-arbustivo através da análise de parâmetros fitossociológicos;
- * Estabelecer relações quantitativas e qualitativas dos estratos inferiores de uma formação florestal com micro-ambientes condicionados por diferenças de luminosidade;
- * Contribuir para um melhor conhecimento das matas mesófilas semidecíduas, através da análise de elementos pouco estudados, oferecendo informações que podem adicionar subsídios ao estabelecimento de normas de proteção ambiental e técnicas de manejo objetivando manter ao mínimo as alterações na sua estrutura e composição atuais ou, possivelmente, encaminhá-las a um estado de manutenção auto-sustentável;
- * Analisar as relações existentes entre os vários estratos da floresta em função de parâmetros fitossociológicos e estádios sucessionais;
- * Contribuir para o conhecimento da fitogeografia do Brasil, através de um conhecimento mais amplo das formações vegetais, dando sequência a programas de florística e fitossociologia do Departamento de Botânica do Instituto de Biologia da UNICAMP.

IV - MATERIAIS e MÉTODOS

1. Área de estudo

1.a. Fazenda São Vicente

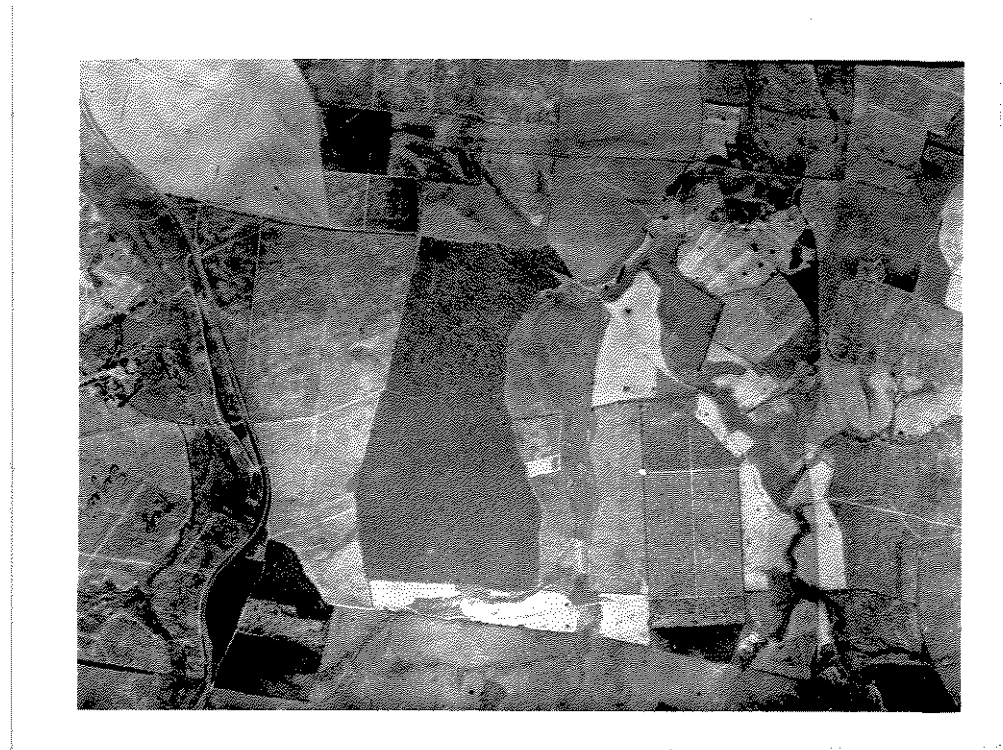
A área de estudo localiza-se no Município de Campinas ($22^{\circ}55'S$ e $47^{\circ}03'W$), no Estado de São Paulo. A vegetação nativa da região é representada por manchas de cerrado (*sensu lato*) e matas mesófilas semidecíduas e ripárias.

A Fazenda São Vicente, que apresenta altitudes de 625 a 675m, é de propriedade particular e pertence ao Sr. Rubem Paes de Barros. Na época da implantação da mesma, toda a área era coberta por matas, que sofreram, então, derrubadas para o funcionamento de uma serraria e posteriormente para uso agrícola.

Da vegetação inicial restou na Fazenda uma área de cerca de 30 alqueires (aproximadamente 70ha).

1.b. Fisionomias da floresta

A referida área florestal tem formato alongado (o comprimento tem aproximadamente o dobro da largura) em direção aproximadamente N-S (figuras 1 e 2). É cortada no extremo N, por uma estrada de uso limitado (com as chuvas do verão 90-91 ficou intransitável, devido a abertura de valas pela erosão, e até o momento não foi reativada)



N
↑

Figura 1. Foto aérea da Fazenda São Vicente, destacando-se, ao centro,

a mata. 500m

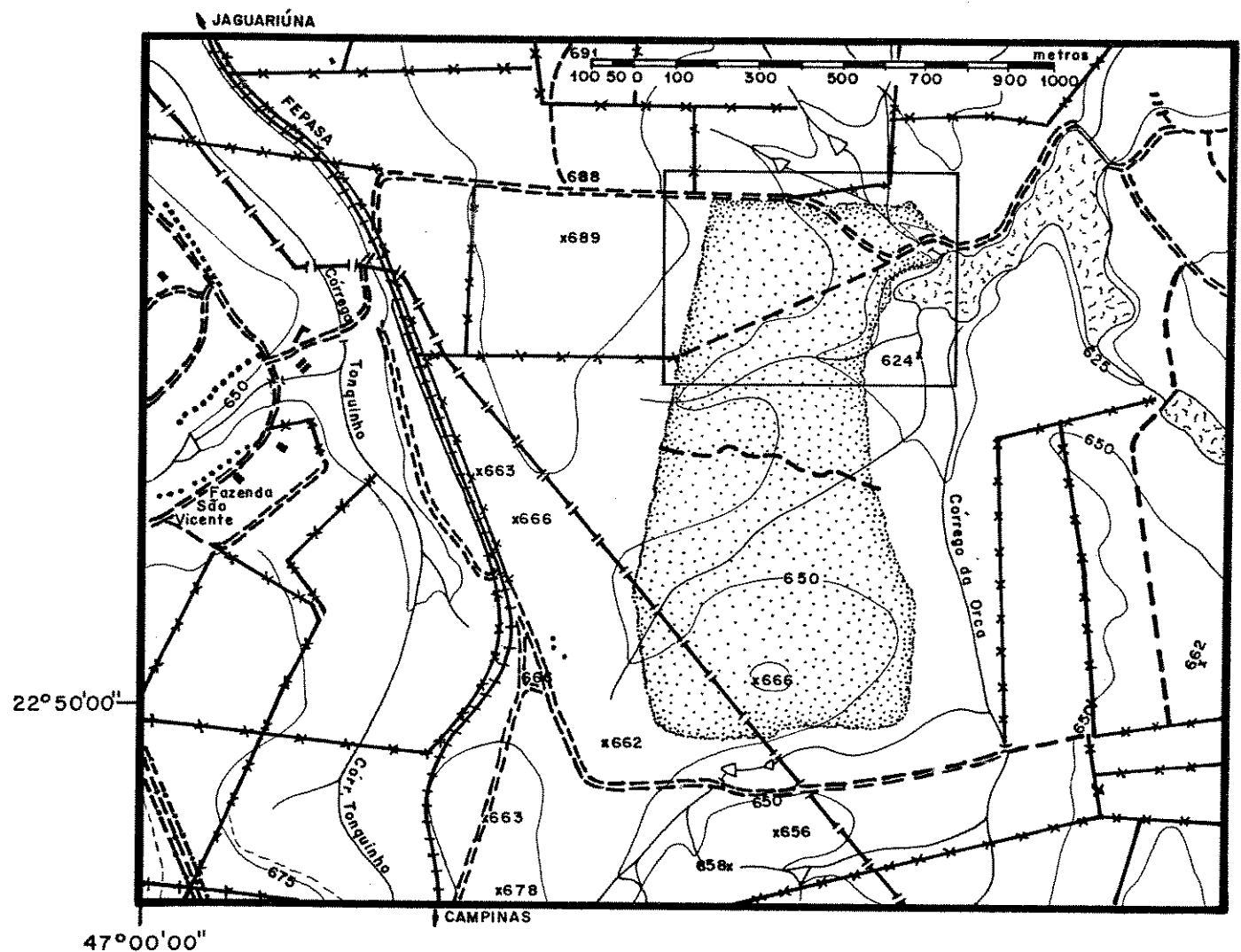


Figura 2. Mapa cartográfico destacando a posição da mata na Fazenda São Vicente. O quadrilátero assinalado representa o local onde concentraram-se as observações de campo, incluindo os sítios amostrais para os estudos fitossociológicos, na mata. (Realizado a partir do original, da Prefeitura Municipal de Campinas.) mata; — altimetria; — hidrografia; — benfeitorias.

A mata era atravessada por duas outras estradas, uma na direção NE-SW, comunicante com a primeira, e outra em direção aproximadamente E-W, mas que estão desativadas há muito, encontrando-se árvores, que surgiram por regeneração da mata, nos leitos das mesmas.

A foto da figura 1 é muito antiga (aproximadamente anos 40/50) e nela é ainda possível ver uma das antigas estradas que a atravessava (direção E-W). A mata ainda guarda os mesmos contornos e tamanho, mas é hoje atravessada por um oleoduto, na direção NW-SE, na parte S da mata, de instalação posterior a época da foto e cujo processo de manutenção, em uma faixa de cerca de 20m de largura, compromete a vegetação.

Apesar da existência das estradas e oleoduto a mata tem estado livre de ação antrópica direta intensiva nos últimos 50 anos, conforme comunicação pessoal do proprietário.

Pela mata passam três pequenos cursos d'água, dois que a atravessam na direção NE-SW e um, de menor extensão, na direção NW-SE na parte N, e que desaguam em uma represa, construída a cerca de 30 anos, nas proximidades da parte N da mata.

Através de caminhadas pela mata se pode observar que no lado E da mata, o primeiro curso d'água (a partir do N) de direção NE-SW alaga uma faixa de cerca de 20-25m, onde ocorrem principalmente ervas e a vegetação arbórea emergente (às margens) apresenta-se com epífitas.

No lado W, próximo às nascentes do segundo riacho, ocorrem muitas palmeiras.

No geral, a partir das observações realizadas durante caminhadas, a mata é fisionomicamente homogênea, sendo que a vegetação herbácea-arbustiva é relativamente escassa, as lianas são muito frequentes, sendo, em locais esparsos, dominantes e encontram-se algumas árvores, ou restos delas, no chão.

1.c. Sítios de amostragem

Devido às facilidades de acesso (principalmente no início do trabalho) foram determinadas, como sítios amostrais, regiões próximas à estrada que atravessa a mata (figura 2).

2. Clima

Os dados climáticos foram obtidos junto ao CEPAGRI/UNICAMP (Centro de Pesquisas de Agricultura) e são do posto DAE D4/044 ($22^{\circ}53'S$ e $47^{\circ}05'W$, 710m de altitude), que é o posto metereológico mais próximo à área de estudo, estando a cerca de 12Km, em linha reta, da área de estudos.

Os valores metereológicos foram interpretados segundo o modelo simplificado de Camargo (1978), para o cálculo do balanço hídrico segundo Thornthwaite & Mather (1955), assumindo que o solo tem capacidade de reter 125mm de água (apud PESSOA 1985).

Os dados são do período de 1941 a 1988 e o balanço hídrico está representado na figura 3.

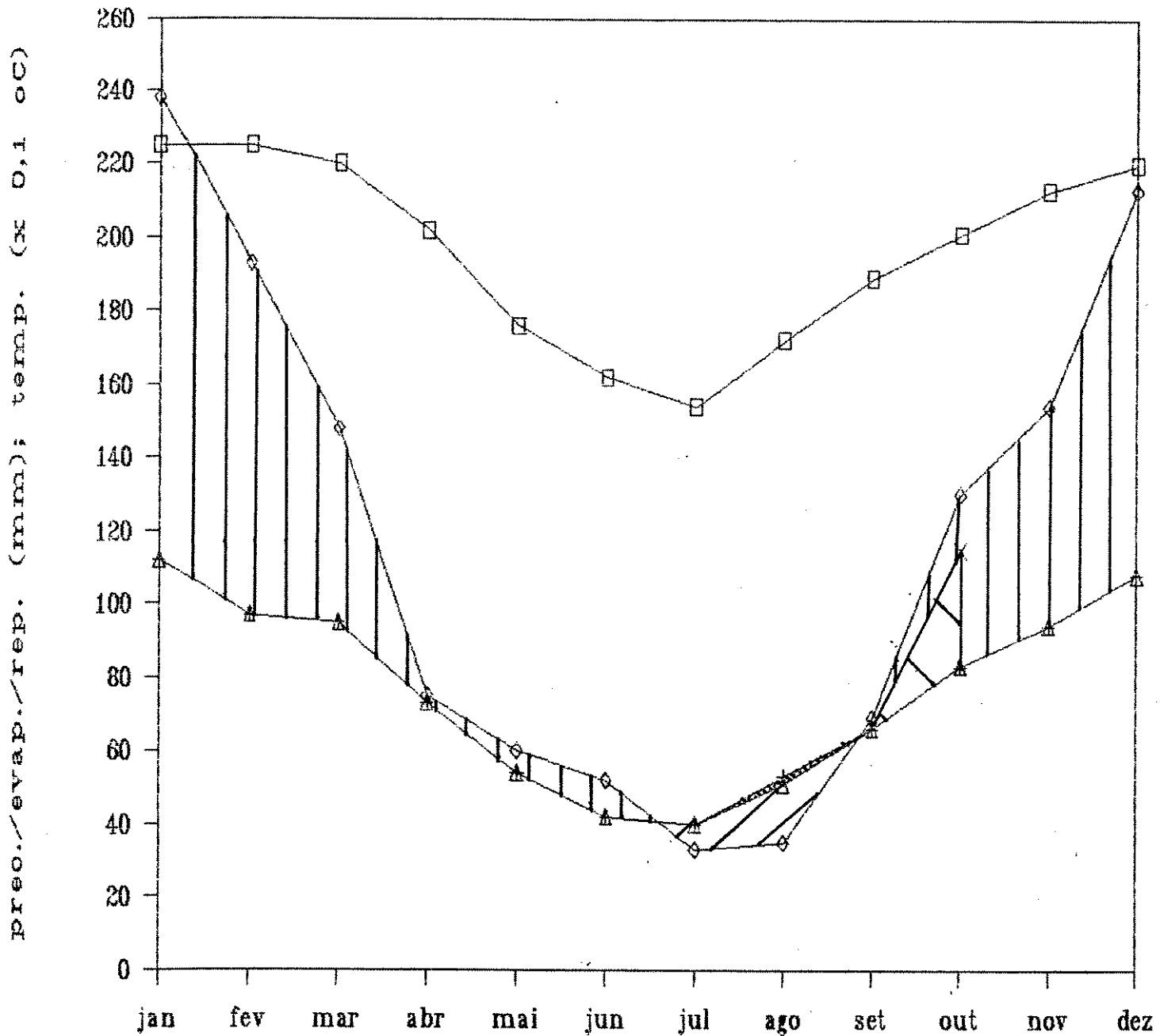


Figura 3. Temperatura e balanço hídrico, dos valores do período de 1941 a 1988 do posto DAE D4/044 ($22^{\circ}53'$ S e $47^{\circ}05'$ W, 710m de altitude), Campinas - SP. prec. precipitação (◊); evap. evapotranspiração, potencial (+), real (▲); rep. reposição (▽); temp. temperatura (■); excedente (■■); retirada (//); deficit (:::).

Segundo THORNTHWAITE (1948) o tipo climático, correspondente aos dados climáticos obtidos, seria B₂B'3rb'3 (2º úmido, 3º mesotérmico com regime de eficiência térmica normal deste e pequena -ou nula- deficiência hídrica).

A classificação climática de THORNTHWAITE (ibid) leva em conta os valores das médias anuais do excedente hídrico, da deficiência hídrica e/ou excedente hídrico e da evapotranspiração potencial. Determina-se o tipo climático, comparando-se em escalas*, os seguintes índices:

- "moisture index" (índice efetivo de umidade ou índice hídrico, OMETTO 1981): $I_m = (100s - 60d)/n$, ou $I_m = I_h - 0,6I_a$;
- índice de aridez ($I_a = 100d/n$), para os climas úmidos, ou do índice de umidade ($I_h = 100s/n$), para os climas áridos;
- índice de eficiência térmica (TE), que é representado pela evapotranspiração potencial (média anual);
- índice da concentração térmica no verão ($S = 157,76 - 66,44\log E$).

O índice hídrico é uma relação entre o excedente e a deficiência hídrica. O índice de eficiência térmica está relacionado à temperatura e ao comprimento do dia, expressando o crescimento da vegetação em termos de necessidade de água. A discrepancia entre o índice hídrico e o de eficiência térmica parece indicar que a pluviosidade não atinge os valores que permitiriam o crescimento máximo da vegetação. No entanto não há nenhuma estação com deficiência hídrica e o déficit de água é de apenas 2 mm ao ano.

- * s -excedente hídrico (mm);
- d -deficiência hídrica (mm);
- n -evapotranspiração potencial (mm);
- S -porcentagem da concentração da eficiência térmica no verão;
- E -evapotranspiração potencial (polegadas).

A concentração da eficiência térmica no verão reflete as influências da continentalidade ou oceanidade, das massas de ar, relevo etc... e a concordância entre este índice com o da eficiência térmica reflete que não há influência preponderante de algum destes fatores no clima.

Segundo Koeppen (1948 apud OMETTO ibid) os mesmos dados revelariam tratar-se de clima Cfa (Subtropical constantemente úmido). A classificação de Koeppen leva em conta a relação entre a precipitação e temperatura médias mensais e a relação entre a precipitação no mês mais úmido e mês mais seco.

Assim, o clima Cfa é úmido, apresenta temperatura do mês mais frio entre 18 °C e -3 °C, a precipitação máxima de verão não é maior que 10 vezes a precipitação do mês mais seco (já que em Campinas as maiores precipitações são no verão), há pelo menos 4 meses com temperaturas maiores que 10 °C e a temperatura do mês mais quente é maior que 22°C.

Nos mapas climatológicos apresentados por SETZER (1966) é possível observar-se que Campinas situa-se próxima ao limite de climas distintos, sendo que de acordo com o sistema de Koeppen apresentaria clima Cwa. Clima Cfa ocorreria mais a leste-nordeste e sul.

MATTHES et al. (1988) utilizando os dados do período de 1929 a 1967 da estação agrometeorológica de primeira classe do Centro Experimental de Campinas (22°54' S e 47°05' W, 669m de altitude) determinaram que aqueles dados correspondem a um clima Cwa (Subtropical com estiagem no inverno) pelo sistema de Koeppen; no entanto pelo sistema de Thornthwaite, determinaram que os mesmos dados correspondem a deficiência hídrica de pequena a nula, e que em termos de normais climáticas o clima é classificado como úmido.

3. Relevo e geomorfologia

A topografia regional é constituída de maneira geral por colinas de formas suavizadas, com relevo predominantemente suave ondulado a ondulado com declives inferiores a 7% (OLIVEIRA *et al.*, 1979).

Segundo estes mesmos autores o mapa geológico do Estado de São Paulo assinala, para a quadrafcula de Campinas (área entre 22°30' - 23°00'S e 47°00' - 47°30'W) a presença de rochas relacionadas com o Pré-Cambriano, com o Carbonífero-Permiano (Grupo Tubarão), com o Permiano (Formação Irati), com intrusivas básicas e com o Cenozóico.

As rochas sedimentares relacionadas com o Grupo Tubarão são as que ocupariam maior extensão, sendo representadas principalmente por arenitos de granulação muito fina, siltitos, argilitos, diamictitos e mistitos. Sobre material resultante do intemperismo dessas rochas e de retalhamentos a curta distância, desenvolver-se-iam Podzólicos Vermelho-Amarelos, Cambissolos e Litossolos. Capeando estes sedimentos, geralmente acima de 600m, ocorreriam espessos e extensos depósitos sedimentares aos quais estariam relacionados solos profundos, muito porosos, de baixa fertilidade, com textura variada.

Entremeados entre o assoalho cristalino e o manto de rochas sedimentares, ou mesmo infiltrados entre sedimentos, ocorreriam inúmeros sills, lacólitos e batólitos de diabásio, ou afloramentos, nas áreas onde houve remoção mais acentuada da cobertura sedimentar, formando saliências na paisagem. Essas áreas elevadas (acima de 680m) apresentariam estreita relação com os solos da paisagem circunvizinha, os quais assinalam forte contribuição proveniente da rocha básica.

O Pré-cambriano achar-se-ia restrito a uma estreita faixa que se estende a leste da quadrícula segundo a direção NNE-SSW. Estaria representado predominantemente por gnaisses, xistos e, secundariamente por granitos e algumas cristas de quartzito. Os solos desenvolvidos nessa área são os Podzólicos Vermelho-Amarelos e os Litossolos.

Rochas do Cenozóico são assinaladas para o sudoeste da quadrícula (Capivari e Monte-Mór) e da Formação Iratí para o nordeste (Limeira), assim é pouco provável que ocorram no Município de Campinas.

4. Métodos de amostragem

4.a. Florística

Ao longo das visitas, que estenderam se de abril de 1989 a janeiro de 1991, em viagens praticamente semanais, às vezes em dois ou três dias na mesma semana, foram sendo realizadas coletas de material botânico, preferencialmente em estado reprodutivo.

As coletas foram mais intensivas na região dos sítios amostrais da fitossociologia, mas foram realizadas incursões pela mata e bordas em ocasiões específicas.

A partir do 2º ano de coletas, mesmo ampliando os locais de coleta, novas espécies arbóreas não vinham sendo coletadas, decidiu-se, então, coletar intensivamente amostras de indivíduos em fase vegetativa.

Se se pretende amostrar indivíduos de forma mais ou menos generalizada é importante definir-se um método de amostragem compatível. Desta forma determinou-se a realização de um levantamento fitossociológico do componente arbóreo. Para esta decisão foi significativo a participação de indivíduos jovens de espécies arbóreas entre os indivíduos incluídos na amostragem fitossociológica dos estratos herbáceos e arbustivos, criando a suspeita de que a composição e estrutura desse componente fossem diretamente influenciadas pela composição e estrutura do estrato arbóreo.

Todo material coletado, inclusive das parcelas, tinha características da planta anotadas e era acondicionado em sacos plásticos e transportado até o Departamento de Botânica da UNICAMP, onde eram preparadas as exsicatas que, após identificação, foram incorporadas no Herbário UEC.

Os dados de cada material coletado foram anotados nos cadernos coletivos, de registro de coleta, depositados na Curadoria do Herbário UEC. Os números de coleta, nos referidos cadernos de registro, seguem ordem sequencial independentemente do(s) coletor(es), assim não representam o número de coletas particulares do(s) coletor(es).

Algumas espécies não puderam ser coletadas mas, desde que foi possível reconhecê-las no campo, foram incluídas na listagem.

4.b. Fitossociologia

Nos estudos fitossociológicos utilizou-se o método de parcelas, sendo que a área das parcelas foi determinada com o uso de trenas, medindo-se dois triângulos retângulos justapostos pela hipotenusa.

4.b.I. Vegetação herbáceo-arbustiva

Para o estudo da vegetação herbáceo-arbustiva foram estabelecidas 64 parcelas de 2x1m, distribuídas em 16 grupos de 4 parcelas (áreas 1 a 16, figura 4).

Os sítios amostrais dos grupos de parcela de números 1 a 7 e 9 tiveram distribuição aleatória restrita (Chapman 1976 apud RODRIGUES 1989), ou seja, determinou-se que as parcelas fossem distribuídas paralelamente à estrada da mata (distando desta 10m) e paralelamente à antiga estrada comunicante com a primeira, sendo que o ponto onde as parcelas foram instaladas foi determinado aleatoriamente.

Cada um dos outros grupos de parcela foi estabelecido 10m distante de um daqueles grupos pré-instalados.

As parcelas, foram instaladas justapostas em pares e cada par ligado a um outro por um dos cantos, como mostra o esquema abaixo:



Os cantos das parcelas foram marcados com estaca e as parcelas foram delimitadas com fio de nailon. Em cada parcela foram considerados os indivíduos usualmente não amostrados nos levantamentos fitossociológicos realizados em Mata Mesófila Semidecídua, ou por terem PAP menor que 15cm ou altura do caule inferior a altura do peito ou mesmo serem acaules, que possuíssem altura \geq 20cm. As lianas e os indivíduos mortos foram excluídos da amostragem (os indivíduos mortos não foram considerados porque há maior número deles nas primeiras fases de crescimento, situação em que podem ser facilmente eliminados, naturalmente, do local em que estavam se desenvolvendo).

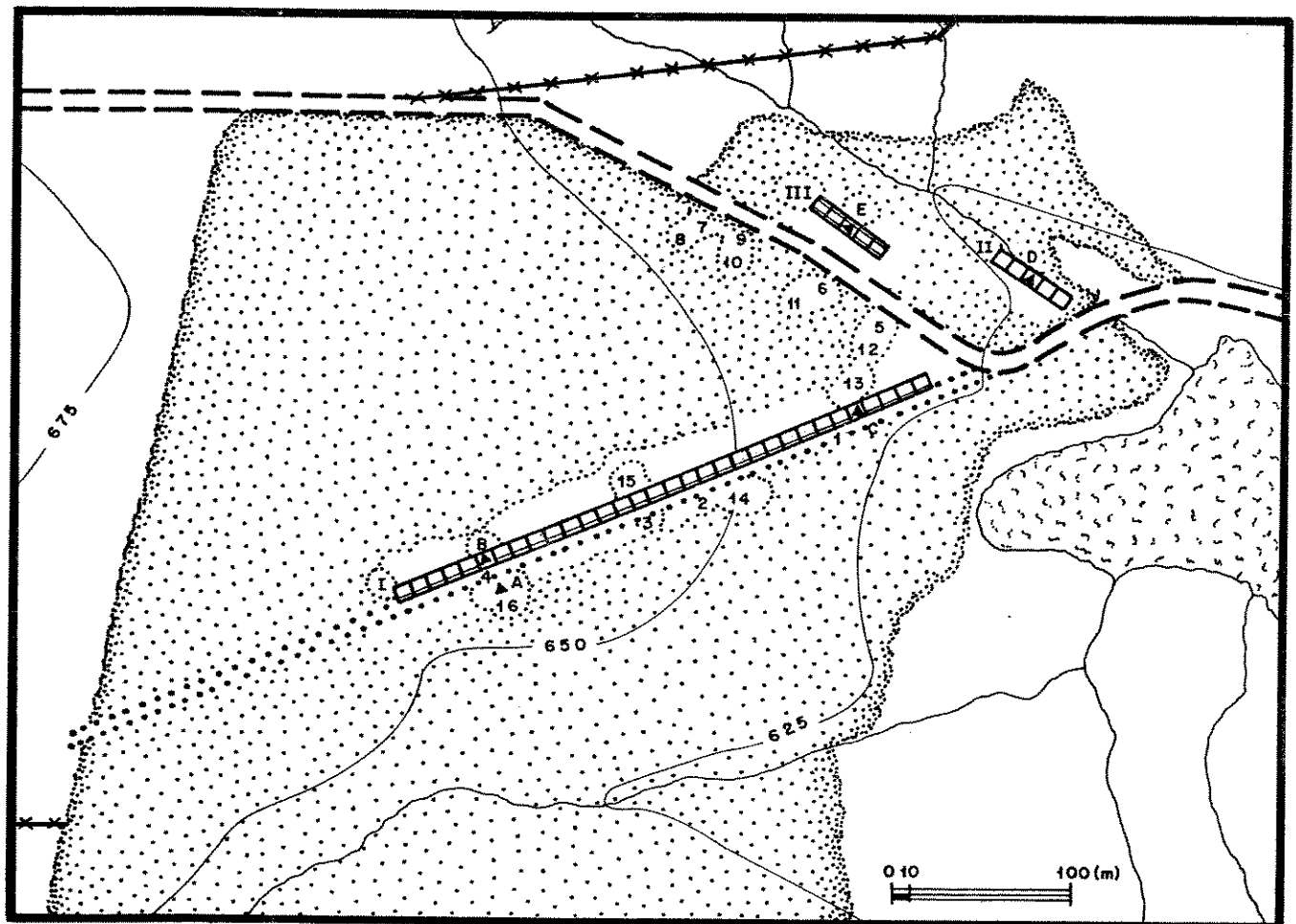


Figura 4. Desenho esquemático da área, destacada na figura 2, onde se instalou as parcelas para o estudo da vegetação herbácea-arbustiva e as para o estudo da vegetação e os locais de coleta de solo, na mata da Fazenda São Vicente. I a 16 grupos de parcelas (herbácea-arbustivas); [] fitossociologia de arbóreas (I a III); ^ amostras de solo (A a E).

Os indivíduos amostrados foram etiquetados com fita (numerada) para rotulador e mapeados em papel milimetrado na escala 1/10. De cada indivíduo amostrado foram anotadas duas medidas perpendiculares entre si da maior área da copa e a altura.

4.a.III. Vegetação arbórea

No final do 2º ano, foram estabelecidas 42 parcelas de 10x10m, para o estudo fitossociológico da vegetação arbórea, distribuídas sequencialmente, em 3 áreas. Uma à direita da antiga estrada (a amostragem foi iniciada 10m além de uma clareira próxima à intersecção com a estrada da mata). Outra seguindo o curso d'água do extremo N da mata (a partir de 10m da estrada) e a última paralela à estrada (distando 10m desta) (áreas I a III, figura 4).

Os cantos das parcelas foram marcados com estaca e as trenas serviram para delimitá-las. A medida que se terminava de amostrar a parcela as estacas anteriores eram deslocadas para demarcar-se outra parcela e as parcelas foram sendo numeradas em sequência, de 1 a 42, iniciando-se na área I, onde foram amostradas 32 parcelas.

Terminada a amostragem na área I, seguiu-se pela área II, finalizando-se na área III. Nestas duas últimas áreas foram amostradas, em cada, 5 parcelas.

Nas duas primeiras áreas iniciou-se a amostragem e numeração pela parcela mais próxima às estradas e na área III pela mais próxima às duas outras áreas.

O estabelecimento sequencial das parcelas foi utilizado por ser mais rápido do que se as parcelas fossem estabelecidas aleatoriamente, sendo que o que mais importou, inicialmente, foi a composição florística do componente arbóreo. O número de parcelas foi menor nas áreas II e III porque as parcelas foram aí estabelecidas com o intuito de verificar diferenças florísticas em pontos diferentes da mata.

Na amostragem foram considerados os indivíduos com PAP > 15cm, anotando-se a medida do PAP e da altura estimada a partir da altura conhecida das tesouras de alta poda. Dos indivíduos com ramificações abaixo da altura do peito eram medidas todas as ramificações, até a altura do peito, e estes eram incluídos na amostragem desde que a soma das áreas de secção correspondente às medidas permitisse a inclusão a partir do PAP limitante.

As árvores mortas com PAP incluente, e em pé, foram consideradas no levantamento, mas apenas o PAP foi medido e foram analisadas à parte. As lianas não foram amostradas.

4.c. Amostragem de solo

Foram estabelecidas 5 áreas de amostragem de solo (áreas A a E, figura 3) de maneira a satisfazer algumas condições:

- oferecer dados comparáveis entre áreas próximas (áreas A e B);
- oferecer possibilidades de comparação entre áreas distantes entre si, onde foram demarcadas parcelas para estudo da vegetação herbácea-arbustiva (área C em relação às áreas A e B);
- possibilitar a obtenção de dados em áreas onde não foram estabelecidas parcelas para a vegetação herbácea-arbustiva (áreas D e E), e de comparação com as áreas anteriores.

As áreas B, C, D e E foram estabelecidas em áreas de parcelas de estudo da vegetação arbórea.

Em cada área amostral foram realizadas 3 amostras com o uso de trado de caneco de 4 polegadas.

As amostras foram recolhidas a 0-20, 40-60 e 80-100cm de profundidade; a amostra final foi obtida através da mistura dos solos, nas respectivas profundidades.

Na área D, o afloramento do lençol freático em uma amostra, a cerca de 2,5m do riacho, impediu a perfuração além de 50cm de profundidade. Na área E, a existência de rochas impediu a perfuração, em uma amostra além de 50cm e em outra além de 90cm de profundidade.

Previamente à realização de uma das amostras foi determinada uma área de 1m², de onde se recolheu a serrapilheira. Nos outros locais de perfuração o folhedo foi apenas removido.

O folhedo recolhido foi seco em estufa de lâmpadas durante 1 semana, pulverizado em moedor Wiley (do Departamento de Botânica/UNESP, Campus de Rio Claro) e pesado em balança convencional.

As análises foram realizadas pelo laboratório LAGRO (Campinas, SP). Do folhedo foram determinadas as porcentagens de N, P, K, Ca, Mg e S. Do solo às profundidades de 0-20, 40-60 e 80-100cm foram realizadas análises física (granulometria, densidade, cor) e química (pH em CaCl₂ e água; porcentagem de matéria orgânica; P solúvel e insolúvel; K; Ca; Mg; Al; acidez trocável; capacidade de troca catiônica e saturação em bases).

4.d Medidas de luminosidade

Foram realizadas medidas de luminosidade, entre 11:00 e 13:30h, dentro da mata e fora da mata. As medidas foram realizadas em duas épocas do ano, uma em 26/9/90 e outra em 21/3/91. Para a realização das medidas foi utilizado um fotômetro Weston Master 6 modelo 560, que mede velas-pés.

Mediu-se a luminosidade, em 5 pontos a 1m do solo e 5 pontos ao nível do solo, em cada grupo de parcelas da vegetação herbácea-arbustiva. Tomou-se, para cada altura, uma medida em cada parcela e uma no canto de contato de cada par de parcelas.

Além das medições nos grupos de parcelas foi medida, nas mesmas ocasiões, a luminosidade fora da mata (na estrada). Em 26/9/90 foram realizadas 5 medidas a 1m e em 21/3/91 10 medidas.

As medidas de luminosidade tiradas fora da mata possibilitariam avaliar a quantidade de luz que penetra em diferentes áreas da mata. Os valores de luminosidade, nas parcelas, poderiam ser relacionados com parâmetros fitossociológicos e as medidas em estações diferentes poderiam evidenciar possíveis diferenças de entrada de luz em função de fenômenos biológicos condicionados por mudanças climáticas.

5. Análise dos dados

5.a. Florística

Para as espécies levantadas na mata, ou proximidade, na Fazenda São Vicente determinou-se a seguinte convenção, conforme as características dos indivíduos que formavam as suas populações:

- arbóreas - indivíduos terrícolas de desenvolvimento lenhoso, porte ereto, que chegassem a atingir fuste > 3m de altura e PAP \geq 15cm;
- herbáceo-arbustivas - indivíduos terrícolas, de porte prostrado ou ereto, sem fuste ou com fuste nunca > 3m de altura e PAP nunca \geq 15cm, com nutrição independente de outros vegetais;
- lianas - indivíduos terrícolas e com caule volúvel;
- epífitas - indivíduos que se desenvolvem sobre outros vegetais, sem dependência de nutrição destes e sem causar constrição sensível nos mesmos;
- arbusto escandente - indivíduos terrícolas de desenvolvimento lenhoso e crescimento apoiado sobre outros vegetais;
- estranguladoras - indivíduos lenhosos que se desenvolvem sobre outros vegetais provocando-lhes constrição, que pode levá-los à morte;
- hemiparasitas de partes aéreas - indivíduos com nutrição dependentes de outros vegetais a partir de partes aéreas destes;
- holoparasitas de raízes - indivíduos com nutrição exclusiva a partir de outros vegetais e fixação na raiz destes;
- aquáticas flutuantes - indivíduos que vivem na lâmina da água;
- aquáticas fixas ao solo - indivíduos que vivem fixos ao solo, dentro da água, com ramos flutuantes.

Para espécies arbóreas adotou-se a classificação para característica sucessional utilizada por GANDOLFI (1991), que divide as espécies em três categorias:

- "- pioneiras - aquelas cujos indivíduos desenvolvem-se em clareiras, nas bordas da floresta ou em locais abertos, sendo claramente dependentes de condições de maior luminosidade e não ocorrendo no subosque;

- secundárias iniciais - aquelas cujos indivíduos podem se desenvolver em condições de maior luminosidade como clareiras pequenas, borda de clareiras maiores ou mesmo nas bordas da floresta, mas que no entanto ocorrem também no subosque, principalmente em condições de menor sombreamento, estando em geral ausentes na sombra densa;
- secundárias tardias - aquelas cujos indivíduos conseguem se desenvolver no subosque podendo aí permanecer por toda a sua vida ou então podendo alcançar o dossel florestal ou mesmo a condição de emergente.” .

Para as espécies não listadas por aquele autor foram utilizadas informações de campo do orientador deste trabalho e próprias.

5.b. Fitossociologia

Os parâmetros fitossociológicos, tais como densidade, dominância, frequência, IVC e IVI, definidos segundo MUELLER-DOMBOIS & ELLEMBERG (1974), foram calculados através do programa Fitopac, desenvolvido pelo Prof. Dr. George J. Shepherd (Dept. de Botânica, UNICAMP).

MUELLER-DOMBOIS & ELLEMBERG (*ibid*) assumem que é possível calcular a cobertura de um indivíduo considerando-se duas medidas perpendiculares entre si da maior área da copa e considerar esta área como circular, ou seja, como tendo uma área equivalente a πr^2 . Propõem então que as medidas sejam utilizadas da seguinte forma:

$$C = [(d_1 + d_2)/4]^2 \pi, \text{ } C \text{ é a cobertura e } d_1 \text{ e } d_2 \text{ são as medidas dos diâmetros.}$$

O programa Fitopac foi desenvolvido para uso com indivíduos arbóreos, possibilitando o cálculo de área basal através da entrada de dados de 1 medida de diâmetro ou perímetro do caule (desde que o indivíduo não possua ramificações), assumindo que a área do caule seja circular. Através do cálculo da média entre os dois diâmetros chega-se ao mesmo resultado da forma de cálculo proposta por MUELLER-DOMBOIS & ELLEMBERG (*ibid*) e assim foi possível a utilização do programa Fitopac (o que for apresentado como área basal será a cobertura) para os indivíduos herbáceo-arbustivos.

Utilizando-se o mesmo programa, foram realizados PCA, sendo que não foram consideradas as espécies com menos que 10 indivíduos, para a vegetação herbáceo-arbustiva, utilizando-se os valores de cobertura para as espécies. Para a vegetação arbórea não foram consideradas as espécies com menos que 2 indivíduos e realizou-se, igualmente, PCA considerando as categorias sucessionais as quais pertencem as espécies consideradas.

Para as 10 espécies com maior número de indivíduos, tanto da vegetação herbáceo-arbustiva, quanto arbórea, foi determinado o número de indivíduos por classes de diâmetro (da copa, para a vegetação herbáceo-arbustiva e do caule à altura do peito, para a vegetação arbórea).

O número de classes para cada espécie, e para os indivíduos mortos e em pé amostrados no levantamento da vegetação arbórea, foi determinado segundo o algoritmo de Sturges, um método usual para este fim (Gerardi & Silva 1981 apud SILVA & SOUZA 1987):

$C = 1 + 3,3 \log_{10}n$, onde C é o número de classes e n o número de indivíduos.

27

Para estas espécies e indivíduos mortos calculou-se o Coeficiente de Gini (G), uma medida de desigualdade de atributos quantitativos entre os componentes de uma amostra (Gini 1912, Ricci 1916 e Sen 1973 apud WEINER & SOLBRIG 1984):

$$G = \sum_{i=1}^n \sum_{j=1}^n |x_i - x_j| / 2n^2 \bar{x},$$

onde x_i e x_j são os valores de cada indivíduo \bar{x} é a média e n o número de indivíduos.

Para $n < 100$ utilizou-se um ajuste não-viciado de G (WEINER & SOLBRIG ibid) (G'):

$$G' = Gn/(n - 1), \text{ onde } n \text{ é o número de indivíduos.}$$

Segundo DIXON et al. (1987) G' reduz, mas não chega a eliminar o vício de G (quando $n > 100$ o vício é praticamente zero, da mesma forma se $G < 0,2$, na população).

Através de "bootstrap" (determinação de amostras simuladas, de mesmo tamanho da amostra real, a partir de sorteio aleatório de indivíduos da amostra real) (EFRON 1981a e 1981b; DIACONIS & EFRON 1983; EFRON & TIBSHIRANI 1986) foram calculados G (G') e os respectivos erros padrão.

O cálculo de G (G') e a realização do "bootstrap" foi feito através de programa GINI87 desenvolvido pelo Prof. Dr. Flávio A. M. dos Santos (Dept. de Botânica, UNICAMP).

Para cada par de espécie da vegetação herbácea-arbustiva ou da vegetação arbórea foi realizado o teste t , ao nível de 5% (SOKAL & ROHLF 1979) para determinar diferenças significativas nos valores de G (G'). Os valores obtidos foram comparados com valores de t tabelados em GOMES (1973).

5.c. Luminosidade

Os valores de luminosidade obtidos no fotômetro (em velas-pé) foram convertidas a Lux (Lx), multiplicando-se pela constante 10,764 (MOON & SPENCER 1959) e então convertidos a W.cm⁻², multiplicando-se pela constante 1,1633×10⁻⁶ (LARCHER 1975).

Foram realizadas análises de variância, segundo metodologia de SOKAL & ROHLF (ibid), entre os valores de dentro e fora da mata (em cada estação), entre os valores (em cada estação) de fora da mata e entre os valores de dentro da mata entre si. Os valores obtidos nas análises de variância foram comparados com valores de F, ao nível de 5% de significância, tabelados em GOMES (ibid).

Tentou-se determinar correlações, segundo metodologia de BROWER & ZAR (1984), entre os valores médios de luminosidade, das duas estações e alturas de medidas, e parâmetros fitossociológicos, por grupos de parcelas, da vegetação herbácea-arbustiva. As correlações foram testadas segundo teste t indicado por aqueles autores, comparando-se os valores com os tabelados em GOMES (ibid).

A nível de espécies, tentou-se determinar preferências com relação à luminosidade, utilizando-se os valores médios de luminosidade e o número de indivíduos e a cobertura de cada espécie. Assim, foram determinadas 3 categorias de espécies, quanto à preferência em relação à luminosidade:

- espécies mais umbrófilas - mostraram valores de cobertura (e densidade) maiores do que 25% abaixo da média dos valores de luminosidade;

- espécies intermediárias - mostraram valores de cobertura (e densidade) menores que 25% acima ou abaixo da média dos valores de luminosidade.

- espécies menos umbrófilas - mostraram valores de cobertura (e densidade) maiores do que 25% acima da média dos valores de luminosidade;

Foi realizado PCA considerando estas categorias de preferência por luminosidade, tendo-se utilizado os valores de cobertura.

V - RESULTADOS

1. Florística

Foram encontradas 361 espécies de angiospermas na mata, ou nas proximidades desta, da fazenda São Vicente, sendo 302 de dicotiledôneas, pertencentes a 215 gêneros e a 79 famílias (de 4 espécies, 3 não foram determinadas ao nível de família e 1 ao nível de gênero) e 59 de monocotiledôneas, pertencentes a 41 gêneros, 16 famílias (5 espécies não foram determinadas ao nível de gênero).

Na tabela 1 as espécies, acompanhadas do número de coleta ou de informação em contrário, são listadas conforme as hierarquias de classe e família (ordem alfabética), segundo a classificação de CRONQUIST (1981) assinalando-se as encontradas no levantamento fitossociológico dos componentes herbáceos e arbustivos, parcelas de 2x1 m, ou na amostragem fitossociológica das arbóreas, parcelas de 10x10 m.

Assinalam-se na tabela 3, para todas as espécies, a forma de vida como convencionada e, para as espécies arbóreas a característica sucessional. Nomes em itálico entre parênteses são nomes a que se chegou através de bibliografia ou comparações, mas não são os nomes corretos atuais destas entidades.

Tabela 1. Listagem das angiospermas encontradas na mata da fazenda São Vicente, apresentadas nas hierarquias de classes e famílias (ordem alfabética). Assinalam-se as ocorrentes nos levantamentos fitossociológicos (PH ocorrências nas parcelas de 2x1 m e PA ocorrências nas parcelas de 10x10 m), a forma de vida (arv arbóreas, h-a herbáceo-arbustivas, lia lianas, epi epífitas, aes arbusto escandente, est estranguladoras, hem hemiparasitas de partes aéreas, hol holoparasitas de raízes, aqu aquáticas flutuantes e afx aquáticas fixas ao solo) e, para as arbóreas, a característica sucecional (pion pioneira, sinc secundária inicial, star secundária tardia e ? sem informação suficiente). Embaixo de cada espécie é apresentado número de coleta ou informação em contrário.

DICOTILEDÔNEAS

Acanthaceae

- Geissoemeria longiflora Lind. ----- [h-a]
 LCB 24395, 31/mai/89 (fl.)
- Justicia cf hatsbachii (Rizzini) Wasshausen & Smith ----- [h-a]
 LCB 23969, 7/jun/89 (fl.)
- Ruellia brevifolia (Pohl) Ezcurra ----- [h-a]
 LCB 24396, 31/mai/89 (fl.)

Amaranthaceae

- Chamissoa altissima (Jacq.) H.B.K. ----- [lia]
 LCB 24397, 28/jun/89 (fr.)
- Pfafia paniculata (Mart.) O.Kuntze ----- [lia]
 LCB 24398, 23/ago/89 (fl.)
- PH Iresine difusa H.&B. ex Willd. ----- [h-a]
 LCB 24399, 31/ago/89 (vg.)

Anacardiaceae

- PH/PA Astronium graveolens Jacq. ----- [arv, star]
 LCB 25866, 26/jun/90 (vg.)
- PA Tapirira guianensis Aubl. ----- [arv, sinc]
 LCB 25725, 26/set/90 (vg.)

Annonaceae

- Annona cacans Warm. ----- [arv, star]
 LCB 24400, 8/set/89 (fl.); 24401, 10/jan/90 (fr.)
- Xylopia brasiliensis Spreng ----- [arv, star]
 LCB 25867, 1/ago/90 (vg.)

Apiaceae

- Apium leptophyllum (Pers.) Muell. Benth. et Muell.Fl. ----- [h-a]
 LCB 24402, 31/mai/89 (fr.)

Apocynaceae

- PH/PA Aspidosperma polyneuron Muell.Arg. ----- [arv, star]
 LCB 25868, 12/jun/90 (vg.)
- PH/PA Aspidosperma ramiflorum Muell. Arg. ----- [arv, star]
 LCB 25733, 15/jun/90 (vg.)
- Prestonia coalita (Vell.) Woodson ----- [lia]
 LCB 24403, 12/jan/90 (fl.); 25883, 4/dez/90 (fl.)

Araliaceae

- Dendropanax cuneatum DCne. et Planch. ----- [arv, sinc]
 LCB 25861, 29/ago/90 (vg.)

Tabela 1. continuação

	Aristolochiaceae
	<u>Aristolochia melastoma</u> Manso ex Duchtr. ----- [lia]
	LCB 25881, 26/jun/90 (fr.)
	Asclepiadaceae
	<u>Asclepias curassavica</u> L. ----- [h-a]
	LCB 24404, 31/mai/89 (fl./fr.)
	Asteraceae
	<u>Baccharidastrum triplinervium</u> (Less.) Cabr. ----- [h-a]
	LCB 25896, 17/jun/90 (fl.)
	<u>Baccharis dracunculifolia</u> DC. ----- [h-a]
	LCB 24414, 12/jan/90 (fl.)
	<u>Baccharis serrulata</u> Pers. ----- [h-a]
	LCB 25897, 12/jan/90 (fl.)
PH	<u>Baccharis trinervis</u> (Lam.) Pers. ----- [h-a]
	LCB 25898, 31/out/90 (vg.)
	<u>Chaptalia nutans</u> (L.) Polak. ----- [h-a]
	LCB 24419, 7/jun/89 (fl./fr.); 24420, 31/nov/90 (fl./fr.)
	<u>Conyza canadensis</u> (L.) Cronquist ----- [h-a]
	LCB 24421, 31/out/90 (fl.)
	<u>Dasyphyllum spinescens</u> (Less.) Cabr. ----- [lia]
	LCB 24405, 16/ago/90 (vg.)
	<u>Delilia biflora</u> (L.) Kuntze ----- [h-a]
	LCB 24422, 31/mai/89 (fl.)
	<u>Eclipta alba</u> Hassk. ----- [h-a]
	LCB 24423, 6/jun/90 (fl.)
	<u>Elephantopus mollis</u> H.B.K. ----- [h-a]
	LCB 24424, 7/jun/89 (fl.)
	<u>Emilia sonchifolia</u> DC. ----- [h-a]
	LCB 24425, 31/mai/89 (fl.)
	<u>Eupatorium maximilianii</u> Schrad. ----- [h-a]
	LCB 24426, 3/abr/90 (fl./fr.)
	<u>Eupatorium clematideum</u> Hieron. ----- [h-a]
	LCB 25891, 6/jun/89 (fl.)
	<u>Eupatorium vitalbae</u> DC. ----- [h-a]
	LCB 24406, 16/ago/90 (fl./fr.); 24407, 23/ago/89 (fl.)
	<u>Eupatorium ganophyllum</u> Mattfeld ----- [h-a]
	LCB 25890, 31/out/90 (fl.)
	<u>Gnaphalium cheiranthifolium</u> Lam. ----- [h-a]
	LCB 25889, 31/out/90 (fl.)
	<u>Gochnatia polymorpha</u> Less. ----- [arv, sinc]
	LCB 24408, 8/nov/89 (fl.)
	<u>Jungia floribunda</u> Less. ----- [h-a]
	LCB 24409, 31/nov/89 (vg.)
	<u>Mikania glomerata</u> Spreng. ----- [lia]
	LCB 25893, 16/ago/90 (fl.)
	<u>Mikania cf hemisphaerica</u> Schultz-Bip ex Baker ----- [lia]
	LCB 25927, 1/mai/91 (vg.)
	<u>Mikania micrantha</u> H.B.K. ----- [lia]
	LCB 25894, 6/jun/90 (fl./fr.)
	<u>Mikania triangularis</u> Baker ----- [lia]
	LCB 25895, 29/ago/90 (fr.)
	<u>Pluchea oblongifolia</u> DC. ----- [h-a]
	LCB 24410, 31/mai/89 (fl.)
	...

Tabela 1. continuação

- Asteraceae (continuação)
- Senecio benthami Griseb. ----- [h-a]
 LCB 24411, 17/jan/90 (fl.)
- Solidago microglossa DC. ----- [h-a]
 LCB 25933, 18/mar/91 (fl./fr.)
- Sonchus oleraceus L. ----- [h-a]
 LCB 24427, 6/jun/90 (fl.)
- Tagetes minuta L. ----- [h-a]
 LCB 24428, 6/jun/90 (fl.)
- Trixis anthimenorrhoea (Schrank.) Mart. ----- [lia]
 LCB 25892, 23/ago/89 (fl.)
- PA Vernonia diffusa Less. ----- [arv, pion]
 LCB 24413, 3/out/90 (fr.); 25721, 30/out/90 (vg.)
- Vernonia polyanthes Less. ----- [h-a]
 LCB 24415, 3/ago/89 (fl.); 24416, 6/jun/90 (fl.)
- Vernonia scorpioides Pers. ----- [h-a]
 LCB 24417, 23/ago/89 (fl.)
- Wulffia bacata (L.f.) Kuntze ----- [h-a]
- Balanophoraceae
- Scybalium fungiforme Schott. & Endlicher ----- [hol]
 LCB 24429, 28/jun/89 (fl.)
- Begoniaceae
- Begonia geniculata Vell. ----- [h-a]
 LCB 24430, 3/out/90 (fl.)
- Bignoniaceae
- Adenocalymma marginatum (Cham.) DC. ----- [lia]
 LCB 25908, 23/ago/89 (fr.); 25910, 3/out/90 (fl.)
- Anemopaegma chamberlainii (Sims) Bur. & K.Schum. ----- [lia]
 LCB 25911, 6/jun/90 (fl.)
- Arrabidea triplinervia (DC.) Baill. ex Bur. ----- [lia]
 LCB 25909, 6/jun/90 (fr.)
- Clytostoma campanulatum (Cham.) Bur. ----- [lia]
 LCB 25912, 31/nov/90 (fl.); 25913, 6/dez/89 (fl.)
- Distictella granulosa (Bur. et K.Sch.) Urb. ----- [lia]
 LCB 25905, 3/abr/90 (fr.); 25906, 17/jan/90 (fl.)
- PA Jacaranda micrantha Cham. ----- [arv, pion]
 LCB 25914, 8/nov/89 (fl.)
- Lundia obliqua Sonder ----- [lia]
 LCB 25899, 18/mar/91 (fl.)
- Macfadyena unguis-cati (L.) Gentry ----- [lia]
 LCB 25900, 18/mar/91 (vg.)
- Mansoa difficilis Bur. & K.Schum. ----- [lia]
 LCB 25902, 23/ago/89 (fr.)
- Melloa quadrivalvis (Jacq.) Gentry ----- [lia]
 LCB 25903, 5/set/89 (fl.)
- Pitecocthenium crucigerum (L.) A.Gentry ----- [lia]
 LCB 25858, 1/ago/90 (fr.)
- Pyrostegia venusta Miers ----- [lia]
 LCB 25907, 5/set/89 (fl./fr.)
- Stizopyllum perforatum Miers. ----- [lia]
 LCB 25901, 18/mar/91 (fl./fr.)

Tabela 1. continuação

- Bombacaceae
- PA Chorisia speciosa St.Hill. ----- [arv, sinc]
LCB 24431, 7/jun/89 (fl.)
- Eriotheca candolleana (K.Schum)A.Robyns ----- [arv, sinc]
LCB 25862, 8/ago/90 (vg.)
- Boraginaceae
- Cordia monosperma (Jacq.)R.&S. ----- [h-a]
LCB 24432, 12/jan/90 (fl./fr.)
- Heliotropium procumbens Mill. ----- [h-a]
LCB 25919, 12/jan/90 (fl.)
- PH Heliotropium transalpinum Vell. ----- [h-a]
LCB 24433, 31/mai/89 (fl.)
- PH Tournefortia paniculata Cham. ----- [h-a]
LCB 24434, 8/set/89 (fl.); 24435, 12/jan/90 (fl./fr.)
- Buddlejaceae
- Buddleja brasiliensis Jacq.f. ex Spreng ----- [h-a]
LCB 24436, 5/set/89 (fl.)
- Caesalpiniaceae
- PA Bauhinia forficata Link. ----- [arv, pion]
LCB 24439, 9/ago/89 (fr.)
- Bauhinia sp ----- [lia]
LCB 25917, 31/jun/90 (vg.)
- PA Cassia ferruginea (Schrad.)Schrad. ex DC. ----- [arv, star]
LCB 25731, 26/jun/90 (vg.)
- PH/PA Holocalix balansae Mich. ----- [arv, star]
LCB 24400, 26/set/90 (fl./fr.)
- Hymenaea courbaril L. ----- [arv, star]
sem material de registro
- Peltophorum dubium (Spr.)Taub. ----- [arv, sinc]
LCB 24437, 31/jul/90 (vg.)
- Senna bicapsularis (L.)Roxb. ----- [h-a]
LCB 24438, 22/mai/90 (fl.)
- Schyzolobium parahybum (Vell.)Blake ----- [arv, pion]
sem material de registro
- Cactaceae
- Pereskia aculeata Miller ----- [lia]
LCB 24441, 16/ago/90 (vg.)
- Lepismium sp ----- [epi]
sem material de registro
- Cecropiaceae
- Cecropia hololeuca Miq. ----- [arv, pion]
sem material de registro
- Celastraceae
- PH/PA Maytenus aquifolium Mart. ----- [arv, pion]
LCB 24442, 5/set/89 (fl.)
- Chrysobalanaceae
- Hirtella hebeclada Moric. ----- [arv, sinc]
LCB 24443, 6/dez/89 (fl.)

Tabela 1. continuação

	Clusiaceae	
	<u>Rheedia gardneriana</u> Planch. et Triana -----	[arv, star]
	LCB 25923, 8/ago/90 (vg.)	
	Convolvulaceae	
	<u>Ipomoea cairica</u> (L.)Sweet -----	[lia]
	LCB 24444, 18/abr/90 (fl.)	
	<u>Merremia aegyptia</u> (L.)Urb. -----	[lia]
	LCB 24445, 18/abr/90 (fl.)	
	Cucurbitaceae	
	<u>Anguria ternata</u> Roem. -----	[lia]
	LCB 25936, 8/ago/90 (vg.)	
	<u>Melothria cucumis</u> Vell. -----	[lia]
	LCB 25934, 11/abr/91 (fl./fr.)	
	<u>Wilbrandia verticillata</u> Cogn. -----	[lia]
	LCB 25935, 8/ago/90 (vg.)	
	Dilleniaceae	
	<u>Doliocarpus</u> sp -----	[lia]
	LCB 25938, 3/jul/90 (vg.)	
	Ebenaceae	
	<u>Diospyros inconstans</u> Jacq. -----	[arv, ?]
	LCB 25920, 8/ago/90 (vg.)	
	Euphorbiaceae	
PH	<u>Acalypha gracilis</u> Spreng -----	[h-a]
	LCB 23970, 18/jan/90 (fl.); 23971, 31/mai/89 (fl.)	
PH	<u>Actinostemon communis</u> (Muell.Arg.)Pax -----	[arv, pion]
	LCB 24450, 16/ago/89 (fl.)	
PH	<u>Actinostemon concolor</u> Muell.Arg. -----	[arv, sinc]
	LCB 24451, 9/ago/89 (fl.); 24452, 16/ago/89 (fl.)	
PA	<u>Alchornea glandulosa</u> Endl. & Poep. -----	[arv, pion]
	LCB 25732, 20/set/90 (vg.)	
PA	<u>Croton floribundus</u> Spreng. -----	[arv, pion]
	LCB 24447, 8/nov/89 (fr.)	
PH/PA	<u>Croton salutaris</u> Casar. -----	[arv, pion]
	LCB 24446, 8/nov/89 (fl.); 25853, 4/dez/90 (fl.)	
	<u>Chamaesyce hirta</u> (L.)Millsp. -----	[h-a]
	LCB 23974, 6/jun/90 (fl.)	
	<u>Dalechampia pentaphylla</u> Lam. -----	[lia]
	LCB 25940, 31/ago/90 (fr.)	
PH	<u>Phyllanthus nobilis</u> Muell.Arg. -----	[arv, sinc]
	LCB 24447, 6/dez/89 (fr.)	
	<u>Sapium glandulatum</u> (Vell.)Pax -----	[arv, pion]
	LCB 23872, 6/jul/89 (fr.)	
PH/PA	<u>Savia dictiocarpa</u> Muell.Arg. -----	[arv, pion]
	LCB 25863, 31/jun/90 (vg.)	
PH/PA	<u>Sebastiania edwaliana</u> Pax & Hoffm. -----	[arv, pion]
	LCB 24449, 23/ago/89 (fl.)	
PA	<u>Tetrorchidium dusenii</u> Pax & Hoffm. -----	[arv, ?]
	LCB 25719, 19/set/90 (vg.)	
	<u>Tragia volubilis</u> L. -----	[lia]
	LCB 23973, 3/abr/90 (fr.)	

Tabela 1. continuacão

- Fabaceae
- Canavalia picta Mart. ex Benth. -----[lia]
LCB 25929, 30/jul/91 (fr.)
- PH/PA Centrolobium tomentosum Benth. -----[carv, pion]
LCB 25736, 26/jun/90 (vg.)
- Dalbergia frutescens (Vell.) Britt. -----[carv, pion]
LCB 25878, 25/out/90 (fl.)
- Desmodium tortuosum (Sw.) DC. -----[h-a]
LCB 25870, 3/abr/90 (fr.)
- Galactia striata (Jacq.) Urb. -----[lia]
LCB 25930, 22/mai/90 (fl./fr.)
- PA Lonchocarpus guilleminianus (Tul.) Malme -----[carv, sinc]
LCB 25877, 27/jun/90 (vg.)
- PA Luetzelburgia guaicara L.f. -----[carv, star]
LCB 25876, 9/ago/90 (vg.)
- PA Machaerium brasiliense Vog. -----[carv, sinc]
LCB 25871, 29/ago/90 (vg.)
- Machaerium nictitans (Vell.) Benth. -----[carv, star]
LCB 25880, 6/jun/90 (fr.)
- Machaerium vestitum Vog. -----[carv, star]
LCB 25872, 18/out/90 (vg.)
- Machaerium villosum Vog. -----[carv, star]
LCB 25873, 6/dez/89 (fl.); 25874, 6/jun/90 (fr.)
- PH/PA Myroxylon peruferum L.f. -----[carv, star]
LCB 25738, 26/jun/90 (vg.); 25879, 8/set/89 (fr.)
- PA Ormosia arborea (Vell.) Harms -----[carv, star]
LCB 25875, 8/ago/90 (vg.)
- PH/PA Sweetia fruticosa Spreng. -----[carv, sinc]
LCB 25726, 8/ago/90 (vg.)
- Teramnus uncinatus Sw. -----[lia]
LCB 25926, 11/abr/91 (fl./fr.); 25931, 18/mar/91 (fl.)
- Vigna candida (Vell.) Marechal, Mascherpa & Stainier -----[lia]
LCB 25932, 18/mar/91 (fl./fr.)
- Flacourtiaceae
- PA Casearia gossypiosperma Briquet. -----[carv, sinc]
LCB 25724, 8/ago/90 (fl.)
- PH/PA Casearia sylvestris Sw. -----[carv, pion]
LCB 24455, 9/ago/89 (fl.)
- PH/PA Prockia crucis L. -----[carv, pion]
LCB 24453, 25/out/89 (fl.); 24454, 30/out/90 (fl.)
- PA Xylosma pseudosalsmanii Sleumer -----[carv, sinc]
LCB 24456, 21/jun/89 (fl.)
- Haloragaceae
- Myriophyllum brasiliense Camb. -----[afx]
LCB 24457, 29/set/89 (fl.)
- Hippocrateaceae
- Hippocratea volubilis L. -----[lia]
LCB 24458, 12/jan/90 (fl.); 25904, 4/dez/90 (fl.)

Tabela 1. continuação

- Icacinaceae
- PH/PA Citronella congonha (Mart.) Howard ----- [arv, sinc]
LCB 25740, 30/ago/90 (fl.)
- PH/PA Citronella paniculata (Mart.) Howard ----- [arv, sinc]
LCB 25739, 16/ago/90 (vg.)
- Lacistemataceae
- PA Lacistema hasslerianum Chodat ----- [arv, sinc]
LCB 24459, 31/out/90 (fr.); 25715, 27/jun/90 (fl.); 25716,
19/set/90 (fl.)
- Lamiaceae
- Hyptis atrorubens Poit. ----- [h-a]
LCB 24460, 31/mai/89 (fr.)
- Hyptis suaveolens Poit. ----- [h-a]
LCB 24461, 31/mai/89 (fl./fr.); 24462, 31/out/90 (fl./fr.)
- Leonurus sibiricus L. ----- [h-a]
LCB 24463, 25/out/89 (fl./fr.)
- Lauraceae
- Endlicheria paniculata (Spreng) Macbride ----- [arv, star]
LCB 24466, 7/jun/89 (fr.)
- PH/PA Nectandra megapotamica (Spreng) Mez ----- [arv, star]
LCB 24467, 23/ago/89 (fl.)
- PA Ocotea elegans Mez ----- [arv, sinc]
LCB 24465, 31/set/90 (vg.)
- PH/PA Ocotea aff odorifera (Vell.) Rohwer ----- [arv, star]
LCB 24464, 31/set/90 (vg.); 25730, 3/out/90 (vg.)
- PH/PA Ocotea puberula (Rich) Ness ----- [arv, star]
LCB 24468, 23/ago/89 (fl.); 24469, 23/ago/90 (fl.); 25729,
30/ago/90 (vg.)
- Nectandra leucantha Nees & Mart. ex Nees ----- [arv, star]
LCB 25928, 30/jul/91 (vg.)
- Lecythidaceae
- PH/PA Cariniana estrellensis (Raddi) O.Kuntz. ----- [arv, star]
LCB 25723, 29/ago/90 (vg.); 25854, 4/dez/90 (vg. + fr.)
- Loganiaceae
- Spielia scabra Cham. et Schel. ----- [h-a]
LCB 24470, 20/set/89 (fl./fr.)
- Strichnos brasiliensis (Spreng) Mart. ----- [aes]
LCB 24471, 16/ago/89 (fr.)
- Loranthaceae
- Phrygilanthus eugeniooides (H.B.K.) Eichler ----- [hem]
LCB 25882, 4/dez/90 (fl.)
- Lythraceae
- Cuphea pascuorum Mart. ----- [h-a]
LCB 24472, 6/jun/90 (fl.); 24473, 25/out/89 (fl.)

Tabela 1. continuação

	Malpighiaceae
	<u>Banisteriopsis anisandra</u> (Juss.) Gates ----- [lia]
	LCB 24475, 23/ago/89 (fl.)
	<u>Banisteriopsis oxyclada</u> (A.Juss) B.Gates ----- [lia]
	LCB 24474, 6/jun/90 (fr.)
	<u>Dicella bracteosa</u> (Juss) Griseb. ----- [lia]
	LCB 24477, 12/jun/90 (fl./fr.)
	<u>Mascagnia anisopetala</u> (Juss.) Gris. ----- [lia]
	LCB 25937, 31/jul/91 (fl./fr.)
	<u>Tetrapterys guilleminiana</u> Juss. ----- [lia]
	LCB 24476, 23/ago/89 (fr.)
	Malvaceae
	<u>Abutilon peltatum</u> K.Sch. ----- [h-a]
	LCB 24484, 5/set/89 (fl./fr.); 24485, 28/jun/89 (fr.)
PH	<u>Pavonia sepium</u> St. Hil. ----- [h-a]
	LCB 24478, 31/mai/89 (fr.); 24479, 28/jun/89 (fl.); 24480, 18/jan/90 (fl./fr.)
	<u>Pavonia spinifex</u> (L.) Cav. ----- [h-a]
	LCB 24486, 11/jan/90 (fl.)
	<u>Sida carpinifolia</u> L.f. ----- [h-a]
	LCB 24481, 31/mai/89 (fr.)
	<u>Sida glaziovii</u> K.Schum ----- [h-a]
	LCB 24482, 12/jun/90 (fl.)
	<u>Sida micrantha</u> St. Hil. ----- [h-a]
	LCB 24483, 31/out/90 (fl.)
	Melastomataceae
	<u>Miconia discolor</u> DC. ----- [arv, pion]
	LCB 25572, 6/dez/89 (fr.); 25573, 3/out/90 (fr.)
PH/PA	<u>Miconia inaequidens</u> (DC.) Naud. ----- [arv, pion]
	LCB 25574, 6/jun/90 (fl.); 25576, 29/ago/90 (fr.)
	<u>Ossaea sanguinea</u> Gogn. ----- [h-a]
	LCB 25575, 11/out/89 (fl.)
	Meliaceae
PH/PA	<u>Cabralea canjerana</u> (Vell.) Mart. ----- [arv, star]
	LCB 25586, 20/set/90 (vg.)
PA	<u>Guarea kunthiana</u> A.Juss. ----- [arv, sinc]
	LCB 25585, 23/ago/89 (fr.)
PH/PA	<u>Guarea macrophylla</u> Vahl. ----- [arv, star]
	LCB 25728, 19/set/90 (vg.); 25578, 18/jan/90 (fl.); 25579, 8/set/89 (fl.)
PH/PA	<u>Trichilia catigua</u> A.Juss. ----- [arv, sinc]
	LCB 25869, 12/out/90 (vg.)
PH/PA	<u>Trichilia clausseni</u> C.DC. ----- [arv, sinc]
	LCB 25580, 20/ago/89 (fl.)
PH	<u>Trichilia elegans</u> A.Juss. ----- [h-a]
	LCB 25581, 8/nov/89 (fl.); 25582, 18/jan/90 (fl.); 25579, 8/set/89 (fl.)
PH/PA	<u>Trichilia pallida</u> Sw. ----- [arv, sinc]
	LCB 25584, 5/set/89 (fr.)
	Menispermaceae
	<u>Cissampelos glaberrima</u> St. Hil. ----- [lia]
	LCB 25939, 4/dez/90 (fl.)

Tabela 1. continuação

	Mimosaceae
	<u>Acacia adhaerens</u> (Mart.) Benth. ----- [lia]
	LCB 25921, 31/jul/90 (vg.)
	<u>Acacia paniculata</u> Willd. ----- [arv, pion]
	LCB 24489, 8/set/89 (fl.)
	<u>Acacia polyphylla</u> DC. ----- [arv, pion]
	LCB 24490, 30/ago/90 (vg.)
PH	<u>Calliandra foliolosa</u> Benth. ----- [arv, sinc]
	LCB 24487, 25/out/89 (fr.); 24491, 16/set/89 (fl.)
PH	<u>Inga luschnathiana</u> Benth. ----- [arv, sinc]
	LCB 24488, 8/set/89 (fl./fr.)
PH	<u>Inga fagifolia</u> Willd. ----- [arv, sinc]
	sem material de registro.
PA	<u>Piptadenia gonoacantha</u> (Mart.) Macbr. ----- [arv, sinc]
	LCB 24492, 9/ago/89 (fr.)
	Monimiaceae
PH	<u>Mollinedia triflora</u> (Spreng) Tul. ----- [h-a]
	LCB 24495, 20/set/89 (fl.)
PH/PA	<u>Mollinedia widgrenii</u> A.DC. ----- [arv, sinc]
	LCB 24493, 25/out/89 (fl.); 24494, 16/ago/89 (fr.)
PA	<u>Siparuna quianensis</u> Aubl. ----- [arv, sinc]
	LCB 25718, 1/ago/90 (vg.)
	Moraceae
PA	<u>Chlorophora tinctoria</u> Gaudich. ----- [arv, sinc]
	LCB 24497, 12/jan/90 (fr.)
	<u>Ficus quaranitica</u> Chod. ex Chod. & Veisn. ----- [est]
	LCB 25922, 31/out/90 (fl./fr.)
	<u>Ficus insipida</u> Willd. ----- [arv, star]
	LCB 24496, 8/set/89 (vg.)
PH	<u>Sorocea bonplandii</u> (Baill.) Burger Long. & W.Beer ----- [h-a]
	LCB 25864, 1/ago/90 (vg.)
	Myrsinaceae
PH	<u>Ardisia guyanensis</u> (Aubl.) Mez ----- [h-a]
	LCB 24498, 1/fev/90 (fl.); 24499, 25/out/89 (fl.)
	<u>Rapanea lancifolia</u> (Mart.) Mez ----- [arv, sinc]
	LCB 24500, 8/nov/89 (fr.)
PA	<u>Rapanea umbellata</u> (Mart.) Mez ----- [arv, sinc]
	LCB 25734, 3/ago/90 (vg.)
PH/PA	<u>Stylogine ambigua</u> (Mart.) Mez ----- [arv, sinc]
	LCB 24501, 7/jun/89 (fr.); 24502, 17/mai/89 (fl.)
	Myrtaceae
PH/PA	<u>Calyptranthes lucida</u> Mart. ----- [arv, sinc]
	LCB 25593, 23/ago/89 (fr.); 25594, 21/out/89 (fl.); 25595, 30/ago/90 (fr.)
PA	<u>Calyptranthes grandifolia</u> Bg. ----- [arv, star]
	LCB 25596, 1/ago/90 (vg.)
PH/PA	<u>Campomanesia guazumifolia</u> Bg. ----- [arv, star]
	LCB 25591, 23/set/90 (vg.)
PH/PA	<u>Campomanesia xanthocarpa</u> Bg. ----- [arv, star]
	LCB 25592, 26/jun/90 (vg.)
PH	<u>Eugenia gardneriana</u> Berg ----- [arv, sinc]
	LCB 25597, 29/ago/90 (fr.)
	...

Tabela 1. continuação

- Myrtaceae (continuação)
- PH/PA Eugenia involucrata DC. ----- [arv, sinc]
 LCB 25587, 8/ago/90 (vg.)
- PA Eugenia ligustrina Willd. ----- [arv, star]
 LCB 25588, 8/ago/90 (vg.)
- PA Eugenia moraviana Bg. ----- [arv, star]
 LCB 25599, 8/ago/90 (vg.)
- PH/PA Eugenia obovata Berg ----- [arv, star]
 LCB 25598, 26/jul/90 (vg.)
- PA Eugenia sp (Stenocalyx affinis Berg) ----- [arv, star]
 LCB 25600, 7/set/90 (vg.); 25601, 8/ago/90 (vg.)
- PA Myrcia rostrata DC. ----- [arv, pion]
 LCB 25602, 23/ago/90 (vg.)
- Myrciaria cauliflora (Mart.)Berg ----- [arv, star]
 LCB 25590, 29/set/90 (vg.)
- PH/PA Myrciaria ciliolata (Camb.)Berg ----- [arv, star]
 LCB 25603, 1/ago/90 (vg.)
- Myrtaceae sp ----- [arv, ?]
 LCB 25589, 8/ago/90 (vg.)
- Nyctaginaceae
- PH Guapira opposita (Vell.)Reitz ----- [arv, sinc]
 LCB 24503, 8/set/89 (fr.)
- PH Pisonia aculeata L. ----- [aes]
 sem material de registro
- PA Pisonia ambigua Heimerl ----- [arv, pion]
 LCB 25720, 8/ago/90 (vg.)
- Onagraceae
- Ludwigia laroutteana (Camb.)Hara ----- [h-a]
 LCB 24504, 8/nov/89 (fl./fr.)
- Oxalidaceae
- PH Oxalis rhombeo-ovata St.Hil. ----- [h-a]
 LCB 24505, 31/mai/89 (fl.); 24506, 28/jun/89 (fl.)
- Passifloraceae
- Passiflora capsularis L. ----- [lia]
 LCB 24508, 12/jan/90 (fl.)
- Passiflora sidaefolia M.Roemer ----- [lia]
 LCB 24507, 27/jun/90 (fr.)
- Passiflora sp ----- [lia]
 LCB 25916, 4/dez/90 (vg.)
- Phytolacaceae
- PH/PA Sequieria floribunda Benth. ----- [arv, sinc]
 LCB 24509, 25/out/89 (vg.)
- Piperaceae
- PH Ottonia propinqua Kunth ----- [h-a]
 LCB 21902, 28/jun/89 (fr.); 25754, 20/set/89 (fl.); 25755,
 26/set/90 (fl.)
- Peperomia rotundifolia (L.)H.B.K. ----- [epi]
 LCB 25753, 31/out/90 (fl.)
- PH Piper cf aduncum L. ----- [h-a]
 sem material de registro
- ...

Tabela 1. continuação

- Piperaceae (continuação)
- PH Piper amalaço L. ----- [h-a]
LCB 25751, 12/jan/89 (fr.); 25752, 25/out/89 (fl.)
- PH Piper amplum Kunth ----- [h-a]
LCB 21900, 31/mai/89 (fl.); 25756, 18/mar/91 (fl./fr.)
- Piper cernuum Vell. ----- [h-a]
LCB 25750, 8/nov/89 (vg.)
- Piper claussenianum (Miq.) C.DC. ----- [h-a]
LCB 25743, 8/set/89 (fl.)
- PH Piper loefgrenii Yun. ----- [h-a]
LCB 25748, 3/out/90 (fl.)
- Piper mollicomum Kunth ----- [h-a]
LCB 21901, 31/mai/89 (fl.); 25744, 27/jun/90 (fl./fr.);
25757, 18/mar/91 (fr.); 25758, 18/mar/91 (fr.)
- Piper regnellii (Miq.) C.DC. ----- [h-a]
LCB 25747, 3/out/90 (fl.); 25748, 15/ago/90 (fl.)
- Pothomorphe umbellata (L.) Miq. ----- [h-a]
LCB 25745, 8/nov/89 (fl.)
- Sarcorhachis obtusa (Miq.) Trel. ----- [lia]
LCB 25744, 27/jun/90 (fl./fr.)
- Plantaginaceae
- Plantago tomentosa Lam. ----- [h-a]
LCB 24510, 31/mai/89 (fl.)
- Polygalaceae
- Bredemeyera sp ----- [aes]
sem material de registro
- PH Polygala klotzschii Chod. ----- [h-a]
LCB 24511, 8/nov/89 (fr.); 24512, 5/set/89 (fl.); 24513,
29/ago/90 (fl.)
- Polygala sp ----- [h-a]
LCB 24514, 12/jan/90 (fl.)
- Proteaceae
- Roupala brasiliensis Klotzch ----- [arv, star]
sem material de registro
- Ranunculaceae
- Clematis dioica L. ----- [lia]
LCB 25860, 23/ago/90 (vg.)
- Rhamnaceae
- Gouania virgata Reiss. ----- [lia]
LCB 24515, 27/jun/90 (fr.)
- PH/PA Rhamnidium elaeocarpum Reiss. ----- [arv, sinc]
LCB 25735, 3/ago/90 (vg.)
- Rosaceae
- PH Prunus sellowi Koehne ----- [arv, sinc]
sem material de registro
- Rubus brasiliensis Mart. ----- [lia]
LCB 24516, 23/ago/89 (fr.)

Tabela 1. continuação

	Rubiaceae	
	<u>Borreria verticillata</u> (L.)Mey.	-----[h-a]
	LCB 25040, 6/jun/90 (fl.)	
PH	<u>Chiococa alba</u> (L.)Hitch.	-----[aes]
	LCB 25843, 18/jan/90 (fl.); 25844, 22/mai/90 (fr.)	
PH	<u>Coffea arabica</u> L.	-----[h-a]
	LCB 25841, 8/nov/89 (fl.)	
	<u>Coutarea hexandra</u> (Jacq.)Schum	-----[arv, star]
	LCB 25842, 6/dez/89 (fl.)	
PH/PA	<u>Guettarda uruguensis</u> Cham. et Schl.	-----[arv, star]
	LCB 24517, 11/nov/89 (fl.)	
PH/PA	<u>Ixora venulosa</u> Benth.	-----[arv, star]
	LCB 25043, 8/nov/89 (fl.); 25044, 11/out/89 (fl.); 25045,	
	29/ago/90 (fr.)	
PH	<u>Randia armata</u> (Sw.)DC.	-----[arv, pion]
	LCB 25042, 5/set/89 (fr.); 25848, 1/ago/90 (vg.)	
	<u>Rudgea apoda</u> Muell.Arg.	-----[h-a]
	LCB 25849, 15/nov/90 (fr.)	
PH/PA	<u>Rudgea jasminoides</u> Muell.Arg.	-----[arv, sinc]
	LCB 25727, 8/ago/90 (vg.)	
PA	<u>Simira</u> sp	-----[arv, star]
	LCB 24051, 9/ago/89 (fr.)	
PH	<u>Psychotria cartagenensis</u> Jacq. sensu L.B.Sm.	-----[h-a]
	LCB 25845, 25/out/89 (fl.); 25847, 5/set/89 (fr.)	
PH	<u>Psychotria cephalantha</u> (M.Arg.)Standley	-----[h-a]
	LCB 25851, 6/dez/89 (fl.); 25852, 17/jan/90 (fl./fr.)	
PH	<u>Psychotria (Heteropsychotria)</u> aff <u>deflexa</u> DC.	-----[h-a]
	LCB 25846, 6/dez/89 (fl.)	
PH	<u>Psychotria hastisepala</u> Muell.Arg.	-----[h-a]
	LCB 21895, 7/jun/89 (fr.); 25759, 15/jan/90 (fl./fr.)	
PH	<u>Psychotria leiocarpa</u> Cham et Schl.	-----[h-a]
	LCB 21892, 28/jun/89 (fr.); 25840, 4/dez/89 (fr.); 25851,	
	6/dez/89 (fl.)	
PH	<u>Psychotria</u> sp1 (<u>Mapouria</u> cf <u>caldasica</u> Muell.Arg)	-----[h-a]
	LCB 25839, 31/nov/90 (fl.)	
PH	<u>Psychotria</u> sp2 (<u>Mapouria</u> <u>sesseliflora</u> Muell.Arg.)	-----[h-a]
	LCB 25760, 10/out/90 (fl./fr.)	
	Rutaceae	
PH	<u>Almeidea coerulea</u> (Ness et Mart.)Engl.	-----[arv, sinc]
	LCB 25047, 17/jan/90 (fl.); 25048, 23/ago/89 (fl.); 25049,	
	28/jun/90 (fr.)	
PH/PA	<u>Balfourodendron riedelianum</u> Engl.	-----[arv, star]
	sem material de registro	
	<u>Esembeckia leiocarpa</u> Engl.	-----[arv, sinc]
	LCB 25050, 8/set/89 (fl.)	
PA	<u>Galipea multiflora</u> Schult.	-----[arv, sinc]
	LCB 25051, 5/mai/89 (fr.)	
	<u>Metrodorea nigra</u> St. Hil.	-----[arv, sinc]
	LCB 25052, 6/dez/89 (fl.); 25053, 11/out/89 (fl.)	
PH/PA	<u>Metrodorea stipularis</u> Mart.	-----[arv, star]
	sem material de registro	
PH/PA	<u>Zanthoxylum minutiflorum</u> Tul.	-----[arv, sinc]
	LCB 25737, 26/jun/90 (vg.)	
PA	<u>Zanthoxylum rhoifolium</u> Lam.	-----[arv, pion]
	LCB 25046, 5/set/89 (vg.)	

Tabela 1. continuação

- Sapindaceae
- PH/PA Allophylus edulis (St.Hil.)Radlk. -----[arv, sinc]
 LCB 25056, 30/ago/90 (fl.)
Cardiospermum grandiflorum Sieb. -----[lia]
 LCB 25057, 27/jun/90 (fl.)
- PH/PA Cupania vernalis Camb. -----[arv, sinc]
 LCB 25054, 8/out/89 (fr.)
Matayba elaeagnoides Radlk. -----[arv, sinc]
 LCB 25055, 8/nov/89 (fr.)
Paulinia meliaeifolia A.L.Juss. -----[lia]
 LCB 25067, 22/mai/90 (fr.)
Paulinia trigonia Vell. -----[lia]
 LCB 25065, 23/ago/89 (fr.)
Serjania communis Camb. -----[lia]
 LCB 25058, 27/jun/90 (fr.)
Serjania grandiflora Camb. -----[lia]
 LCB 25059, 27/jun/90 (fl.); 25060, 28/jun/89 (fl.); 25061,
 23/ago/89 (fr.)
Serjania multiflora Camb. -----[lia]
 LCB 25066, 23/ago/89 (fr.)
Serjania perulacea Raldk. -----[lia]
 LCB 25062, 27/jun/90 (fr.)
Urvilea laevis Raldk. -----[lia]
 LCB 25064, 16/ago/90 (fr.)
Urvilea ulmacea Kunth. -----[lia]
 LCB 25063, 23/ago/89 (fr.)
- Sapotaceae
- PH Chrysophyllum gonocarpum (Mart. et Eich.)Engl. -----[arv, sinc]
 LCB 25068, 31/out/90 (fl.)
- Scrophulariaceae
- Scoparia dulcis L. -----[h-a]
 LCB 25069, 12/jan/90 (fl.)
- Simaroubaceae
- PH/PA Picramnia ramiflora Planch. -----[arv, sinc]
 LCB 25070, 15/nov/90 (fr.)
- Solanaceae
- PH Brunfelsia pauciflora (Cham. et Schlecht)Benth. -----[h-a]
 LCB 25077, 5/set/89 (fl.)
Capsicum flexuosum Sendtn. -----[h-a]
 LCB 25856, 4/out/89 (fl./fr.); 25857, 31/mai/89 (fl.)
PH Capsicum villosum Sendtn. -----[h-a]
 sem material de registro
Cestrum calycinum Willd. -----[h-a]
 LCB 25074, 7/jun/90 (fl.)
Cestrum corymbosum Schlecht. -----[h-a]
 LCB 25075, 23/ago/89 (fl./fr.); 25076, 12/jan/90 (fl.)
PH Cestrum sessiliflorum Schot. -----[h-a]
 LCB 25713, 29/ago/90 (fr.); 25714, 27/jun/90 (fl.)
Solanum americanum Mill.Gard. -----[h-a]
 LCB 25855, 31/out/90 (fl./fr.)
Solanum concinnum Schott. ex Sendtn. -----[h-a]
 LCB 25072, 9/ago/89 (fl.); 25073, 6/jun/90 (fl.)
- ...

Tabela 1. continuação

- Solanaceae (continuação)
- Solanum erianthum D.Don. ----- [arv, pion]
LCB 25079, 8/nov/89 (fl.)
- Solanum paniculatum L. ----- [h-a]
LCB 25078, 5/set/89 (fl.)
- PH/PA Solanum swartzianum Roem. et Schult. ----- [arv, pion]
LCB 25071, 7/jun/80 (fl.)
- Solanum sp ----- [h-a]
LCB 25080, 12/jun/90 (fl./fr.)
- Sterculiaceae
- PA Guazuma ulmifolia Lam. ----- [arv, sinc]
sem material de coleta
- Styracaceae
- Styrax pohlii A.DC. ----- [arv, sinc]
LCB 25865, 1/ago/90 (vg.)
- Tiliaceae
- PA Luehea divaricata Mart. ----- [arv, sinc]
LCB 25081, 8/nov/89 (fl.)
- Triumfetta rhomboidea Jacq. ----- [h-a]
LCB 25082, 6/jun/89 (fl./fr.)
- Trigoniaceae
- Trigonia nivea Camb. ----- [lia]
LCB 25859, 31/jul/90 (vg.)
- Ulmaceae
- Celtis iguanea (Jacquin.) Sargent ----- [arv, pion]
LCB 25083, 5/set/89 (fl.)
- Celtis tala Gillies et Planch. ----- [arv, sinc]
LCB 25722, 31/set/90 (vg.)
- Trema micrantha (L.) Blume ----- [arv, pion]
sem material de registro
- Urticaceae
- PH Pilea sp ----- [h-a]
LCB 25084, 8/set/89 (fl.)
- Urera baccifera Gaudich. ----- [h-a]
LCB 25085, 31/nov/89 (vg.)
- Verbenaceae
- Aeqiphyllea sellowiana Cham. ----- [arv, pion]
LCB 25552, 3/abr/90 (fr.)
- PA Aloysia virgata (Ruiz et Pav.) Juss. ----- [arv, pion]
LCB 25553, 23/ago/89 (fl.)
- Lantana camara L. ----- [h-a]
LCB 25549, 5/set/89 (fl./fr.)
- Lantana lilacina Desf. ----- [h-a]
LCB 25550, 20/set/89 (fl./fr.); 25554, 23/ago/89 (fl./fr.)
- Lantana brasiliensis Link ----- [h-a]
LCB 25546, 12/jan/90 (fl./fr.); 25548, 31/mai/89 (fr.)
- Petrea volubilis Jacq. ----- [aes]
LCB 25924, 26/jun/90 (vg.)
- ...

Tabela 1. continuação

- Verbenaceae (continuação)
- Stachytarpheta sp1 ----- [h-a]
LCB 25547, 12/jan/90 (fl.)
- Stachytarpheta sp2 ----- [h-a]
LCB 25551, 5/set/90 (fl./fr.)
- Violaceae
- Anchietea pyrifolia (Mart.) G.Don ----- [lia]
LCB 25550, 23/ago/89 (fl.)
- PH Hybanthus atropurpureus Taub. ----- [h-a]
LCB 25556, 31/mai/89 (fl./fr.)
- Viscaceae
- Phoradendron sp ----- [hem]
LCB 25918, 29/ago/90 (fr.)
- Vitaceae
- Cissus simsiana Roem. et Schult. ----- [lia]
LCB 25915, 26/set/90 (vg.)
- Vochysiaceae
- PA Vochysia magnifica Warm. ----- [arv, star]
LCB 25717, 8/ago/90 (vg.)
- família(s) não determinada(s)
- PA dicotiledônea sp1 ----- [arv, ?]
sem material de registro
- PA dicotiledônea sp2 ----- [arv, ?]
sem material de registro
- PA dicotiledônea sp3 ----- [arv, ?]
sem material de registro

MONOCOTILEDÔNEAS

- Araceae
- Philodendron bipinnatifidum Schott ex Engl. ----- [epi]
LCB 25941, 31/out/90 (vg.)
- Philodendron propinquum Schott ----- [lia]
LCB 25925, 1/mai/91 (vg.)
- araceae sp1 ----- [h-a]
LCB 26066, 4/mai/92 (vg.)
- araceae sp2 ----- [h-a]
sem material de registro
- Arecaceae
- PH Bactris sp ----- [arv, ?]
LCB 25557, 23/ago/89 (fr.)
- PH/PA Syagrus romanzoffiana (Cham.) Glass. ----- [arv, sinc]
sem material de registro

Tabela 1. continuação

	Bromeliaceae	
PH	<u>Bromelia balansae</u> Mez -----	[h-a]
	sem material de registro	
	<u>Tillandsia loliacea</u> Mart. ex Schult.f. -----	[epi]
	LCB 25577, 30/mai/90 (fl.); 25886, 12/jun/90 (fr.)	
	<u>Tillandsia pohliana</u> Mez -----	[epi]
	LCB 25884, 30/set/89 (fr.)	
	<u>Tillandsia recurvata</u> (L.)L. -----	[epi]
	LCB 25887, 17/jan/90 (fr./fl.); 25888, 8/nov/89 (fr.)	
	<u>Tillandsia tricholepsis</u> Baker -----	[epi]
	LCB 25885, 31/out/90 (fr./fl.)	
	<u>Tillandsia usneoides</u> (L.)L. -----	[epi]
	sem material de registro	
	Commelinaceae	
PH	<u>Dichorisandra incurva</u> Mart. -----	[h-a]
	LCB 25558, 12/jan/90 (fl./fr.)	
	<u>Tripogandra</u> sp -----	[h-a]
	LCB 25942, 18/mar/91 (fl.)	
	Cyperaceae	
	<u>Cyperus cf friburgensis</u> Backer -----	[h-a]
	LCB 25561, 31/mai/89 (fr.)	
	<u>Pleurostachys stricta</u> Kunth -----	[h-a]
	LCB 25559, 23/ago/90 (fl.); 25560*, 9/ago/89 (fl.)	
	Dioscoreaceae	
	<u>Dioscorea altissima</u> Lamarck -----	[lia]
	LCB 25944, 1/fev/90 (fl.); 25945, 18/mar/91 (fl.)	
	<u>Dioscorea macrocarpa</u> Uline ex R.Knuth -----	[lia]
	LCB 25943, 8/set/89 (fr.)	
	Heliconiaceae	
PH	<u>Heliconia psittacorum</u> L.f. -----	[h-a]
	LCB 25569, 28/jun/89 (fl.)	
	Iridaceae	
PH	<u>Neomarica</u> sp -----	[h-a]
	sem material de registro	
	Liliaceae	
	<u>Grifflinia</u> sp -----	[h-a]
	sem material de registro	
	<u>Hypastrum reticulatum</u> Herb -----	[h-a]
	sem material de registro	
	Marantaceae	
	<u>Calathea</u> sp -----	[h-a]
	LCB 25567, 12/jan/90 (fl.)	
PH	<u>Maranta parvifolia</u> Peterson -----	[h-a]
	LCB 25568, 3/out/90 (fr.)	

* o material apresenta algumas divergências com a descrição

Tabela 1. continuação

	Orchidaceae	
PH	<u>Corymborchis</u> sp -----	[h-a]
	LCB 25562, 28/jun/89 (fr.)	
	<u>Oeceoclades maculata</u> Franch. & Sav. -----	[h-a]
	sem material de registro	
PH	<u>Sarcoglossa fasciculata</u> (Vell.) Schltr. -----	[h-a]
	LCB 25563, 16/set/89 (fl.); 25564, 22/set/90 (fl.); 25565,	
	26/set/90 (fl.); 25566, 22/set/90 (fl.)	
	<u>Vanilla</u> sp -----	[lia]
	sem material de registro	
	<u>orquidaceae</u> sp -----	[epi]
	sem material de registro	
	Poaceae	
	<u>Aristida jubata</u> (Arech.) Herter -----	[h-a]
	LCB 24310, 3/nov/90 (fr.)	
	<u>Bracharia decumbens</u> Stapf. -----	[h-a]
	LCB 24314, 22/mai/90 (fl.)	
	<u>Hyparrhenia rufa</u> (Nees) Stapf. -----	[h-a]
	LCB 24313, 22/mai/90 (fl.)	
	<u>Ichnanthus pallens</u> (Swartz) Munro ex Benth. -----	[h-a]
	LCB 24299, 31/mai/89 (fr.)	
	<u>Lasiacis sorghoidea</u> (Desv. ex Hamilt.) Hitch. & Chase -----	[h-a]
	LCB 24300, 31/mai/89 (fr.)	
	<u>Leersia hexandra</u> Swartz. -----	[h-a]
	LCB 24301, 31/mai/89 (fr.)	
	<u>Olyra micrantha</u> H.B.K. -----	[h-a]
	LCB 24305, 8/nov/89 (fr.)	
	<u>Oplismenus hirtellus</u> (L.) Beauv. -----	[h-a]
	LCB 24302, 31/mai/89 (fr.)	
	<u>Panicum maximum</u> Jacq. -----	[h-a]
	LCB 24312, 22/mai/90 (fr.)	
	<u>Panicum millegrana</u> Poir. -----	[h-a]
	LCB 24303, 31/mai/89 (fr.)	
	<u>Paspalum conjugatum</u> Berg. -----	[h-a]
	LCB 24308, 31/mai/89 (fr.); 24309, 31/mai/90 (fr.)	
	<u>Paspalum</u> sp -----	[h-a]
	LCB 24304, 31/mai/89 (fl.)	
	<u>Pennisetum purpureum</u> Schum. -----	[h-a]
	LCB 24311, 6/jun/90 (fr.)	
	<u>Pharus lappulaceus</u> Aubl. -----	[h-a]
	LCB 24306, 12/jan/90 (fl.)	
PH	<u>Pseudechinolaena polystachya</u> (H.B.K.) Stapf -----	[h-a]
	LCB 24298, 31/mai/89 (fr.)	
	<u>Setaria poiretiana</u> (Schultz) Kunth -----	[h-a]
	LCB 24297, 31/mai/89 (fr.)	
	<u>Setaria vulpiseta</u> (Lam.) Roem & Sendt. -----	[h-a]
	LCB 24295, 31/mai/89 (fr.); 24296, 31/mai/89 (fr.)	
	<u>Aulonemia cingulata</u> McClure & Smith -----	[h-a]
	LCB 24307, 1/mai/90 (fl.)	
PH	<u>poaceae</u> sp1 -----	[h-a]
	LCB 26169, 11/dez/90 (vg.)	
	Pontederiaceae	
	<u>Eichhornia crassipes</u> (Mart.) Solms-Laubach -----	[aqu]
	sem material de registro	

Tabela 1. continuação

Smilacaceae

Smilax syringoides Griseb. ----- [lia]
LCB 25570, 17/jan/90 (fr.)

Typhaceae

Typha sp ----- [h-a]
sem material de registro

Zingiberaceae

Hedychium coronarium Koen. ----- [h-a]
LCB 25571, 12/jan/90 (fl.)

2. Fitossociologia

2.a. Vegetação herbácea-arbustiva

No levantamento fitossociológico foram amostrados 1109 indivíduos pertencentes a 100 espécies, sendo 89 dicotiledôneas (68 gêneros, 37 famílias) e 11 monocotiledôneas (10 gêneros e 1 material não determinado, 8 famílias). O índice de diversidade de Shannon & Weaver $H'(ln)$, para espécies, foi 3,501.

A relação de espécies em função da área amostrada está representada na figura 5. Foi determinada uma curva onde a ordenação das parcelas seguiu a sequência de instalação e amostragem das parcelas no campo (curva real) e outra onde a ordenação das parcelas foi aleatória, assim a curva é estimativa. Em ambos os casos houve uma diminuição no número de novas espécies à medida que a área amostrada é aumentada.

Quando o número de novas espécies amostradas, com o incremento da área, é pequeno, em relação ao esforço de coleta, a área é suficiente para avaliar a comunidade como um todo (MATTEUCCI & COLMA 1982).

As figuras 6 e 7 apresentam as famílias que totalizaram 75% do IVC e IVI, respectivamente.

A dominância participa com 53% na proporção do IVC representado, a densidade com os outros 47%. Rubiaceae (1^a. posição) apresenta pouca diferença em relação a Meliaceae (2^a. posição). A diferença entre as duas primeiras e a terceira (Violaceae) é bastante grande, tal como desta com as outras.



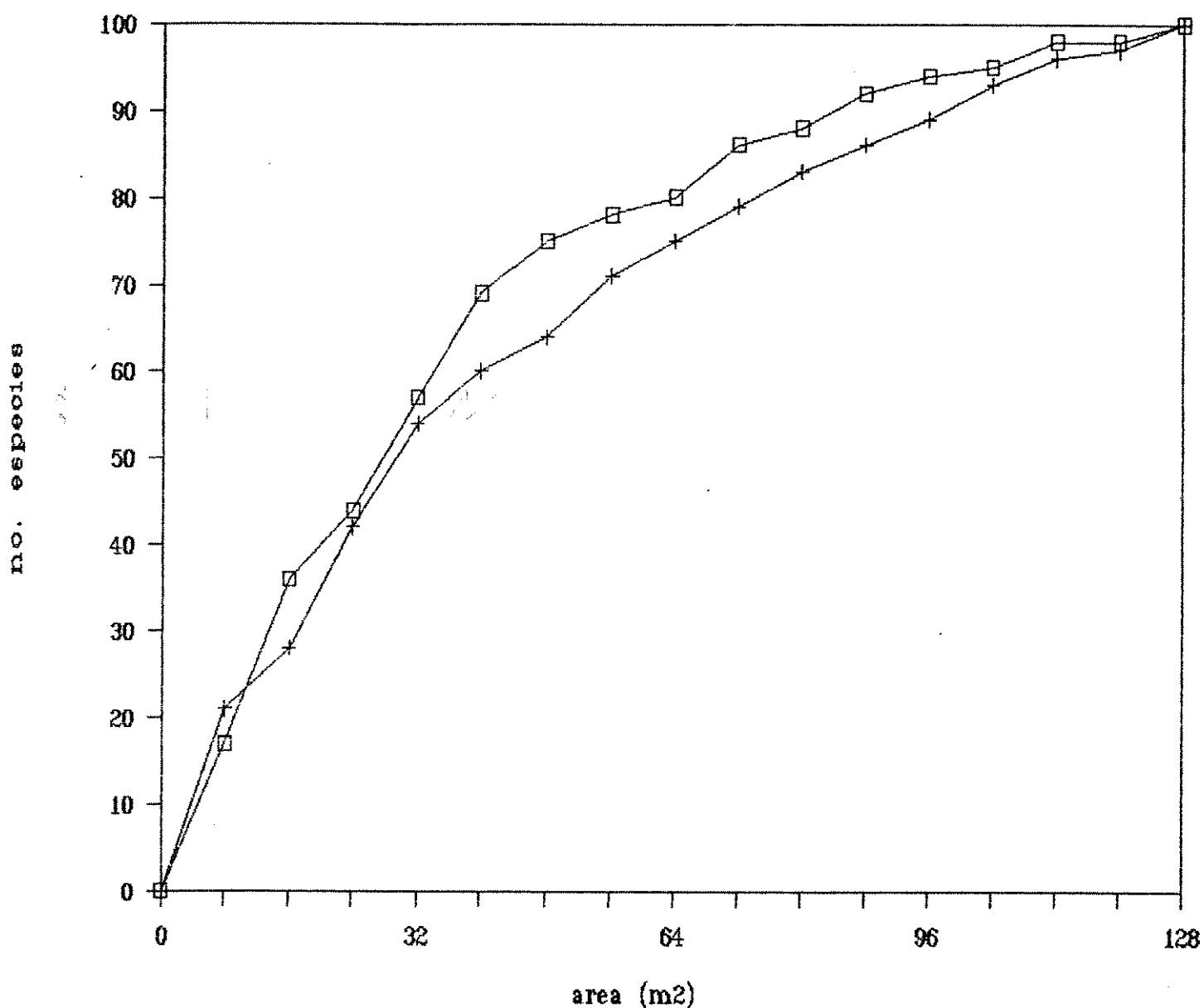


Figura 5. Curva da relação espécie/área para a vegetação herbáceo-arbustiva da mata da Fazenda São Vicente. + Curva real; □ curva estimativa.

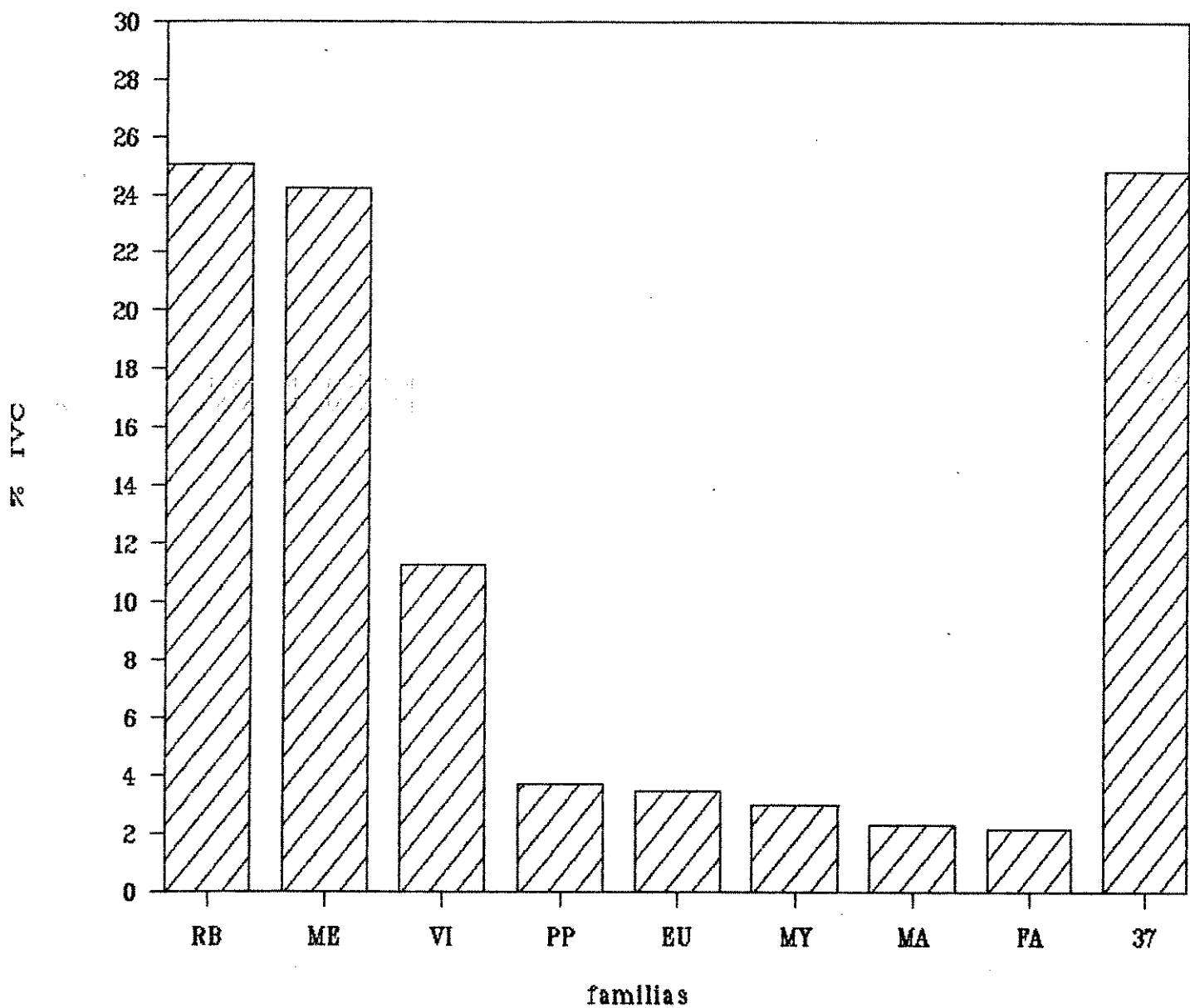


Figura 6. Famílias com os maiores IVC, somando 75% do valor total, da vegetação herbáeo-arbustiva da mata da Fazenda São Vicente.

RB Rubiaceae; ME Meliaceae; VI Violaceae; PP Piperaceae; EU Euphorbiaceae; MY Myrtaceae; MA Malvaceae; FA Fabaceae; 37 número de outras famílias que totalizam o IVC.

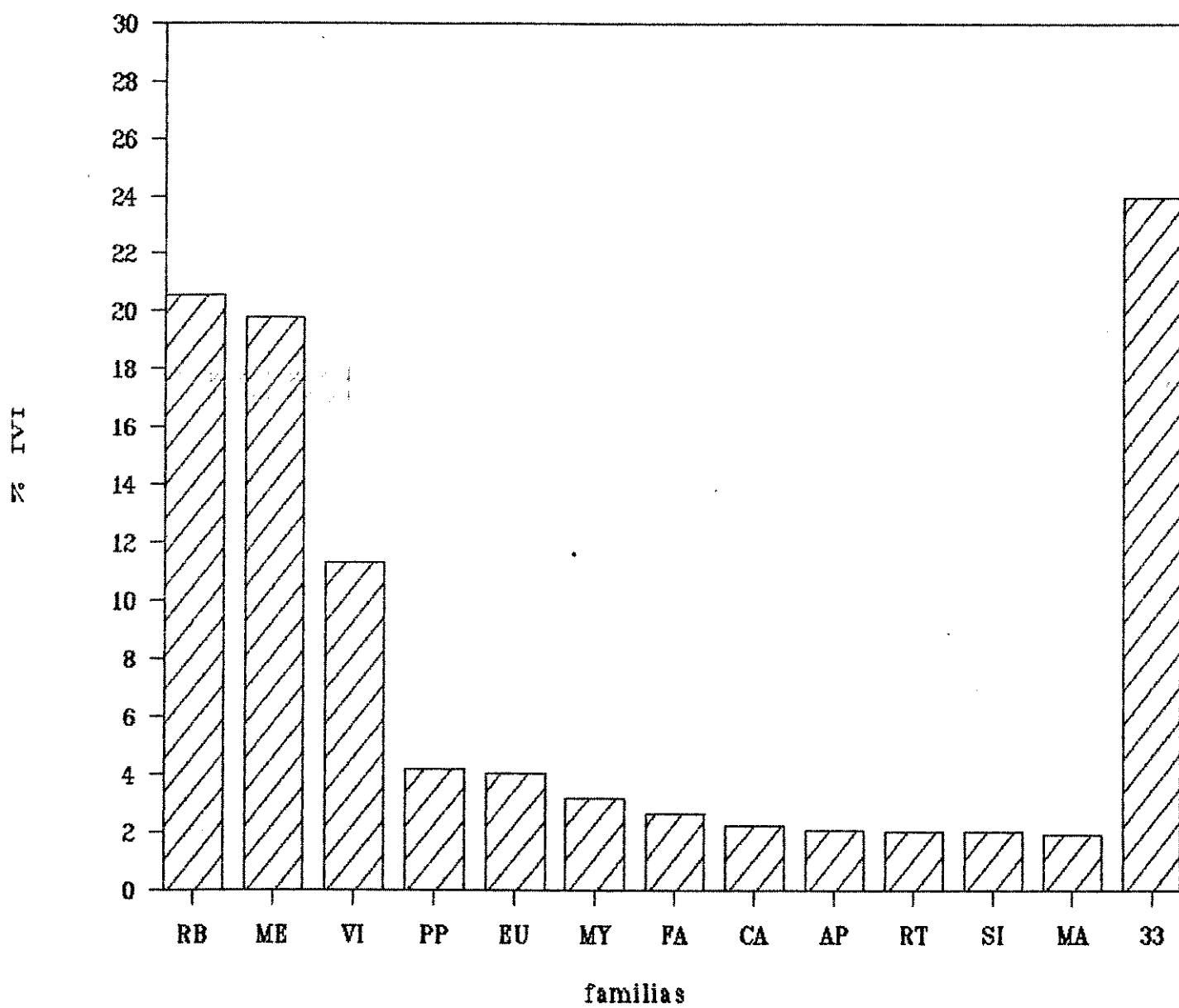


Figura 7. Famílias com os maiores IVI, somando 75% do valor total, da vegetação herbáceo-arbustiva da mata da Fazenda São Vicente.

RB Rubiaceae; ME Meliaceae; VI Violaceae; PP Piperaceae; EU Euphorbiaceae; MY Myrtaceae; FA Fabaceae; CA Caesalpiniaceae; AP Apocynaceae; RT Rutaceae; SI Simaroubaceae; MA Malvaceae; 33 número de outras famílias que totalizam o IVI.

A mesma situação observada em relação ao IVC se repete com relação ao IVI, sendo que não há alteração na ordenação das famílias até a 6^a. posição (Piperaceae, Euphorbiaceae e Myrtaceae ocupam respectivamente as 4^a, 5^a. e 6^a. posições).

Na composição do IVI a dominância participa com 38% e a densidade com 34%. A frequência participa com 28% da proporção do índice, causando as alterações na ordenação das famílias, elevando o número de famílias e por consequência diminuindo a participação relativa de cada família (excluindo as eventuais mudanças de posição).

Assim, Malvaceae, que ocupava a 7^a. posição, cai à 12^a., enquanto Fabaceae passa da 8^a. à 7^a. e Caesalpiniaceae, Apocynaceae, Rutaceae e Simaroubaceae, que não participam da representação de IVC, aparecem nas 8^a., 9^a., 10^a. e 11^a. posições, respectivamente.

A figura 8 apresenta as espécies, com os maiores valores de IVC, que perfazem 75% do IVC total e na figura 9 estão representadas as espécies que perfazem 75% do IVI.

Para a composição do IVC a dominância participa com 55% do valor e a densidade com 45%.

As 3 primeiras espécies (respectivamente Trichilia clausenii, Coffea arabica e Hybanthus atropurpureus), representantes das 3 famílias com os maiores valores de IVC e IVI, apresentam uma contribuição muito maior que as outras espécies.

Psychotria deflexa, que ocupa a 4^a. posição é representante das Rubiaceae, que além de C. arabica conta com Ixora venulosa e P. hastisepala, o que foi suficiente para suplantar a contribuição de T. clausenii, se bem que Meliaceae tenha outras duas espécies representadas (T. elegans e T. catigua). H. atropurpureus é a única representante da família Violaceae.

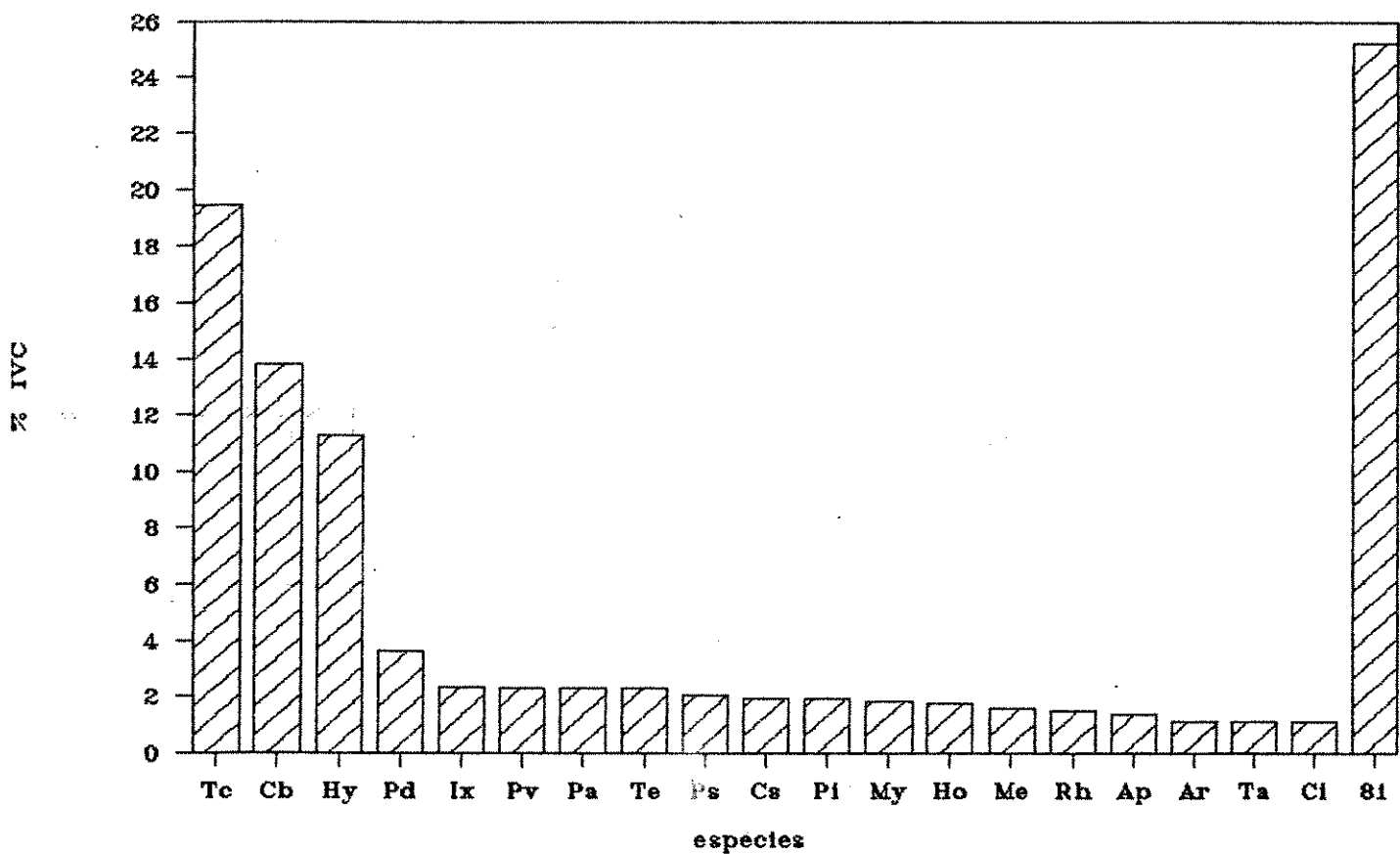


Figura 8. Espécies com os maiores IVC, somando 75% do valor total, da vegetação herbáceo-arbustiva da mata da Fazenda São Vicente. Tc Trichilia clausseni; Cb Coffea arabica; Hy Hybanthus atropurpureus; Pd Psychotria aff deflexa; Ix Ixora venulosa; Pv Pavonia sepium; Pa Piper amalago; Te Trichilia elegans; Ph Psychotria hastisepala; Cs Croton salutaris; Pi Picramnia ramiflora; My Myrciaria ciliolata; Ho Holocalyx balansae; Me Metrodorea stipularis; Rh Rhamminidium elaeocarpum; Ap Aspidosperma polyneuron; Ar Ardisia guyanensis; Ta Trichilia catigua; Ci Citronella paniculata; 81 número de outras espécies que totalizam o IVC.

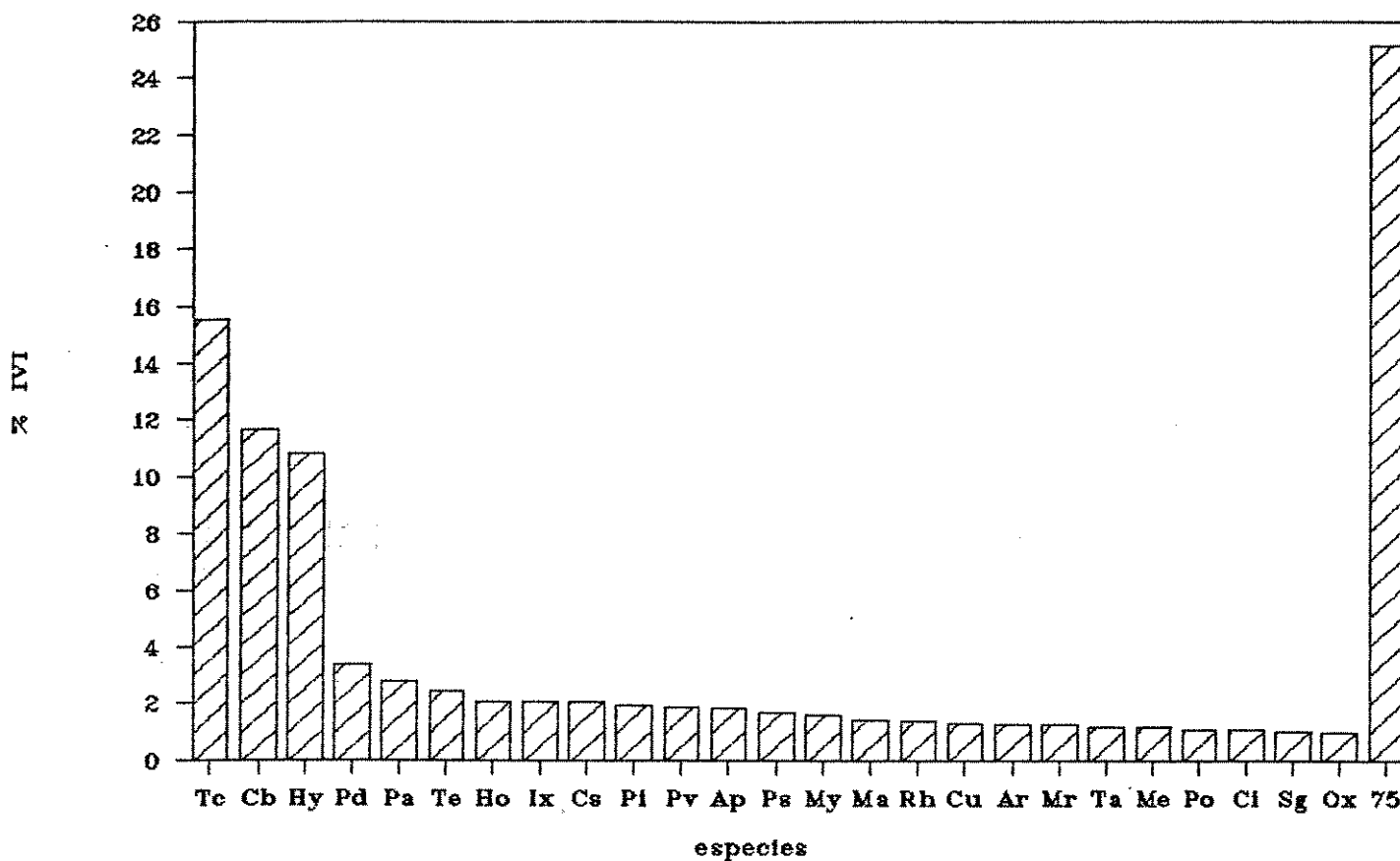


Figura 9. Espécies com os maiores IVI, somando 75% do valor total, da vegetação herbáceo-arbustiva da mata da Fazenda São Vicente.

Tc Trichilia clausseni; Cb Coffea arabica; Hy Hybanthus atropurpureus; Pd Psychotria aff deflexa; Pa Piper amalago; Te Trichilia elegans; Ho Holocalyx balansae; Ix Ixora venulosa; Cs Croton salutaris; Pi Picramnia ramiflora; Pv Pavonia sepium; Ap Aspidosperma polyneuron; Ph Psychotria hastisepala; My Myrciaria ciliolata; Ma Maytenus aquifolium; Rh Rhamnnidium elaeocarpum; Cu Cupania vernalis; Ar Ardisia guyanensis; Mr Myroxylum peruferum; Ta Trichilia catigua; Me Metrodorea stipularis; Po Polygala klotzschii; Ci Citronella paniculata; Ox Oxalis rhombeo-ovata; 75 número de outras espécies que totalizam o IVI.

Com relação ao IVI a posição das 4 primeiras espécies mantém-se e a mesma situação é verificada em relação às diferenças entre aquelas posições e outras. Por outro lado, apesar da frequência participar com a menor porcentagem (28%), em relação à dominância (38%) e densidade (33%) ela causa consideráveis alterações na ordem de contribuição das espécies em relação ao IVC e aumenta o número de espécies.

Assim, por exemplo, Maytenus aquifolium, que não aparece entre as espécies com maior IVC, passa a ocupar a 15^a. posição de IVI; Metrodorea stipularis que ocupa a 14^a. posição de IVC cai à 21^a. posição de IVI; Holocalyx balansae sobe da 13^a. à 6^a.; Pavonia sp cai da 6^a. à 11^a. e Citronella paniculata sobe à 23^a. posição.

Hybanthus atropurpureus, Psychotria aff deflexa, Pavonia sepium, Piper amalago, Trichilia elegans, Psychotria hastisepala, Ardisia guyanensis, Polygala klotzchii* e Oxalis rhombeo-ovata* são espécies subarbustivas ou arbustivas não ultrapassando, no geral, a 2m de altura. C. arabica, o café, é uma espécie exótica cultivada e representa 14% do IVC e 12% do IVI totais. Considerando-se que os 75% do IVI (ou IVC) permitem extração para a comunidade e descartando-se a contribuição de outras plantas com a mesma posição ecológica que o café, pode-se supor que a participação da vegetação nativa representada por espécies herbáceo-arbustivas no componente analisado da comunidade seja ao redor de 35% do IVC e 36% do IVI.

Na amostragem total, as espécies herbáceo-arbustivas representam 25% tanto do IVC, quanto do IVI totais e, além do café e espécies arbóreas, há 1% de espécies que são arbustos escandentes. Se fossem consideradas as 10 espécies com maiores valores de IVC (61%) e IVI (55%) as espécies herbáceo-arbustivas representariam 48% do IVC e 58% do IVI totais.

* contribuem apenas no IVI.

Em relação a 75% do IVC e IVI totais há uma diferença média de $4,797 \pm 0,329$, que corresponde a 0,7%, em comparação aos valores de IVC e IVI para as formas de vida, enquanto em relação às espécies com os 10 maiores valores de IVC e IVI há uma diferença média de $11,017 \pm 4,111$, que corresponde a 3,6%, nas mesmas comparações.

Na figura 10 representa-se a ordenação da porcentagem do número de indivíduos (em escala logarítmica) por espécie. A curva resultante é uma "curva do componente dominância da diversidade" (Whittaker 1965, 1972 apud ODUM 1986) ou ainda "curva de importância de espécies" (Pianka 1978 apud ODUM ibid).

Na tabela 2 são apresentados o número de indivíduos por classes de tamanho da copa para as 10 espécies com o maior número de indivíduos, o Coeficiente de Gini (G) ou G' da amostra, G (G') médio estimados e os respectivos erros padrão, assinalando-se as diferenças não significativas.

Polygala klotzschii apresentou o menor valor, significativamente diferente de todos os outros, para a medida de desigualdade na distribuição de tamanhos dentro da população (G ou G'). Depois desta espécie os menores valores de G (G') são devidos a Piper amalago e Croton salutaris, que não apresentaram valores significativamente diferentes entre si.

Valores mais altos de G (G') são devidos a Hybanthus atropurpureus, Psychotria deflexa, Picramnia ramiflora (cujos valores não são significativamente diferentes uns dos outros), Coffea arabica, Pavonia sepium (cujos valores não diferem significativamente entre si), Trichilia clausseni e T. elegans (cujos valores não diferem significativamente dos de Pavonia sepium).

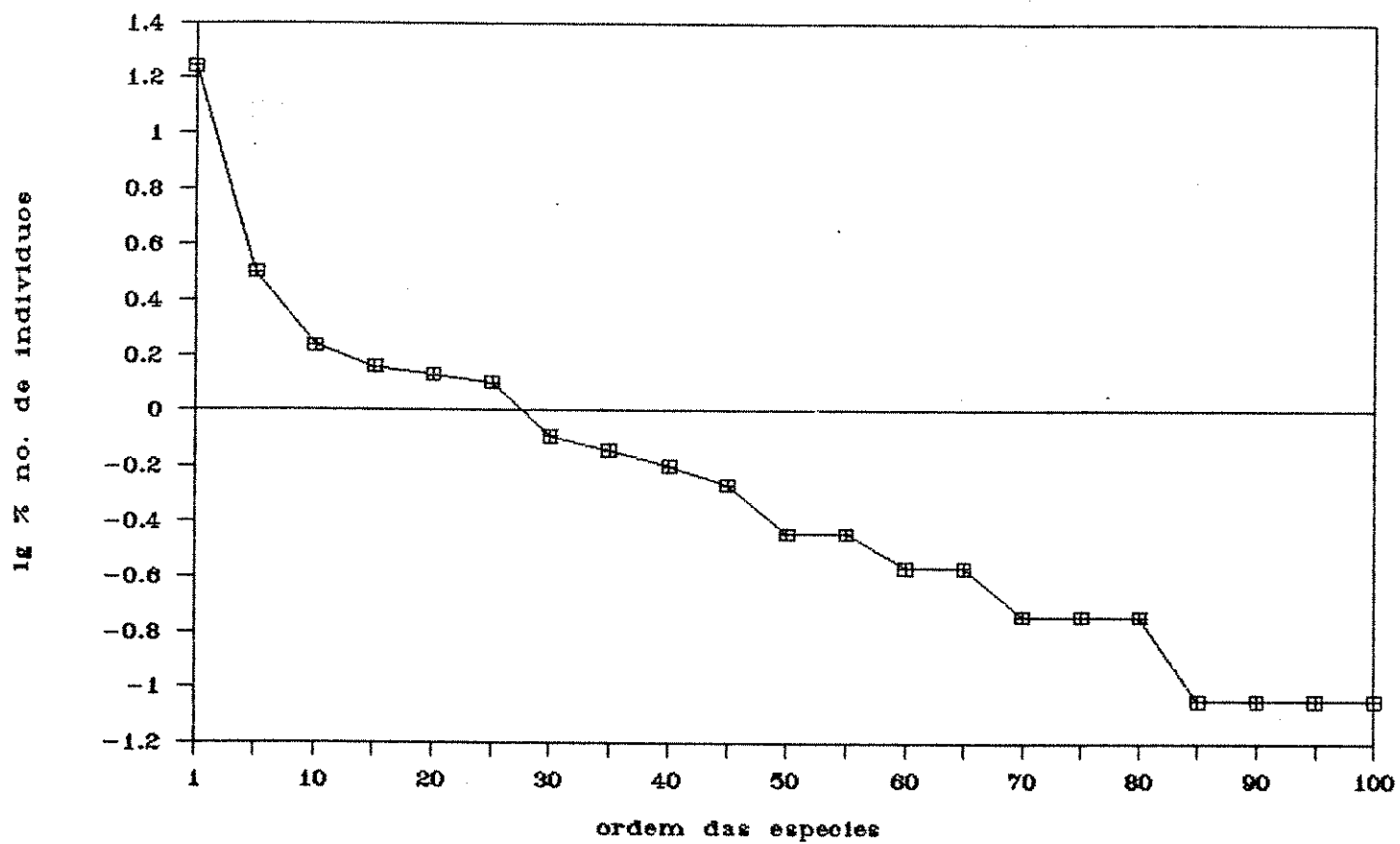
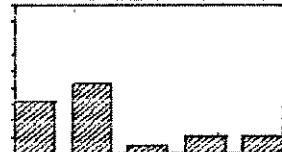


Figura 10. Ordenação do número de indivíduos ($\log_{10} \%$) por espécies levantadas no estudo fitossociológico da vegetação herbácea-arbustiva da mata da Fazenda São Vicente.

Tabela 2. Número de indivíduos (n), intervalo de classes de tamanho da copa (x), amplitude de variação do tamanho da copa (entre parênteses) (cmc), coeficiente de Gini (G ou G') da amostra e G ou G' e erro médio estimado por "bootstrap" (entre colchetes), para as 10 espécies mais abundantes no componente herbáceo-arbustivo da mata da Fazenda São Vicente. A mesma letra, após o nome da espécie, indica diferença não significativa, em teste t ao nível de 5%. ■ 10% da amostra.

Polygonia klotzschii a

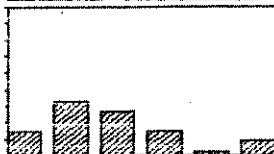


n = 19

$x = 0,4$
(0,6 a 2,8)

$$G' = 0,2539 \\ [0,2393 \pm 1,1667 \times 10^{-3}]$$

Piper amalago b

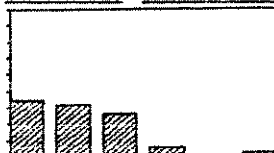


n = 34

$x = 1,1$
(0,6 a 7,2)

$$G' = 0,2951 \\ [0,2856 \pm 1,0846 \times 10^{-3}]$$

Croton salutaris b



n = 35

$x = 1,0$
(0,4 a 6,4)

$$G' = 0,3081 \\ [0,2984 \pm 1,0846 \times 10^{-3}]$$

Hypothamnus atropurpureus c



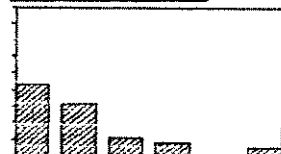
n = 194

$x = 1,2$
(0,3 a 10,0)

$$G = 0,3354$$

$$[0,3339 \pm 5,3442 \times 10^{-4}]$$

Psychotria aff deflexa c



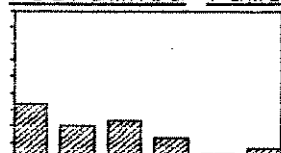
n = 35

$x = 2,3$
(1,2 a 15,0)

$$G' = 0,3454$$

$$[0,3343 \pm 1,1667 \times 10^{-3}]$$

Picramnia ramiflora c



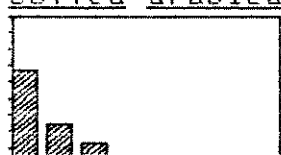
n = 30

$x = 1,1$
(0,4 a 7,2)

$$G' = 0,3555$$

$$[0,3455 \pm 1,0972 \times 10^{-3}]$$

Coffea arabica d



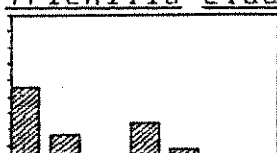
n = 180

$x = 2,1$
(0,3 a 17,5)

$$G = 0,4085$$

$$[0,4045 \pm 7,3048 \times 10^{-4}]$$

Trichilia clausenii e



n = 79

$x = 3,8$
(1,1 a 27,0)

$$G' = 0,4248 \\ [0,4203 \pm 7,5262 \times 10^{-4}]$$

Pavonia sepium d, e, f



n = 28

$x = 2,4$
(0,8 a 15,0)

$$G' = 0,4597$$

$$[0,4269 \pm 2,6499 \times 10^{-3}]$$

Trichilia elegans f



n = 19

$x = 3,4$
(0,7 a 17,5)

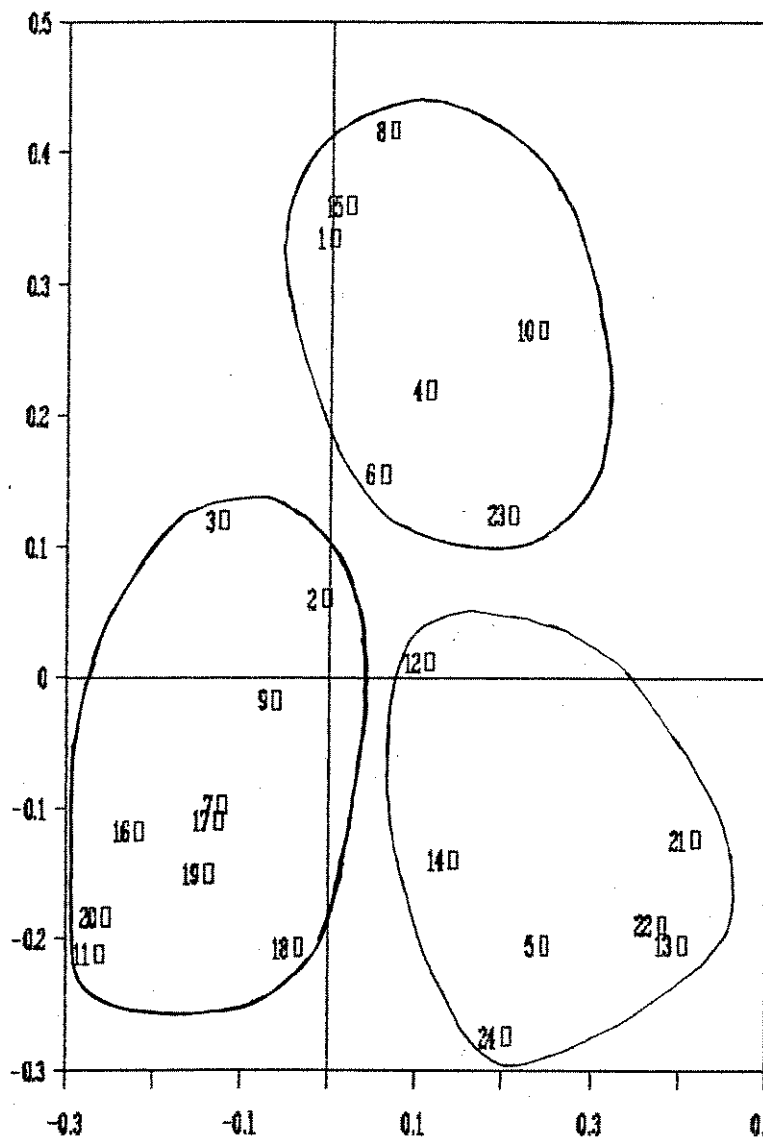
$$G' = 0,4736$$

$$[0,4458 \pm 1,8277 \times 10^{-3}]$$

Na análise de componentes principais (PCA), considerando-se as espécies com pelo menos 10 indivíduos, a porcentagem cumulativa dos dois principais autovetores foi de 25%. A análise por autovetores está representada na figura 11 e por componentes na figura 12.

É possível perceber que os valores de cobertura variam segundo padrões idênticos para espécies diferentes, de tal modo que podem ser reconhecidos 3 conjuntos de espécies com diferenças nos valores de cobertura mais ou menos no mesmo sentido. Esta associação de espécies que apresentam diferenças nos valores de cobertura segundo um mesmo padrão permite reconhecer grupos de parcelas semelhantes entre si, sendo que, quanto mais próximos entre si, aparecerem na figura, os grupos de parcelas, mais semelhantes.

Os grupos de parcela, no entanto, não formam grupamentos exatamente como aqueles formados pelas espécies, ou seja, há grupos de parcelas onde a participação dos conjuntos de espécies apresenta valores intermediários, antes que uma marcante predominância de um dos conjuntos. Este é o caso com os grupos de parcela 16, 13, 15, 2, 1, 4 e 3 e 7, 8 e 10. No grupo de parcela 9 há uma grande contribuição de Pavonia sepium, enquanto no grupo 14 de Psichotria hastisepala e no 5 de Psichotria aff deflexa. No grupo 12 a contribuição de Hybanthus atropurpureus é marcante.



- 1 Acalypha gracilis
- 2 Ardisia guyanensis
- 3 Aspidosperma polyneuron
- 4 Coffea arabica
- 5 Croton salutaris
- 6 Cupania vernalis
- 7 Holocalyx balansae
- 8 Hybanthus atropurpureus
- 9 Ixora venulosa
- 10 Maytenus aquifolium
- 11 Myroxylum peruferum
- 12 Oxalis rhombeo-ovata
- 13 Picramnia ramiflora
- 14 Piper amalago
- 15 Piper loefgrenii
- 16 Pseudechinolaena polystachya
- 17 Polygala klotzschii
- 18 Psychotria aff deflexa
- 19 Psychotria leiocarpa
- 20 Psychotria hastisepala
- 21 Sequieria floribunda
- 22 Pavonia sepium
- 23 Trichilia clausenii
- 24 Trichilia elegans

Figura 11. Distribuição das espécies, com mais de 10 indivíduos, segundo autovetores. As linhas separam conjuntos de espécies que apresentam mais ou menos mesmo padrão de variação nos valores de cobertura.

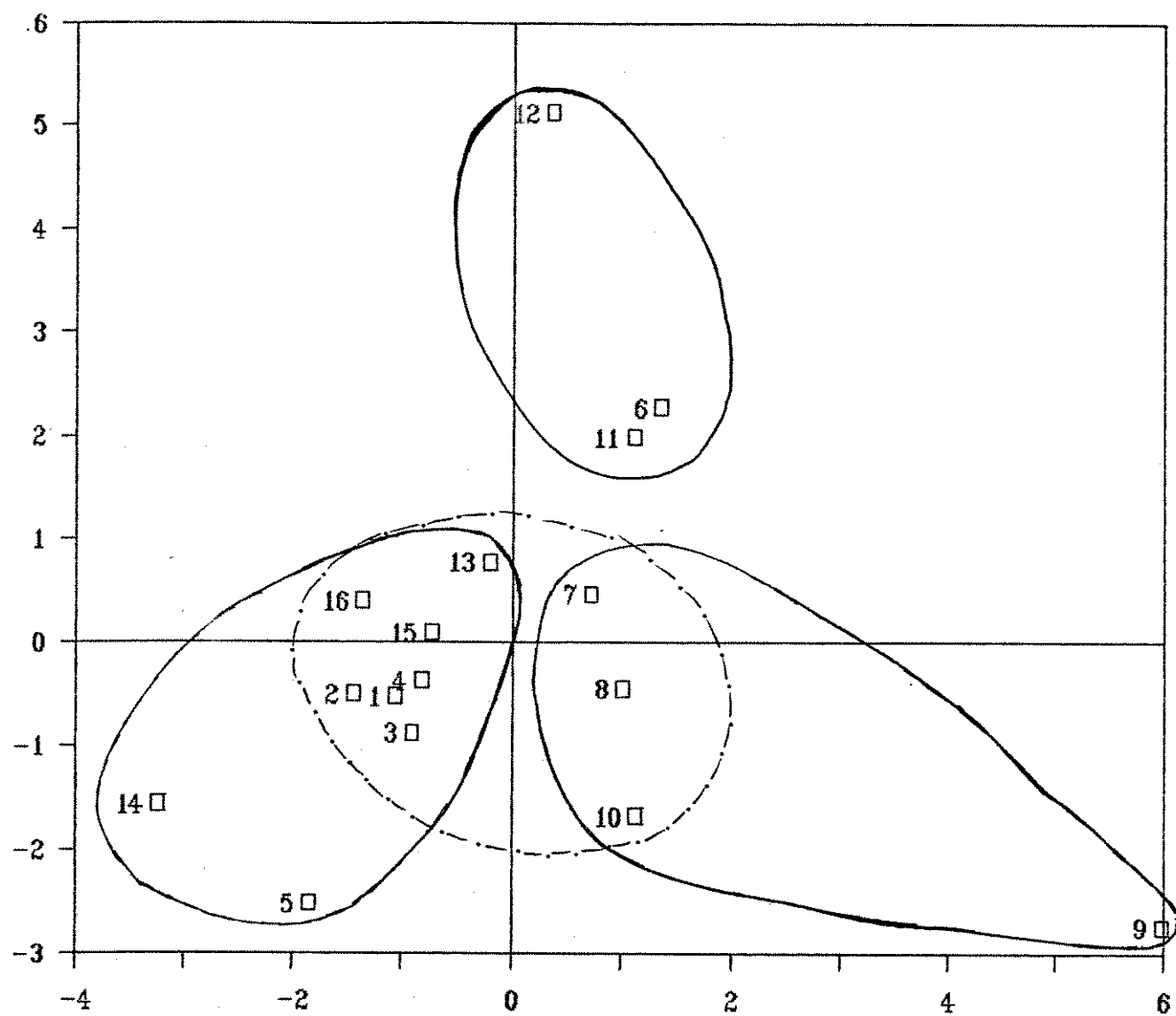


Figura 12. PCA das parcelas de estudo da vegetação herbáceo-arbustiva da mata da Fazenda São Vicente, tendo como autovetores os valores de cobertura das espécies. As linhas definem os grupamentos de parcelas, sendo que a linha pontilhada indica grupos onde houve contribuição intermediária de conjuntos de espécies identificados na figura anterior.

2.b. Vegetação arbórea

Foram amostrados 596 indivíduos, pertencentes a 84 espécies, sendo 83 dicotiledôneas (de 54 gêneros, 32 famílias e 3 materiais não identificados) e 1 monocotiledônea. O índice de diversidade $H'(ln)$ foi de 3,527 (para espécies). Foram amostrados 38 indivíduos mortos.

Na figura 13 representa-se a relação de espécies em função da área amostrada. Em uma das curvas a ordenação das parcelas foi sequencial à ordem de instalação das mesmas (curva real), na outra a ordenação das parcelas foi aleatória, portanto a curva obtida é estimativa.

As espécies com os maiores valores de IVC e IVI que perfazem aproximadamente 75% dos respectivos valores totais estão representadas nas figuras 14 e 15 respectivamente.

A dominância participa com 52% e a densidade com 48% no IVC representado. Trichilia clausenii ocupa a 1^a. posição, entre as 19 espécies representadas. A diferença entre a 2^a. e 3^a. posições é pequena, tal como entre a 5^a. e 6^a. e a partir da 7^a. posição de IVC. Os indivíduos mortos são representados em relação ao total dos vivos, correspondendo a 5,4% do IVC conjunto (incluindo vivos e mortos, diferente dos outros valores que incluem apenas os vivos)..

Com relação ao IVI a dominância participa com 36%, a densidade com 34% e a frequência com 30%. Apesar das diferenças entre as posições das espécies representadas ser bastante parecida com o observado com relação ao IVC, o implemento da frequência determina algumas alterações na posição das espécies, tal como eleva o número de espécies para compor a proporção do índice representado, diminuindo a participação relativa de cada espécie (desconsiderando-se as eventuais mudanças de posição).

no. espécies

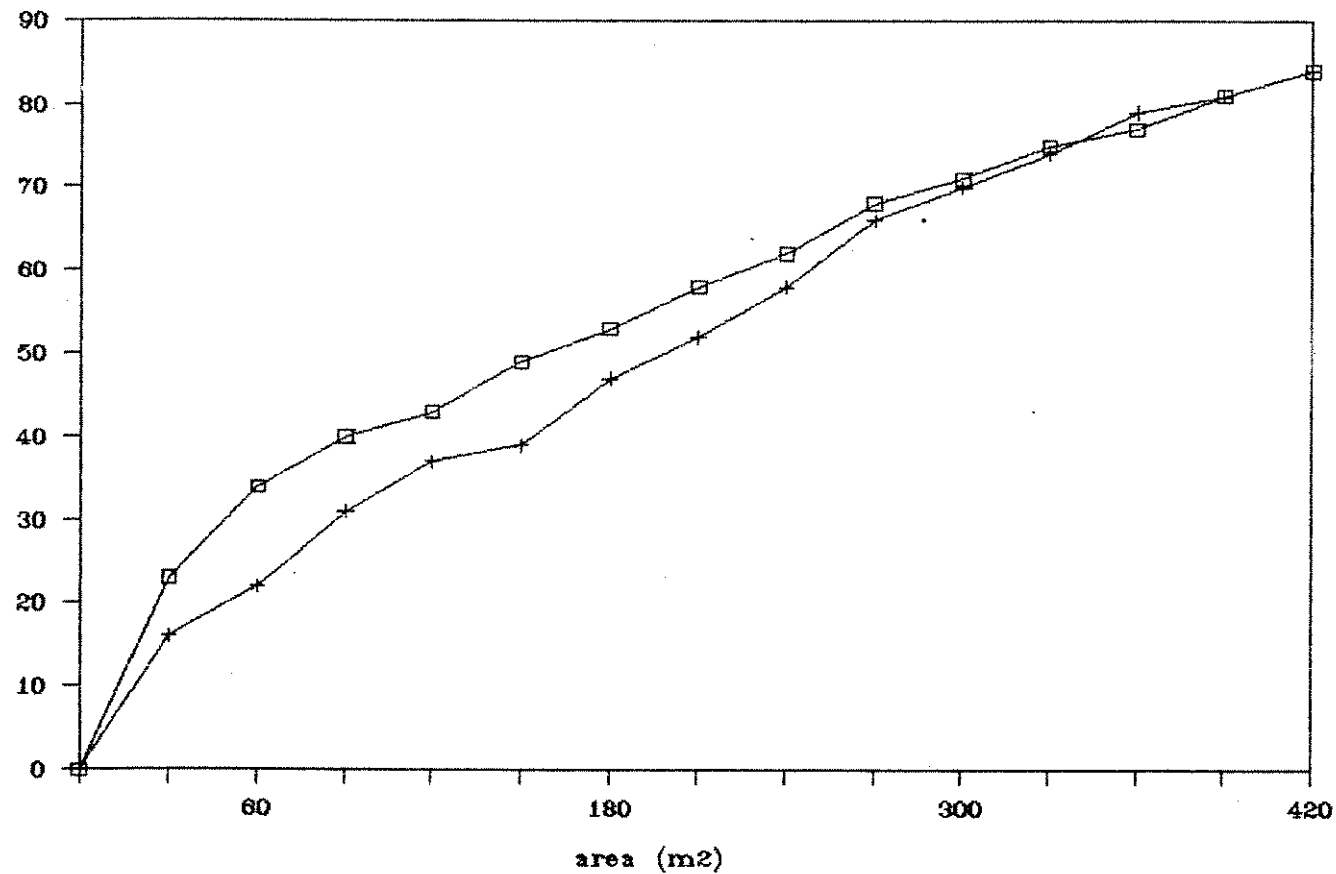


Figura 13. Curva da relação espécie/área para a vegetação arbórea da mata da Fazenda São Vicente. + curva real; □ curva estimativa.

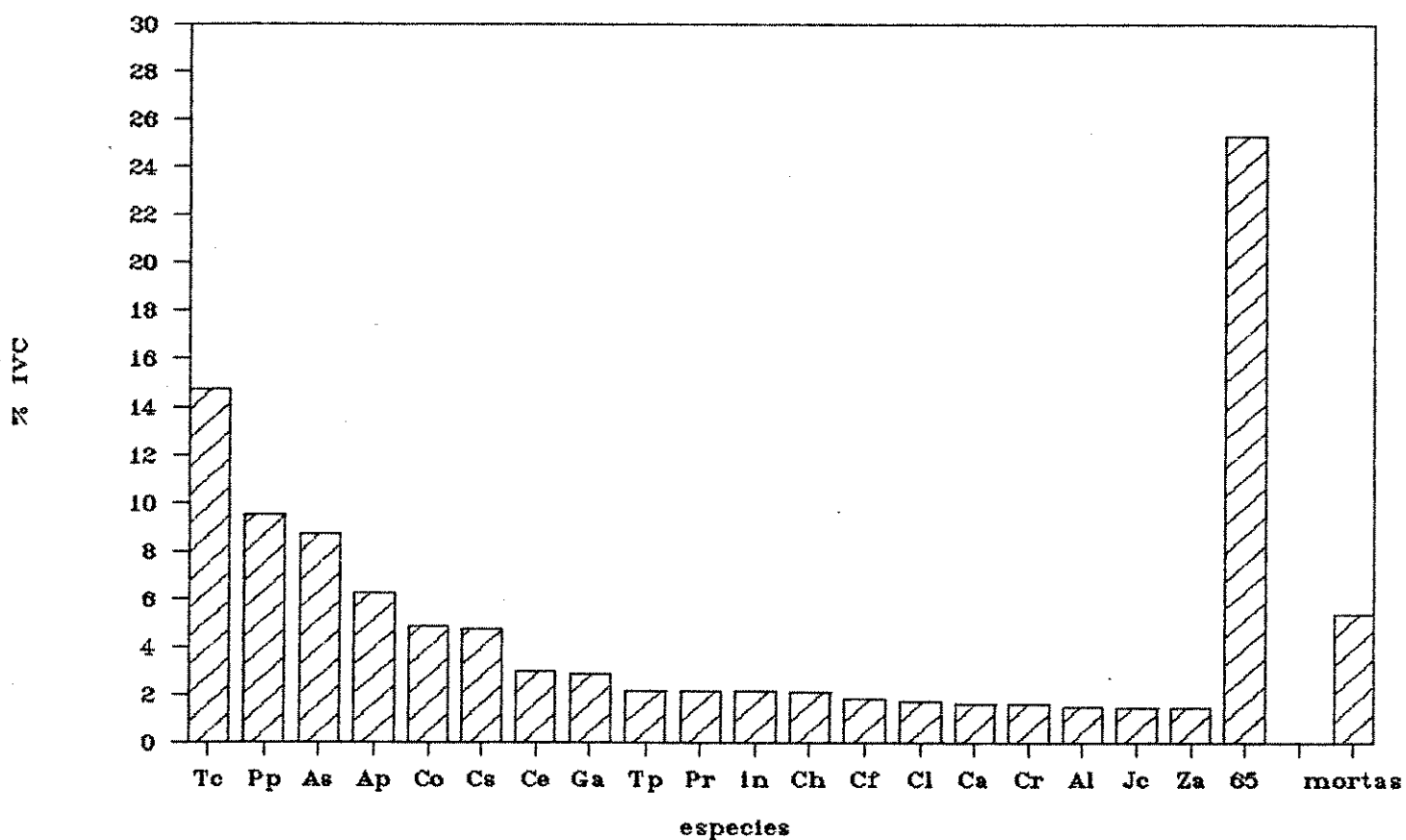


Figura 14. Espécies com os maiores IVC, somando 75% do valor total e proporção de IVC representado por indivíduos mortos e em pé, da vegetação arbórea da mata da Fazenda São Vicente. Tc *Trichilia clausseni*; Pp *Piptadenia gonoacantha*; As *Astronium graveolens*; Ap *Aspidosperma polyneuron*; Co *Chorisia speciosa*; Cs *Croton salutaris*; Ce *Centrolobium tomentosum*; Ga *Galipea multiflora*; Tp *Trichilia pallida*; Pr *Prockia crucis*; in indeterminada sp1; Ch *Chlorophora tinctoria*; Cf *Croton floribundus*; Cl *Calyptranthes lucida*; Ca *Casearia sylvestris*; Cr *Cariniana estrellensis*; Al *Alchornea glandulosa*; Jc *Jacaranda micrantha*; Za *Zanthoxylum minutiflorum*; 65 número de outras espécies que totalizam o IVC; mortas indivíduos mortos e em pé, que não entraram no cálculo do IVC total, mas, para os quais determinou-se a proporção que representam em relação às árvores vivas.

IVI

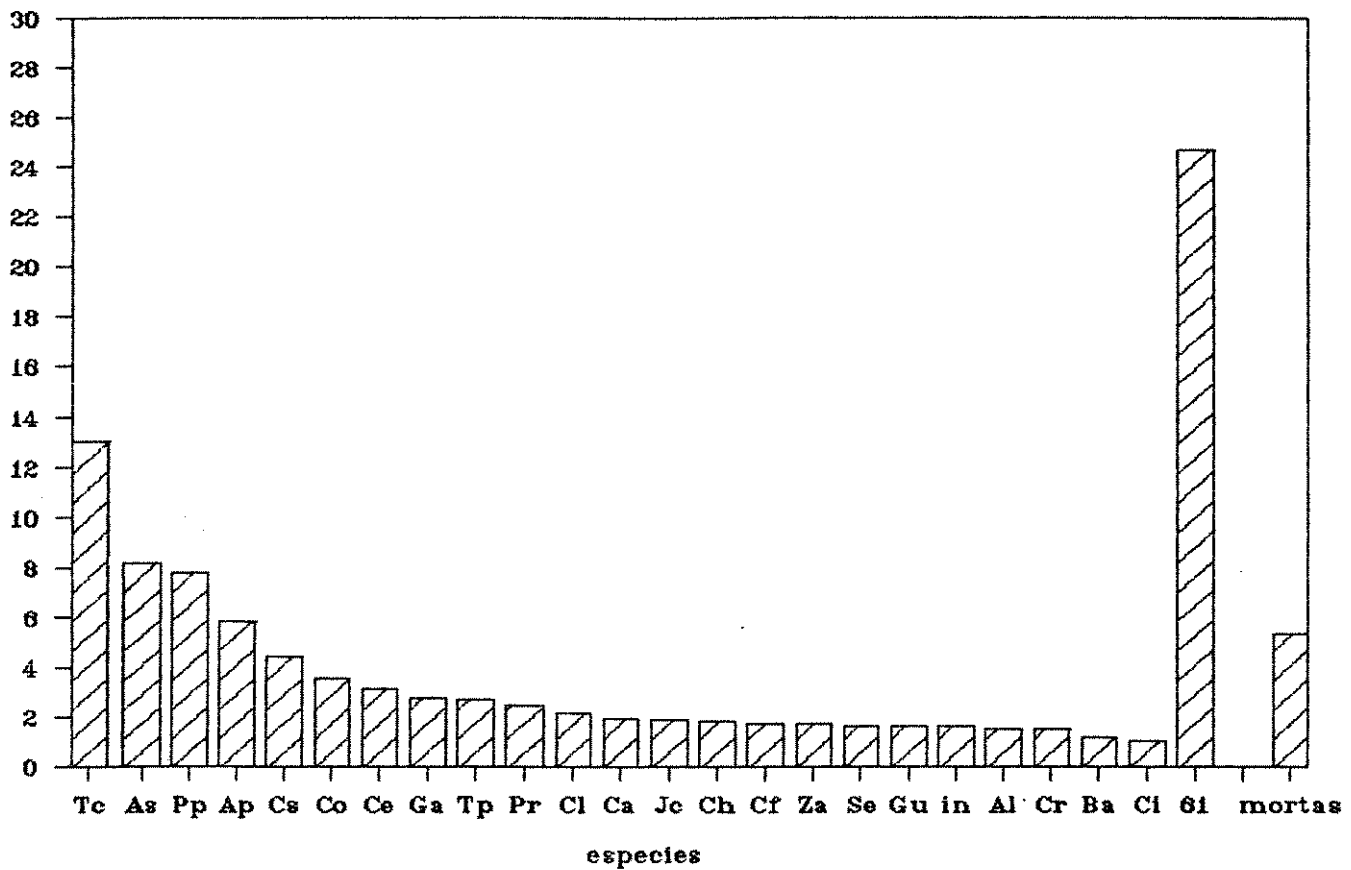


Figura 15. Espécies com os maiores IVI, somando 75% do valor total e proporção de IVI representado por indivíduos mortos e em pé, da vegetação arbórea da mata da Fazenda São Vicente. Tc Trichilia clausseni; As Astronium graveolens; Pp Piptadenia gonoacantha; Ap Aspidosperma polyneuron; Cs Croton salutaris; Co Chorisia speciosa; Ce Centrolobium tomentosum; Ga Galipea multiflora; Tp Trichilia pallida; Pr Prockia crucis; Cl Calyptranthes lucida; Ca Casearia sylvestris; Je Jacaranda micrantha; Ch Chlorophora tinctoria; Cf Croton floribundus; Za Zanthoxylum minutiflorum; Se Sequieria floribunda; Gu Guarea macrophylla; in indeterminada sp1; Al Alchornea glandulosa; Cr Cariniana estrellensis; Ba Bauhinia forficata; Cc Citronella congonha; 61 número de outras espécies que totalizam o IVC; mortas indivíduos mortos e em pé, que não entraram no cálculo do IVC total, mas, para os quais determinou-se a proporção que representam em relação às árvores vivas.

Assim, Piptadenia gonoacantha tem a posição invertida com Astronium graveolens (2^a. e 3^a. posições); Chorisia speciosa com Croton salutaris (5^a. e 6^a.); a espécie indeterminada "dicotiledônea sp1" passa da 11^a. à 19^a. posição; Chlorophora tinctoria da 12^a. à 14^a.; Croton floribundus da 13^a. à 15^a.; Calyptanthes lucida da 14^a. à 11^a.; Casearia sylvestris da 15^a. à 12^a.; Cariniana estrellensis da 16^a. à 21^a.; Alchornea glandulosa da 17^a. à 20^a.; Jacaranda micrantha da 18^a. à 13^a. e Zanthoxylum minutiflorum da 19^a. à 16^a. posição. As outras posições são ocupados por espécies não representados no IVC. Os indivíduos mortos representam 5,35% do IVI conjunto (incluindo vivos e mortos) e a sua participação relativa diminuiu menos do que se comparado com algumas das espécies.

Considerando-se que as espécies que totalizam 75% do IVC ou IVI são representativas para a comunidade, as espécies pioneiras (18,0%) representam um pouco menos que a porcentagem representada pelas secundárias tardias (22,2%) em relação ao IVC (as secundárias iniciais representam 56,9% e 2,9% correspondem a uma espécie não determinada). Em relação ao IVI a contribuição das pioneiras (15,6%) ainda não é muito menor do que a das secundárias tardias (22,7%), em relação ao que ambas são em relação às secundárias iniciais (54,4%)(2,137% correspondem àquela espécie não determinada).

Na amostragem total observam-se as mesmas relações entre as diferentes categorias de espécies, ocorrem apenas algumas diferenças nos valores (diferença média de 7,676 +- 0,315, que corresponde a 1,8% de diferença média em relação ao IVC e IVI totais).

No caso de utilizar-se as espécies que totalizam 75% dos valores de IVC e IVI, a porcentagem das secundárias iniciais foi ligeiramente superestimado, subestimando-se a porcentagem das secundárias tardias. No caso do IVC superestimou-se a contribuição das pioneiras e subestimou-se a daquelas não definidas, enquanto em relação ao IVI subestimou-se tanto pioneiras quanto não definidas.

Em relação às 10 espécies que mais contribuem com o IVC ou IVI a diferença média foi maior ($11,046 \pm 1,061$, que corresponde a 4,0% de diferença média em relação ao IVC e IVI totais), tendo-se, no geral, superestimado as secundárias iniciais e subestimado pioneiras e não determinadas.

A ordenação da porcentagem do número de indivíduos (em escala logarítmica) é apresentada na figura 16.

O número de indivíduos por classes de diâmetro à altura do peito está representado na tabela 3, para as 10 espécies mais abundantes e para os indivíduos mortos, com os respectivos valores de coeficiente de Gini ou G'da amostra e os respecitvos valores médios e erros padrão estimados. Assinala-se as diferenças não significativas, entre os valores de G (G'), exclusive em relação aos indivíduos mortos, para os quais os valores dos indíviduos vivos não foram comparados.

O menor valor de G (G') é devido a Galipea multiflora, seguido de Prockia crucis, Trichilia pallida (com valores não diferentes significativamente entre si) e Calyptanthes lucida (com valor não diferente significativamente de T. pallida). Seguem-nas, em valores crescentes, T. clausenii.

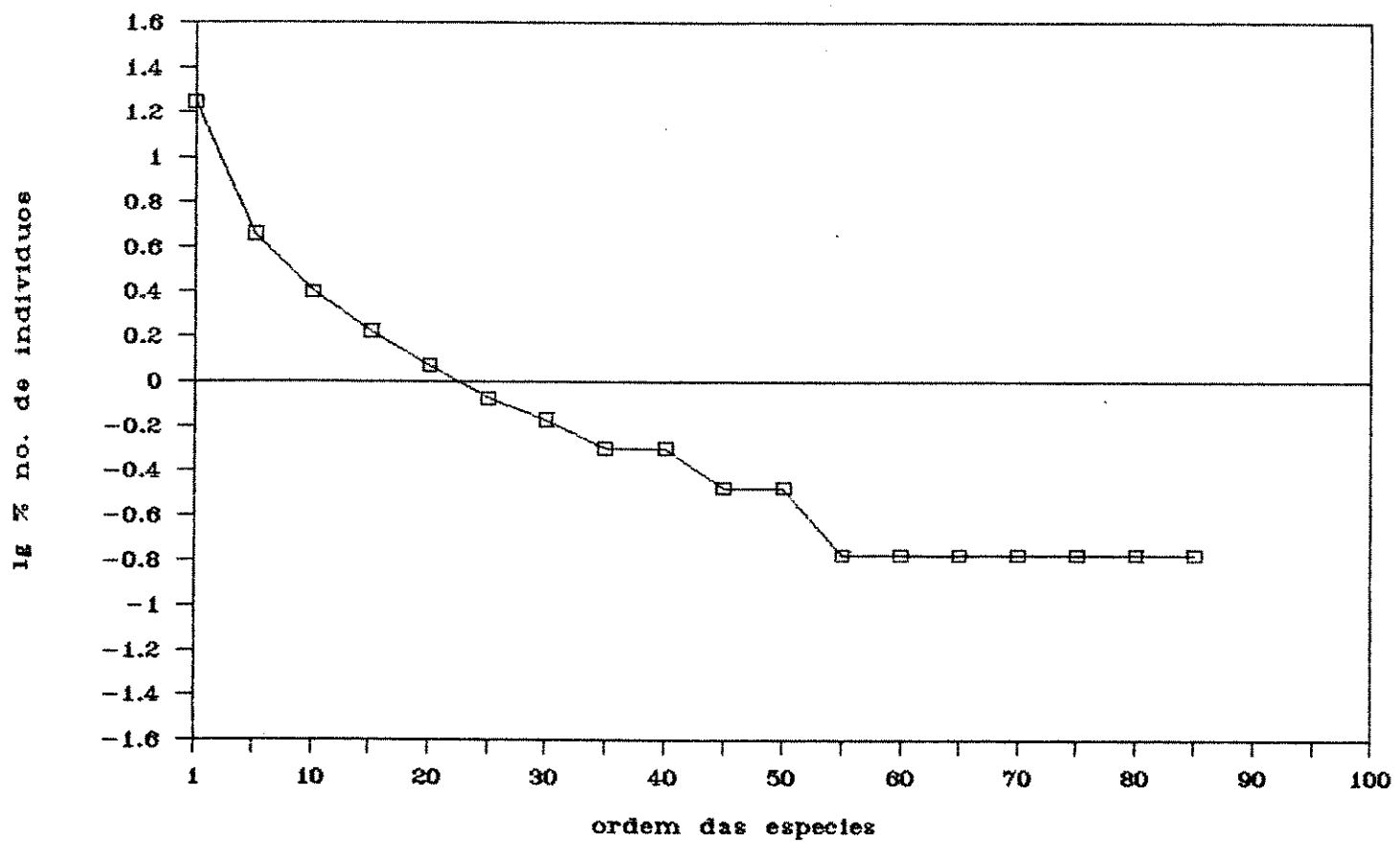


Figura 16. Ordenação do número de indivíduos ($\log_{10} \%$) por espécies levantadas na amostragem fitossociológica do componente arbóreo na mata da Fazenda São Vicente.

29

Tabela 3. Número de indivíduos (n), intervalo de classes (x), amplitude de variação de diâmetro à altura do peito (entre parênteses)(cm), coeficiente de Gini (G ou G') da amostra e, G' das 10 espécies mais abundantes e árvores mortas da vegetação arbórea da mata da Fazenda São Vicente. A mesma letra, depois do nome da espécie, indica diferença não significativa (as mortas não foram consideradas), em teste t ao nível de 5%. 10% da amostra.

Galipea multiflora a



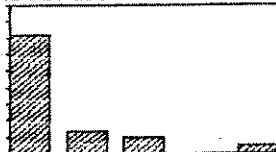
n = 29

$x = 1,2$
(4,8 a 12,1)

$$G' = 0,1447$$

$$[0,1393 \pm 6,0083 \times 10^{-4}]$$

Prockia crucis b



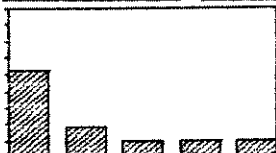
n = 21

$x = 2,7$
(4,9 a 18,5)

$$G' = 0,1911$$

$$[0,1869 \pm 1,3597 \times 10^{-3}]$$

Trichilia pallida b, c



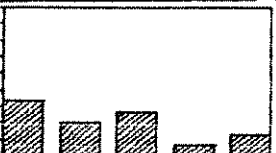
n = 21

$x = 2,0$
(4,8 a 14,6)

$$G' = 0,2096$$

$$[0,1962 \pm 8,5381 \times 10^{-4}]$$

Calyptrotheces lucida c



n = 15

$x = 2,5$
(5,1 a 17,7)

$$G' = 0,2245$$

$$[0,2086 \pm 1,1131 \times 10^{-3}]$$

Trichilia clausseni d



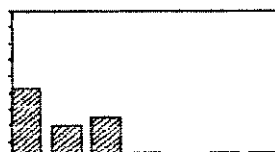
n = 106

$x = 3,7$
(4,8 a 34,4)

$$G' = 0,3120$$

$$[0,3086 \pm 5,0596 \times 10^{-4}]$$

Astronium graveolens e



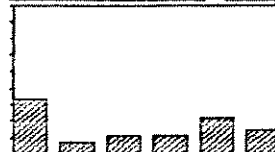
n = 52

$x = 5,5$
(4,8 a 43,0)

$$G' = 0,3467$$

$$[0,3395 \pm 9,2970 \times 10^{-4}]$$

Piptadenia sonorensis e



n = 27

$x = 7,8$
(4,9 a 51,8)

$$G' = 0,3477$$

$$[0,3408 \pm 1,3882 \times 10^{-3}]$$

Croton salutaris e



n = 23

$x = 5,9$
(5,4 a 40,6)

$$G' = 0,3593$$

$$[0,3445 \pm 1,0024 \times 10^{-3}]$$

Aspidosperma polystachyon e



n = 42

$x = 8,5$
(4,9 a 56,0)

$$G' = 0,3614$$

$$[0,3448 \pm 1,8973 \times 10^{-3}]$$

Centrolobium tomentosum f



n = 16

$x = 6,9$
(4,9 a 39,2)

$$G' = 0,4481$$

$$[0,4189 \pm 1,423 \times 10^{-3}]$$

árvores mortas



n = 38

$x = 4,6$
(4,9 a 32,8)

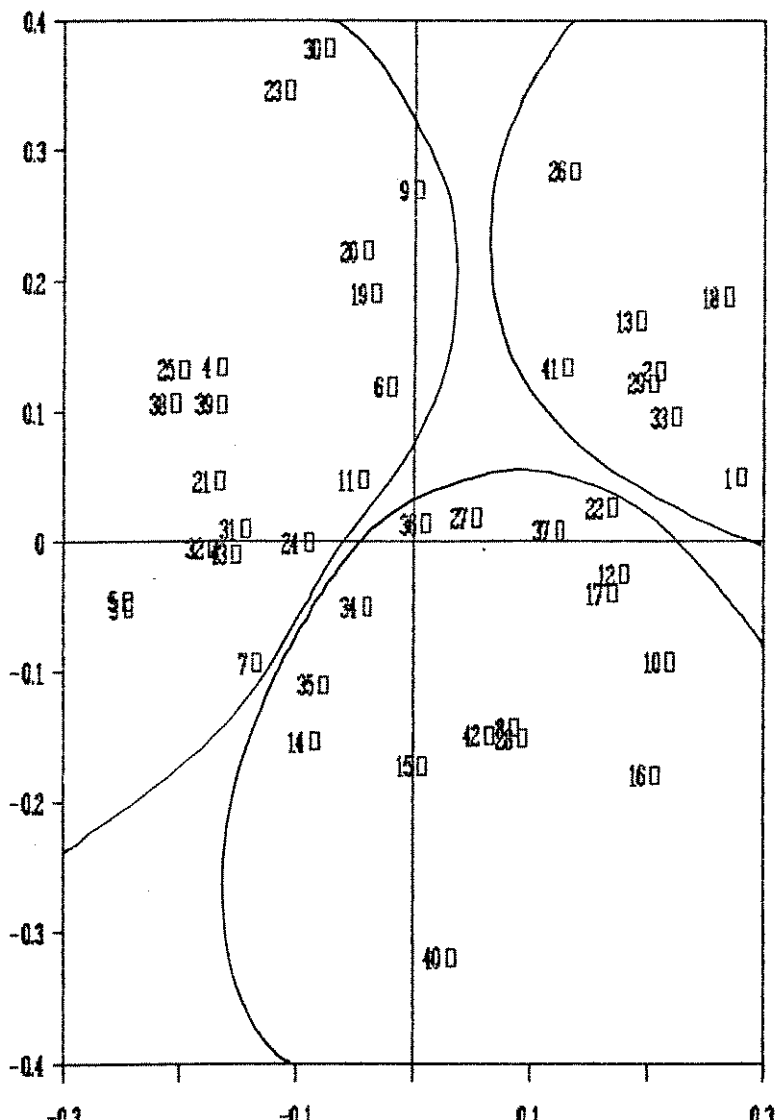
$$G' = 0,3172$$

$$[0,3084 \pm 7,4629 \times 10^{-4}]$$

Valores maiores de G (G') foram obtidos para Astronium graveolens, Piptadenia gonoacantha, Croton salutaris e Aspidosperma polyneuron, cujos valores não são significativamente diferentes. O maior valor foi obtido por Centrolobium tomentosum, isto é esta foi a espécie que apresentou maior desigualdade entre os tamanhos de seus indivíduos.

A porcentagem cumulativa dos dois principais autovetores, no PCA, considerando as espécies com pelo menos 2 indivíduos, foi de 19,4241%. A posição das espécies representando a sua influência na definição da posição das parcelas, ou seja atuando como autovetores, está representada na figura 17. A análise por componentes foi representada na figura 18, distinguindo-se três grupamentos, um formado pelas parcelas 1, 2, 3, 5, 8, 14, 15, 18, 22, 33, 34 e 36, outro pelas parcelas 6, 25, 35, 37, 38, 39, 40, 41 e 42, as outras parcelas constituíram o último grupamento.

Considerando-se apenas a categoria sucessional que a espécie representaria, a porcentagem cumulativa dos dois principais autovetores foi de 81% e distingue-se, mais ou menos bem, três grupamentos, bastante coincidentes com os da figura 17, estando as categorias sucessionais na figura 18 e as parcelas na 19. Um deles, incluindo as parcelas 1, 15, 37, 38, 39, 40 e 42, diferindo portanto do equivalente na figura 17, por incluir as parcelas 1 e 15 e excluir as parcelas 6, 25 e 35. Outro inclui as parcelas 4, 7, 9, 11, 12, 16, 17, 18, 19, 20, 21, 23, 24, 27, 28, 29, 30 e 31, diferindo do da figura 17 por incluir a parcela 18 e excluir as parcelas 10, 13, 26. O último grupo inclui as parcelas restantes, exceto a 10, que ficou à parte, mas seria possível reconhecer subgrupos neste último grupo, ou seja, um formado pelas parcelas 2, 3, 6, 8, 22, 25 e 35 e outro as parcelas 13, 14, 26, 32, 33 e 34.



- 1 Alchornea glandulosa
- 2 Allophylus edulis
- 3 Aspidosperma polyneuron
- 4 Aspidosperma ramiflorum
- 5 Astronium graveolens
- 6 Bauhinia forficata
- 7 Cabralea canjerana
- 8 Calyptranthes lucida
- 9 Calyptranthes grandiflora
- 10 Cariniana estrellensis
- 11 Casearia gossypiosperma
- 12 Casearia sylvestris
- 13 Centrolobium tomentosum
- 14 Chlorophora tinctoria
- 15 Chorisia speciosa
- 16 Citronela congonha
- 17 Croton floribundus
- 18 Croton salutaris
- 19 Cupania vernalis
- 20 Eugenia involucrata
- 21 Galipea multiflora
- 22 Guarea macrophylla
- 23 Guettarda urunguensis
- 24 Holocalyx balansae
- 25 Ixora venulosa
- 26 Jacaranda micrantha
- 27 Luehea divaricata
- 28 Maackia aquifolium
- 29 Mollinedia widgrenii
- 30 Mycroxylum peruferum
- 31 Ocotea aff. odorifera
- 32 Piptadenia gonoacantha
- 33 Prockia crucis
- 34 Rhamnidium elaeocarpum
- 35 Sebastiania edwaliana
- 36 Sequieria floribunda
- 37 Syagrus romanzoffiana
- 38 Sweetia fruticosa
- 39 Trichilia catigua
- 40 Trichilia clausenii
- 41 Trichilia pallida
- 42 Zanthoxylum minutiflorum
- 43 Rudgea jasminoides

Figura 16. Distribuição das espécies, com mais de 2 indivíduos, segundo autovetores por número de indivíduos. As linhas definem grupos de espécies com mesma tendência de distribuição.

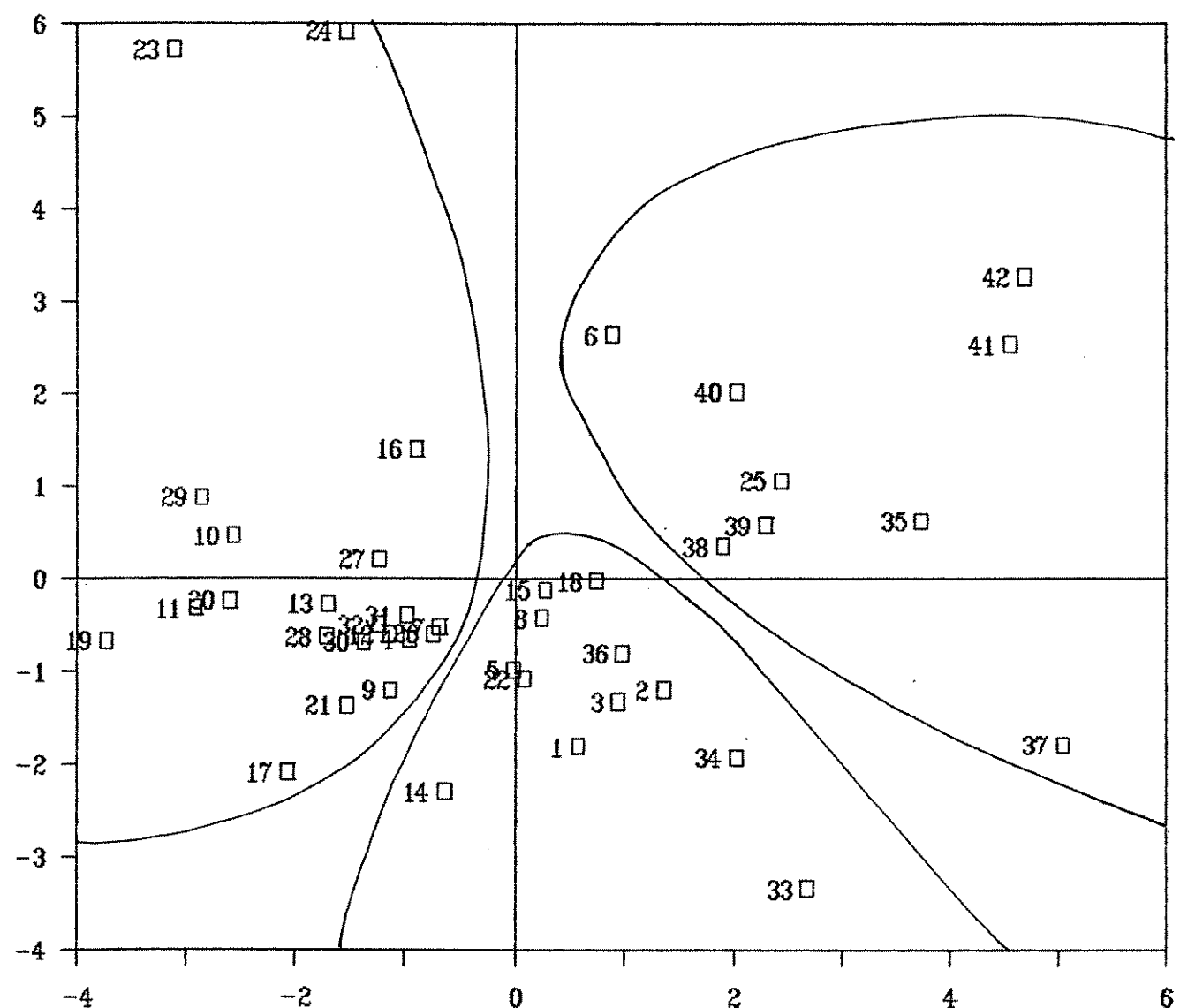


Figura 17. PCA das parcelas de estudo da vegetação arbórea da mata da Fazenda São Vicente, tendo como autovetores o número de indivíduos das espécies com mais do que 2 indivíduos. As linhas definem os grupamentos de parcelas.

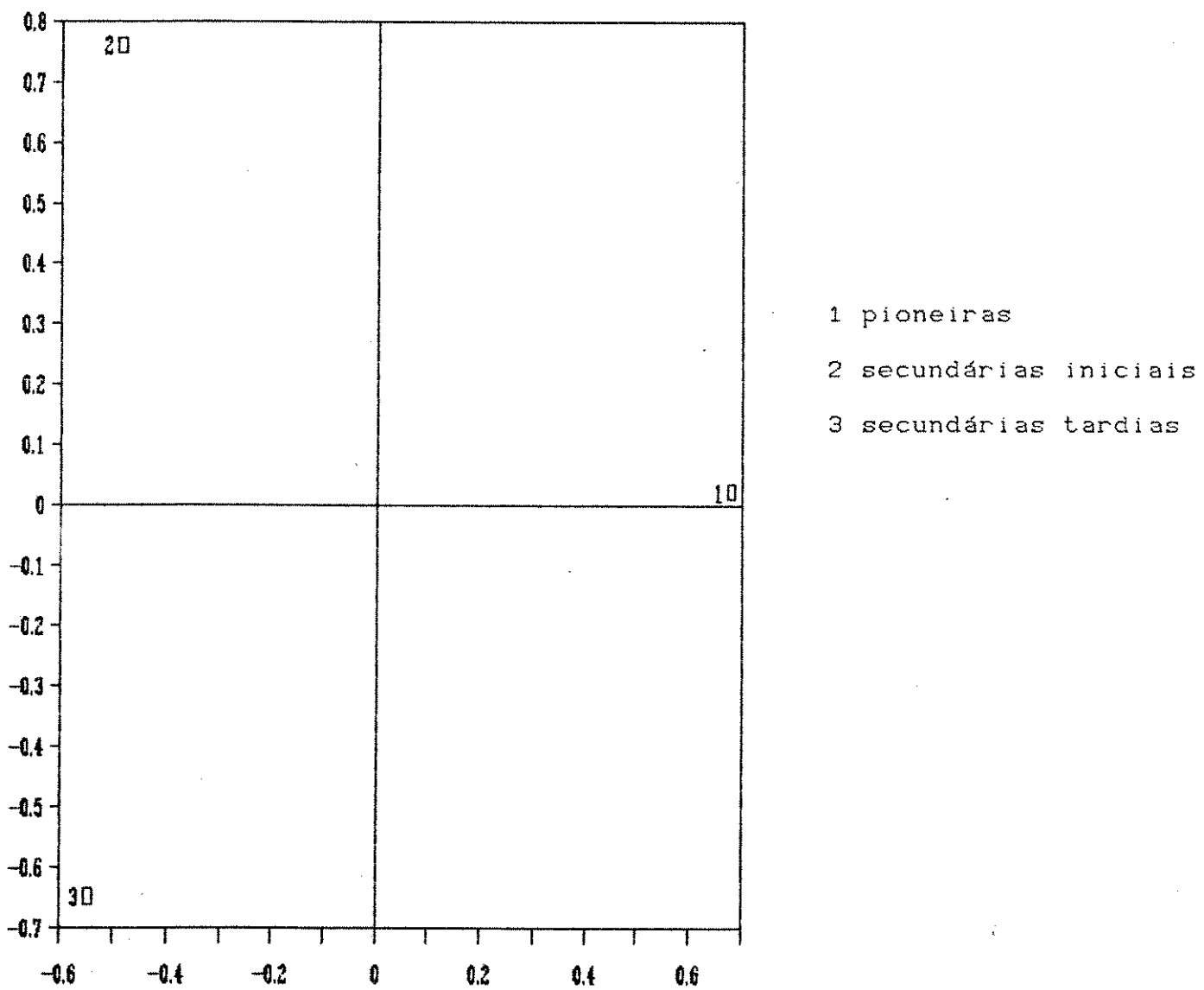


Figura 18. Distribuição das categorias sucessionais segundo autovetores por número de indivíduos, considerando-se as espécies com pelo menos 2 indivíduos, na mata da Fazenda São Vicente.

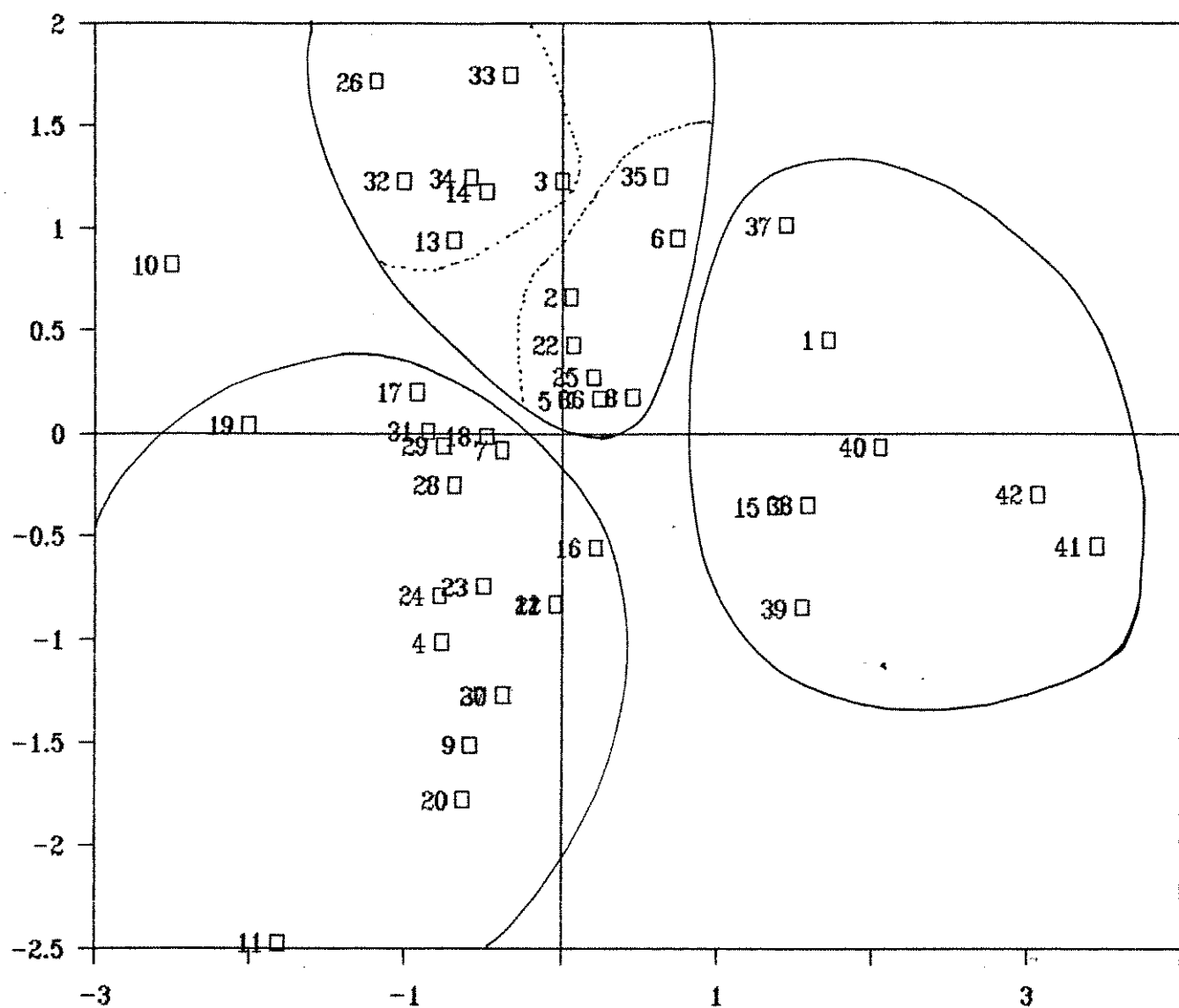


Figura 19. PCA das parcelas de estudo da vegetação arbórea da mata da Fazenda São Vicente, tendo como autovetores as categorias sucessionais por número de indivíduos. As linhas cheias definem os grupamentos e as pontilhadas subgrupos.

3. Solos

Através do exame dos resultados da análise de solo, realizadas pelo laboratório LAGRO, o Engº Agrº Ricardo Marque Coelho (comunicação pessoal), determinou os tipos de solos correspondentes:

- área A: Podzólico vermelho-amarelo, distrófico, Tb, A moderado, textura média/argiloso (cascalhenta?);
- área B: Cambissolo, distrófico, Tb, A moderado, textura média epi com cascalho;
- área C: Podzólico vermelho-amarelo, eutrófico, Tb, A moderado, textura média/argilosa;
- área D: Podzólico vermelho-amarelo, eutrófico, Tb, A moderado, textura média;
- área E : Podzólico vermelho-amarelo, eutrófico, Tb, A moderado, textura média/argilosa.

4. Luminosidade

As médias e erros padrões das medidas de luminosidade, dentro e fora da mata, nas estações seca e úmida estão apresentados abaixo:

<u>local :</u>	<u>dentro da mata</u>	<u>fora da mata</u>	:
<u>estação\:</u>			:
seca	$287,46 \times 10^{-5} \pm 38,95 \times 10^{-5}$	$7137,4 \times 10^{-5} \pm 589,83 \times 10^{-5}$:
úmida	$94,96 \times 10^{-5} \pm 24,66 \times 10^{-5}$	$5634,7 \times 10^{-5} \pm 255,59 \times 10^{-5}$:

Os valores de luminosidade obtidos dentro da mata são significativamente diferentes dos valores de fora da mata ($F_{seca}= 1061,40$ e $F_{úmida}= 2440,30 > F_{0,05[1, 120]}= 3,92 > F_{0,05[1, 168]}$).

A luminosidade fora da mata não difere significativamente, nas estações seca e úmida entre si ($F_S= 2,43 < F_{0,05[1, 8]}= 5,32$). No entanto, os valores de luminosidade obtidos dentro da mata na estação seca diferem significativamente dos valores de dentro da mata na estação úmida ($F_S= 8,90 > F_{0,05[1, 120]}$).

Não se obteve correlações entre a luminosidade e os parâmetros fitossociológicos.

As espécies, conforme a sua preferência por luminosidade, são apresentadas a seguir:

mais umbrófilas

- Ardisia guyanensis*
- Aspidosperma polyneurom*
- Ixora venulosa**3
- Myroxylum peruferum**3
- Oxalis rhombeo-ovata*
- Pavonia sepium*
- Picramnia ramiflora*
- Pseudechinolaena polystachya*
- Psychotria aff deflexa*
- Psychotria leiocarpa*
- Sequieria floribunda*
- Trichilia elegans*

intermediárias

Coffea arabica*1
Croton salutaris*3
Cupania vernalis

menos umbrófilas

Acalypha gracilis
Holocalyx balansae*2
Hybanthus atropurpureus
Maytenus aquifolium
Piper amalago
Piper loefgrenii
Polygala klotzschii
Psychotria hastisepala
Trichilia clausenii

Através do resultado do PCA (figuras 20 e 21), considerando-se os valores de cobertura por categoria, como apresentado acima, de preferência de luminosidade para as espécies, observam-se 3 grupamentos. Um, formado pelos grupos de parcela 9 e 5, onde predominam espécies da categoria mais umbrófilas, outro formado pelos grupos de parcelas 6, 8, 10, 12, 14 e 15, onde predominam espécies menos umbrófilas e o último, formado pelos grupos de parcelas 1, 2, 3, 4, 7, 13 e 16 com baixos valores de cobertura. O grupo de parcelas 11, onde predomina Coffea arabica, uma espécie intermediária, ficou isolado.

* a tendência foi determinada em função da cobertura e não do número de indivíduos:

- 1- em relação ao número de indivíduos seria considerada mais umbrófila;
- 2- em relação ao número de indivíduos seria considerada intermediária;
- 3- em relação ao número de indivíduos seria considerada menos umbrófila.

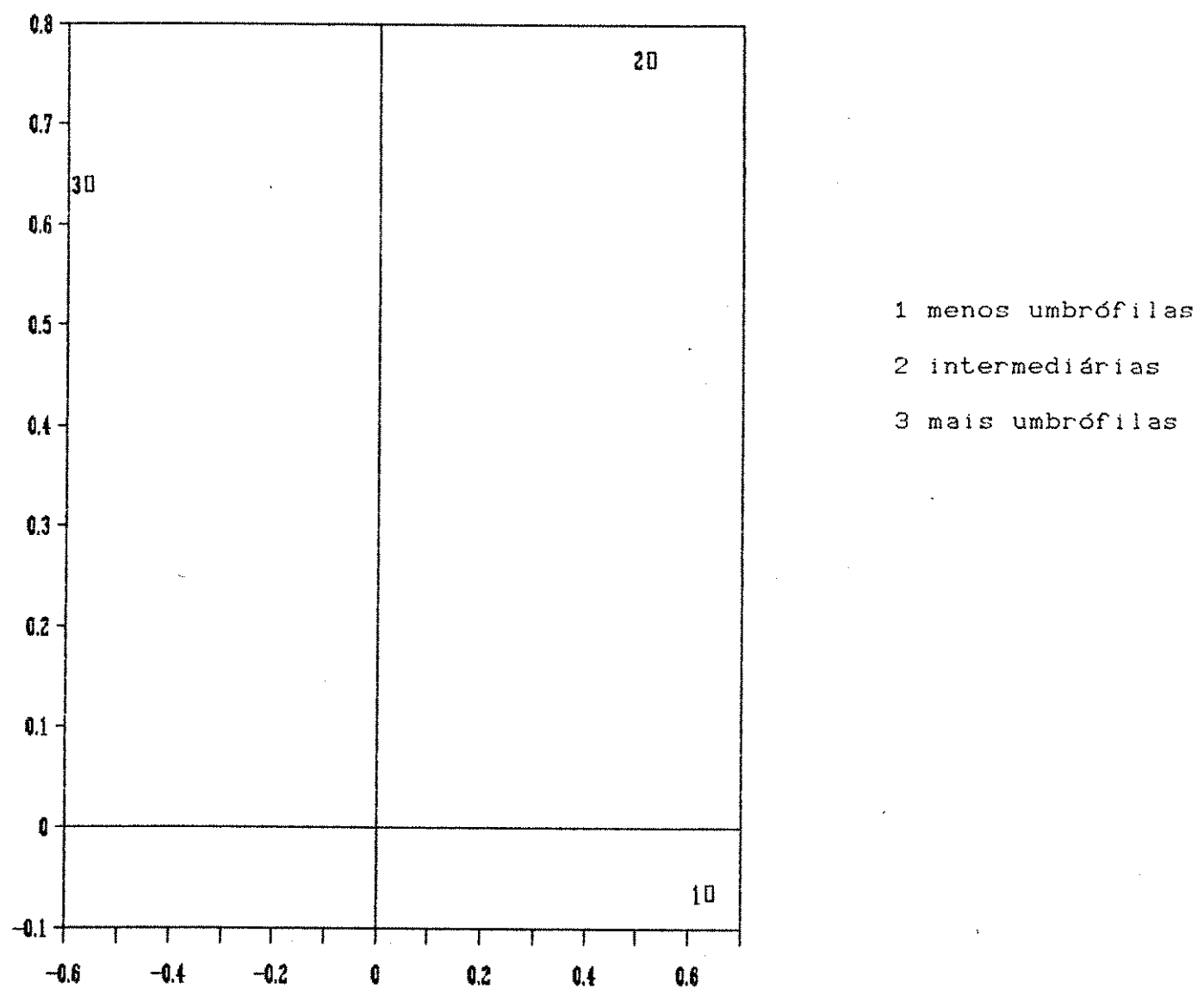


Figura 20. Distribuição das categorias de preferência por luminosidade segundo autovetores por valor de cobertura, considerando as espécies com pelo menos 10 indivíduos no componente herbáceo-arbustivo da mata da Fazenda São Vicente.

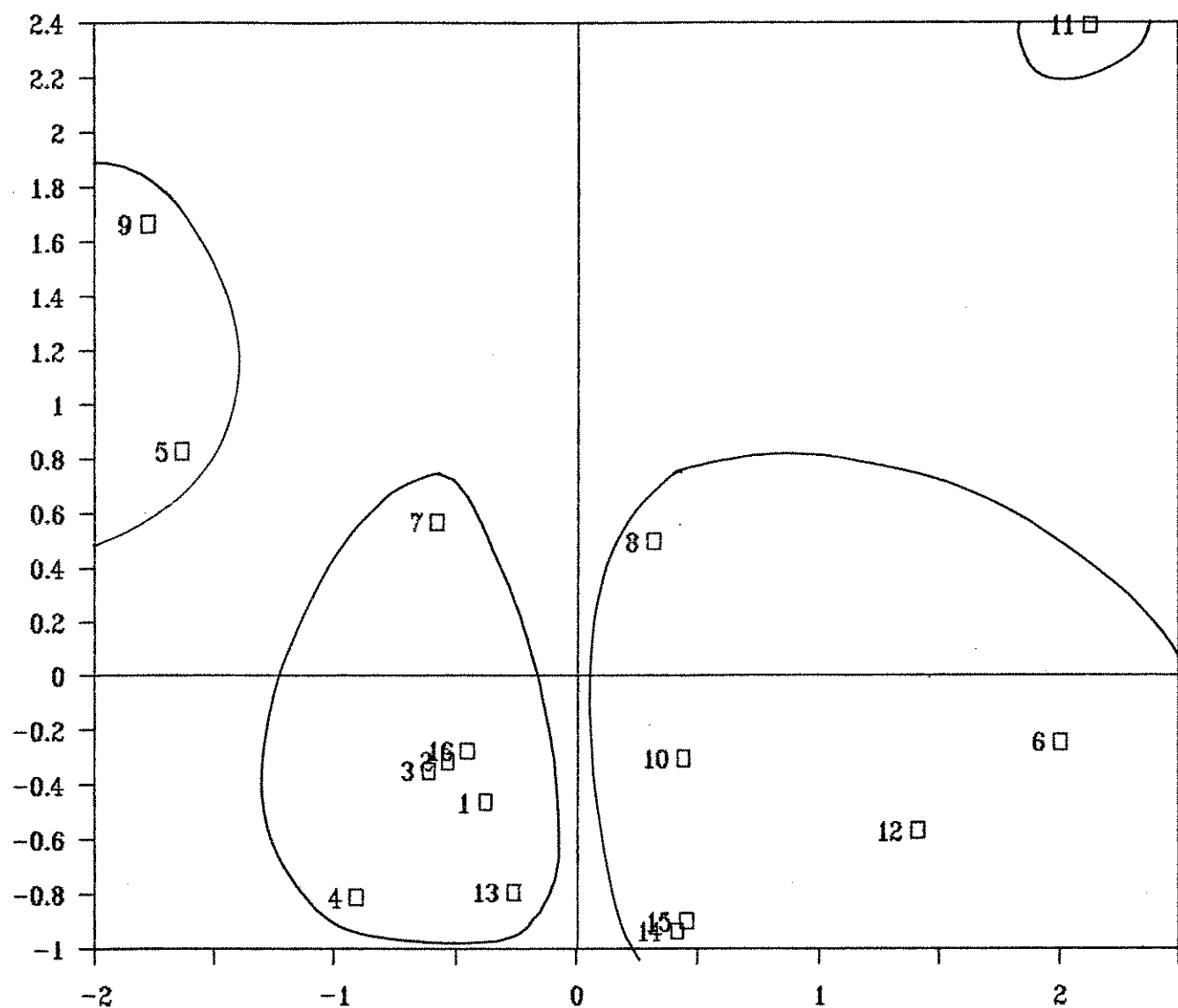


Figura 21. PCA das parcelas de estudo da vegetação herbáceo-arbustiva da mata da Fazenda São Vicente, tendo como autovetores valores de cobertura das categorias de preferência por luminosidade, considerando-se as espécies com pelo menos 10 indivíduos.

VI - DISCUSSÃO

1. Solo

Segundo RESENDE et al. (1988) os tipos Podzólicos pertencem à categoria dos solos com B textural, ou seja, apresentam uma grande diferença no teor de argila entre os horizontes A (mais arenoso) e B (mais argiloso). Os Cambissolos apresentam certo grau de evolução do horizonte B, porém não suficiente para alterar completamente minerais primários de fácil intemperização e não possuem acumulação suficiente de argila iluvial que permita classificá-los como solos com B textural.

Ainda segundo o mesmo autor, os tipos Podzólicos são bastante heterogêneos entre si e ocorrem em ambientes diversos. Tendem a ter menor perda por lixiviação e a sofrerem perdas mais drásticas com pequeno aumento da declividade.

Se forem eutróficos, possuem, em geral, razoáveis teores de minerais primários, fornecedores de nutrientes, facilmente intemperizáveis. No entanto, a reciclagem de nutrientes, em particular potássio e fósforo, faz com que as perdas destes elementos sejam acentuadas, por erosão. Os podzólicos eutróficos de textura média em relevo suave onulado (ou os de textura argilosa em relevo plano) apresentam características otimizadas.

Os Cambissolos também ocupam ambientes diversos e muitas vezes apresentam características morfológicas e mesmo químicas similares às dos Latossolos; deles diferem por apresentarem altos teores de silte em relação à argila e/ou maior proporção de minerais primários facilmente intemperizáveis.

Outros Cambissolos, aparentemente, resultariam da remoção acentuada de material do antigo Latossolo, formando-se a partir do antigo horizonte C subjacente, sendo que no silte encontra-se a caulinita (mineral que domina a fração argilosa no Latossolo) e por ocorrerem em terrenos acidentados é um sistema muito instável.

Os Cambissolos dos depósitos aluviais antigos, normalmente ocorrem sob relevo plano ou suave ondulado, mas com algum impedimento de drenagem, que dificulta a lixiviação e intemperização maiores. São geralmente eutróficos ou menos distróficos.

A característica A moderado indica que a transição do horizonte A ao B não é abrupta (Engº. Agrº. R.M. Coelho comunicação pessoal).

Textura média é aplicável aos solos barrentos (LEPSCH 1976); a barra (/) indica intermediariedade, a indicação de dúvida quanto ao caráter cascalhento do solo da área A deveu-se ao resultado da análise indicar cascalho apenas na profundidade de 40-60cm; na área B epi com cascalho indica a ocorrência de cascalho predominantemente próximo à superfície (Engº. Agrº. R.M. Coelho comunicação pessoal).

A atividade da argila é baixa (representada como Tb), ou seja, tem pouca capacidade de troca (Engº. Agrº. R.M. Coelho comunicação pessoal). A caulinita é um mineral 1:1, apresenta somente superfície externa, tendo baixa capacidade de troca (RESENDE et al. ibid) e possivelmente é o mineral mais importante dos solos analisados.

VERDADE (1956) afirma que os solos do Estado de São Paulo possuem, predominantemente, argilas do tipo caulinita, o que determina à matéria orgânica uma grande porcentagem da CTC nestes solos; a porcentagem da CTC devida à matéria orgânica é de 30 a 40% nos solos argilosos e, de 50 a 60% nos arenosos, provavelmente apresentando valores intermediários nos solos de textura média.

A matéria orgânica tem grande influência no solo, tanto nas suas propriedades físicas, químicas, físico-químicas e biológicas. Com relação às propriedades físicas a matéria orgânica tem influência na porosidade do solo, influenciando a estrutura, consistência, permeabilidade, retenção de água, aeração e temperatura, entre outras. Com relação às propriedades químicas e físico-químicas, além de influenciar a CTC, a matéria orgânica pode adsorver Ca, Mg, K e outros elementos, evitando a lavagem desses nutrientes (KIEHL 1979).

Além disto, a própria matéria orgânica é fonte de nutrientes, pois durante o processo de decomposição vários elementos vão sendo liberados, tornando-se disponíveis às plantas, particularmente N, P, K e S (JORGE 1972a).

Os solos eutróficos apresentam mais de 50% da capacidade de troca, a pH 7,0, representada por bases (como Ca, Mg, K e Na); enquanto os distróficos apresentam mais da metade de sua capacidade de troca de cátions saturada por alumínio e hidrogênio, sendo que o alumínio ocupa menos de 50% desta capacidade (RESENDE et al. ibid).

Para fins agrícolas delimitam-se valores de nutrientes dos solos para classificação, sendo frequente a divisão em classes de teores altos, médios e baixos, mas segundo RAIJ (1981) isto não é feito com critérios bem definidos.

Cate & Nelson (apud RAIJ ibid) sugerem um método simples, através de ensaios de campo e representação gráfica, que resulta na criação de duas classes de teores, com um grupo de solos para os quais haveria uma possibilidade grande de resposta ao nutriente em questão e outro grupo de solos com pequena possibilidade de resposta.

Segundo RAIJ (ibid) o critério acima serve como um primeira aproximação, mas para os casos de P e K exige-se mais refinamento.

Assim definem-se classes de teores muito baixos, que correspondem a uma faixa de 0 a 70% de produção relativa; teores baixos, 70 a 90%; teores médios, 90 a 100%. Para a classe de teores altos espera-se que a quantidade do nutriente no solo seja suficiente para a produção máxima. Utiliza-se o limite inferior, multiplicado por 2, da classe de teores altos para estabelecer o limite entre as classes de teores altos e muito altos.

As exigências nutricionais variam de espécie para espécie e, embora existam classes de teores definidas de modo geral para um Estado (SP e RS, RAIJ ibid), as classes de teores para as diferentes culturas são bastante variáveis.

Segundo GOLLEY et al. (1978), em "floresta tropical úmida" do Panamá, P e K foram os elementos que poderiam ser mais críticos, apesar de não serem, provavelmente, limitantes nas condições vigentes na ocasião. Isto parece ser uma regra geral, dada a preocupação na avaliação das quantidades destes nutrientes no solo.

Existem diferenças entre espécies vegetais, quanto ao aproveitamento do P no solo. Plantas com ciclo longo e sistemas radiculares mais desenvolvidos otimizam a utilização deste nutriente, aproveitando teores relativamente baixos. Outras características que podem favorecer o aproveitamento de fósforo são maior capacidade de absorção de cálcio e infecção por micorrizas (Mello et. al. 1984 apud SILVA 1990).

Segundo JORGE (1972b) à medida que as plantas absorvem o P solúvel ocorre dissolução do P ligado em formas menos disponíveis, vindo a equilibrar a parte retirada da fase líquida.

Segundo RESENDE et al. (*ibid*) a disponibilidade de água durante o ano todo, ou grande parte dele, permite a existência de "vegetação exuberante" em solos pobres, estando grande parte dos nutrientes ligados ao ciclo orgânico.

De acordo com GOLLEY et al. (*ibid*), onde a temperatura é ótima e há condições adequadas de umidade e nutrientes, uma "floresta tropical complexa e multiestratificada" pode se desenvolver e, o armazenamento de nutrientes essenciais, altas velocidades de queda de material para a serapilheira e sua decomposição, apesar de serem vantajosas para a comunidade, parecem ser consequências do meio e da produção primária, não sendo características selecionadas através de evolução. No entanto, se as condições são subótimas em relação ao nível de nutrientes, uma "floresta multiestratificada" pode desenvolver-se se houver espécies apropriadas e tempo suficiente (tais mecanismos podem incluir as ligações com micorrizas ou o movimento de nutrientes, das folhas ou ramos que morrem, para os tecidos mais ativos antes da queda para a serapilheira).

Stark (1971a apud GOLLEY et al. *ibid*) propôs uma hipótese de ciclagem direta de nutrientes, segundo a qual, nas areias pobres da Amazônia, os nutrientes seriam transportados da matéria orgânica por micorrizas, diretamente às raízes da planta, sem aparecer na solução do solo.

Os dados disponíveis, em relação aos solos para a mata da Fazenda São Vicente não permitem uma associação direta com os dados fitossociológicos. Deste modo não é possível responder se ocorrem ou não diferenças na estrutura e/ou composição da mata devido a características do solo. No entanto é evidente que a mata apresenta uma situação interessante para o estudo destas questões, já que ela ocorre em solos com características bem distintas entre si.

2. Luminosidade

O fato marcante em relação à luminosidade é que as medidas na estação úmida foram significativamente menores do que as obtidas na estação seca. É na estação seca que ocorre deciduidade em várias espécies arbóreas, particularmente naquelas do dossel, havendo a possibilidade de entrada de mais luz até os estratos inferiores.

A situação encontrada na mata da Fazenda São Vicente, possivelmente, deve ocorrer como regra nas matas mesófilas semidecíduas, já que a deciduidade de espécies, particularmente do dossel, é uma característica comum a estas matas.

Algumas considerações devem ser tecidas com relação à dificuldade em se obterem correlações dos valores de luminosidade e parâmetros fitossociológicos da vegetação herbáceo-arbustiva. Em qualquer das estações a entrada de luz não é uniforme, até mesmo para áreas pequenas, dentro da mata. Foram observadas, por exemplo, manchas mais iluminadas dentro de uma área como a de uma parcela (2x1m) e médias ao nível do solo maiores do que a 1m, em um mesmo grupo de parcelas.

Esta não uniformidade na distribuição da luz, formando um mosaico de intensidades luminosas, é provavelmente a causadora dos grandes valores dos erros padrão para as medidas, pois estas foram feitas em 5 pontos distintos, pré-determinados, para os grupos de parcelas (1 medida no centro de cada parcela e 1 no canto de contato de cada par de parcelas).

A não uniformidade na distribuição da luz também dificulta a obtenção de medidas que expressem o valor representativo para a área total do grupo de parcelas, já que o aparelho utilizado faz medições praticamente pontuais.

Como as lianas foram excluídas da amostragem fitossociológica e, a ocorrência e cobertura representada por elas não era igual em todas as parcelas, a não análise deste componente poderia significar a obtenção de resultados que não expressassem corretamente as relações existentes na vegetação.

As medidas foram feitas a 1m e ao nível do solo e podem não expressar a realidade para os indivíduos maiores, que apresentam a copa em alturas maiores.

É evidente, no entanto, a presença de áreas mais iluminadas e abertas dentro da mata. Foram observados grupos de parcelas onde a luminosidade, de uma estação para outra, apresentou diferenças muito maiores em relação a outros grupos de parcelas.

É possível que isto seja devido à distribuição dos indivíduos das várias espécies decíduas, que pode não ser homogênea pela mata. Por outro lado, já que as espécies pioneiras estabelecem-se em locais mais abertos e iluminados, a presença delas pressupõe a existência de clareiras dentro da mata. Da mesma forma as espécies pioneiras têm, em geral, folhagem mais esparsa possibilitando maior passagem de luz.

Pelos resultados obtidos não é muito clara a relação entre a posição sucessional que uma espécie representaria e a sua capacidade de exploração de ambientes com maior ou menor luminosidade dentro da mata, como determinado aqui. Por exemplo, para se considerar que as espécies menos umbrófilas representassem espécies com característica ecológica idêntica a das espécies arbóreas pioneiras; que as indiferentes à luminosidade seriam idênticas às secundárias iniciais e que as mais umbrófilas fossem idênticas às secundárias tardias teria-se que reconsiderar a posição de algumas espécies.

Isto é válido particularmente para Holocalyx balansae, que é considerada uma secundária tardia, mas os indivíduos jovens desta espécie tiveram preferência por locais mais iluminados na mata. Os indivíduos jovens de Picramnia ramiflora e de Sequieria floribunda, secundárias inicial, preferiram locais menos sombreados, os de Ixora venulosa, secundária tardia, e os de Croton salutaris, pioneira, foram indiferentes à luminosidade e os de Trichilia clausenii, secundária inicial, preferiram locais mais iluminados.

Os indivíduos jovens de Aspidosperma polyneuron e de Myroxylum peruferum, secundárias tardia, os de Cupania vernalis, secundária inicial e os de Maytenus aquifolium, pioneira, concordariam com aquelas considerações iniciais. Deste modo, as considerações anteriores devem ser levadas em conta e provavelmente possam ser responsáveis pelos desvios do padrão geral observado. De qualquer forma, o padrão geral associando o caráter decíduo das espécies do sossel na estação seca, com mais luminosidade no interior da floresta parece ser válido e tem evidentes implicações com a composição e estrutura da floresta.

A utilização do recurso luz é uma característica levada em conta para definir diferentes padrões de comportamento de espécies, tal como utilizado por GANDOLFI (ibid) na definição das categorias sucessionais das espécies. No entanto, na categoria de secundárias tardias são incluídas espécies que podem viver sob condição de sombreamento permanente, enquanto outras da mesma categoria sobreviveriam no subosque, mas cresceriam até atingir o dossel onde estariam livres do sombreamento provocado por outras espécies.

Whitmore & Bowen (1983 apud BAZZAZ 1991) observaram que Agathis macrophylla e A. robusta apresentaram diminuição da taxa de crescimento relativo para 30% sob sombreamento com 12% da luz total e que podem se estabelecer em pequenas clareiras.

O padrão de densidade de fluxo de fóton fotossinteticamente ativo e o espectro de distribuição da luz apresentam diferenças em relação a áreas abertas e o subosque de uma floresta tropical pluvial na Costa Rica (Chazdon & Featcher 1984a, b apud BAZZAZ ibid).

Diferentes tipos de plantas (C_4 , C_3 heliófitas e umbrófitas) apresentam diferentes pontos de saturação de fotossíntese e diferentes eficiências em relação às diferentes quantidades de radiação durante o dia (LARCHER ibid).

Ou seja, os padrões de exploração da luz são complexos, sendo que no interior de uma mata há diferenças quantitativas e qualitativas na luz e não existem muitas informações quantificando o desenvolvimento da espécie em relação à quantidade e muito menos em relação à qualidade de luz.

Com relação às espécies herbáceas e arbustivas há de se considerar que, praticamente, não foram observadas espécies invasoras dentro da mata, então, mesmo aquelas menos umbrófilas não seriam espécies características de estágios iniciais de sucessão secundária, sendo possivelmente características de estágios mais avançados da sucessão.

A cobertura parece ser uma medida mais adequada para a definição de preferência por luminosidade do que o número de indivíduos, já que o grau de desenvolvimento dos indivíduos implicaria em informações adicionais ao simples fato da presença destes. Contudo, seria conveniente o acompanhamento do desenvolvimento dos indivíduos e comparações por estações, já que poderia ocorrer crescimento diferenciado nas diferentes estações do ano, desde que ocorrem condições sensivelmente diferentes dentro da mata conforme a estação.

3. Fitossociologia e florística do estrato arbóreo

3.a. Similaridade

Para possibilitar interpretações dos resultados foram feitas comparações dos resultados florísticos e/ou fitossociológicos da vegetação arbórea da mata da Fazenda São Vicente com duas outras matas do Município de Campinas, a da Reserva Santa Genebra (Prof. Dr. George J. Shepherd & Prof. Jorge Y. Tamashiro, Depto. de Botânica/UNICAMP, comunicação pessoal) e a do Bosque dos Jequitibás (MATTHES et al. 1988).

Utilizou-se como índice de similaridade o índice de Sorensen:

$$ISs = 200a / (2a + b + c),$$

onde a é o número de espécies em comum às localidades, b e c é o número de espécies presentes em uma área e não na outra e vice-versa.

Além deste índice, para as comparações dos dados fitossociológicos, testou-se um outro índice, modificado do "simple matching coefficient" (Sokal & Michener 1958 apud DUNN & EVERITT 1982), resultando:

$$ISx = 100n_i / (N/2),$$

onde n_i é o número de indivíduos em comum da espécie i para uma determinada área, por ex. 1ha, entre as duas localidades comparadas, e N é o número total de indivíduos nas duas localidades, para aquela determinada área considerada.

As comparações para os dados fitossociológicos foram feitas com:

- o total de espécies da amostragem;
- as espécies com pelo menos 5 indivíduos;
- as espécies com pelo menos 10 indivíduos;
- as espécies que totalizaram 75% do IVC;
- as espécies que totalizaram 75% do IVI.

Não foram consideradas as espécies não identificadas e alguns nomes de espécies foram considerados sinônimos. Os resultados das comparações estão na tabela 4.

Em relação ao total da amostragem, as diferentes amostras de uma localidade (no caso as comparações envolveram apenas a Fazenda São Vicente) mostraram diferenças de similaridade muito menores em relação ao ISx (índice modificado do "simple matching coefficient") (ISx médio = $67,832 \pm 1,573$, que corresponde a 85,8% de similaridade média), do que em relação ao índice de Sorenson (ISs médio = $38,770 \pm 2,330$, que corresponde a uma similaridade média de 39,2%).

Tabela 4. Comparações florísticas e/ou fitossociológicas entre o componente arbóreo das formações florestais do Município de Campinas (Fazenda São Vicente, Bosque dos Jequitibás e Santa Genebra). t total da amostragem fitossociológica; >/ 5 e >/ 10 espécies com pelo menos 5 e 10 indivíduos amostrados, respectivamente; IVC e IVI espécies que totalizaram 75% do IVC e IVI, respectivamente; F levantamento florístico; ISs e ISx índice de similaridade de Sørensen e "simple matching coefficient" modificado, respectivamente.

Isto evidencia que, utilizando-se índices de similaridade que levam em conta apenas a presença/ausência, a ausência de espécies, quaisquer, em uma amostra, causa uma diminuição muito grande nos valores dos índices. Por outro lado, se for considerada a proporção de cada espécie na comunidade (no caso o ISx utiliza o número de indivíduos) a ausência das espécies pouco representativas interfere muito menos nos valores de semelhança. As amostras parciais da amostragem total da mata da Fazenda São Vicente representam em média $60,118 \pm 1,954$, que correspondem a 75,2% dos indivíduos em média, mas apenas $29,670 \pm 2,054$, que correspondem a 24,5% das espécies em média.

Mesmo quando comparam-se amostras não exatamente proporcionais entre distintas localidades, o ISx mostrou-se menos variável, inclusive apresentando pouca diferença de valor entre comparações de amostragens parciais e a comparação com a amostragem total.

Assim, mesmo eventuais problemas de uma amostragem de vegetação, ou seja, amostragens não muito extensivas, podem não representar muito efeito na determinação de semelhança desta amostragem em relação a outras, utilizando-se o ISx, desde que a amostragem não seja viciada, já que o ISx mostrou diferenças pequenas em relação à utilização de várias amostras parciais, tal como destas em relação a amostragem total.

Considerando-se, então, o ISx, há, entre as três formações comparadas mais de 1/3 de semelhança, sendo que há maior similaridade entre as matas da Fazenda São Vicente e da Reserva Santa Genebra (ISx = $42,981 \pm 0,179$, que corresponde a 46,5% de similaridade, em média).

O Bosque dos Jequitibás apresentou, em média, ISx = $36,254 \pm 0,352$, que corresponde a 34,9% de similaridade, em relação à Fazenda São Vicente e ISx = $38,612 \pm 0,574$, que corresponde a 38,9% de similaridade, em relação à Reserva Santa Genebra.

Nas comparações a nível de levantamento florístico, por ser possível levar-se em conta apenas a presença ou ausência de espécies, as variações nos valores de semelhança devem ser maiores, em razão do que já foi discutido (grande efeito resultante da não amostragem de espécies, mesmo que estas apresentem pequena contribuição na formação).

Além disto, não existem parâmetros muito bons para determinar-se quão representativa é uma determinada amostragem florística. Poder-se-ia fazer coletas durante um determinado ano em várias áreas da formação e durante o ano seguinte coletar nas mesmas áreas e em outras ainda não coletadas e determinar o implemento de novas espécies em relação às já coletadas e locais de coleta. No entanto, as espécies que não estiverem floridas ou de floração efêmera ou pouco aparente, são mais difíceis de serem percebidas e podem não ser coletadas.

Em relação aos levantamentos fitossociológicos estes problemas não existem, já que se amostram todos os indivíduos (ou praticamente), dentro de um determinado critério, de uma área determinada, determinando-se a suficiência de amostragem em função do implemento da área, o que se reflete no esforço de coleta.

Devido à ausência de dados, foi possível realizar comparação de similaridade através de levantamentos florísticos apenas entre duas das áreas.

Deve-se considerar que matas com composição florística parecida podem apresentar valores de contribuição (para abundância, dominância e frequência) distintos, indicando, provavelmente, situações ecológicas distintas. Isto não pode ser avaliado simplesmente pela presença ou ausência de espécies. Considerando-se um valor de contribuição (por exemplo número de indivíduos, no caso do ISx) pode-se estar mais próximo de constatar particularidades ecológicas comuns.

O índice modificado (ISx) do "simple matching coefficient" não apresenta grandes dificuldades de cálculo (a partir de dados fitossociológicos) e como apresenta pequeno coeficiente de variação (> do que 5%) é possível utilizar-se proporções da amostra, tal como as espécies que totalizam 75% do IVI, o que diminui ainda mais os cálculos.

A utilização da proporção de 75% do IVC ou IVI apresenta grandes vantagens, tal como, é pequeno o número de espécies necessárias para atingir a proporção tornando fácil a apresentação das mesmas e houve poucas diferenças, em relação ao total da amostragem, na caracterização da mata, por exemplo, quanto a característica sucessional. Neste último aspecto a proporção considerada foi mais fidedigna que a utilização das 10 espécies com os maiores valores.

O número de espécies com pelo menos 5 ou 10 indivíduos pode variar muito entre locais diferentes, dependendo da área amostrada. Assim, seria interessante referir-se a espécies com pelo menos 5 ou 10 indivíduos para uma dada área, tal como 1ha.

Para as espécies que totalizaram 75% do IVC nas três formações estudadas do Município de Campinas e, que são comuns às 3 formações, o número mínimo, médio e máximo de indivíduos/ha (no caso da Fazenda São Vicente o número é estimado) encontrado foi de:

espécie	<u>número de indivíduos/ha :</u>			
	\:	mínimo	médio	máximo
<u>Trichilia claussenii</u>	:	231	259	294
<u>Aspidosperma polyneuron</u>	:	15	111	217
<u>Piptadenia gonoacantha</u>	:	10	37	64
<u>Astronium graveolens</u>	:	7	66	124
<u>Cariniana estrellensis</u>	:	6	10	17
<u>Chorisia speciosa</u>	:	4	7	9

Apenas três apresentam pelo menos 10 indivíduos/ha em todas as formações, sendo que T. claussenii é notadamente a mais abundante com pelo menos mais do que 200 indivíduos/ha.

Outras espécies características, que tem pelo menos 5 indivíduos/ha foram:

espécie	<u>número de indivíduos/ha :</u>		
	\: mínimo	: médio	: máximo
<u>Holocalyx balansae</u>	:	7	8
<u>Zanthoxylum minutiflorum</u>	:	7	17
<u>Galipea multiflora</u>	:	6	35
			69

Além destas, outras 18 espécies (Croton salutaris, Centrolobium tomentosum, Trichilia pallida, Casearia sylvestris, Jacaranda micrantha, Chlorophora tinctoria, Croton floribundus, Cupania vernalis, Sequieria floribunda, Sweetia fruticosa, Luehea divaricata, Syagrus romanzoffiana, Rhamnidium elaeocarpum, Casearia gossypiosperma, Allophylus edulis, Myroxylon peruiferum, Myrcia rostrata e, Ocotea puberula, por ordem de IVI, na mata da Fazenda São Vicente) foram amostradas no levantamento fitossociológico da mata da Fazenda São Vicente, ocorrendo nas três localidades, sendo que Luehea divaricata, no Bosque dos Jequitibás, foi observada apenas através do levantamento florístico.

Outras 11 espécies, não foram amostradas no levantamento fitossociológico da Fazenda São Vicente, mas o foram no levantamento florístico e, ocorreram nas três áreas do Município de Campinas. As assinaladas com asterisco (*) só foram amostradas através do levantamento florístico, também, no Bosque dos Jequitibás. Em ordem alfabética as espécies seriam: Acacia polyphylla, Actinostemon communis*, Aegiphyla sellowiana, Chrysophyllum gonocarpum, Coutarea hexandra, Guapira opposita, Machaerium villosum, Savia dictyocarpa*, Trema micrantha*, Urera baccifera e Xylopia brasiliensis.

Outras 71 espécies foram amostradas em pelo menos 2 das áreas, sendo que 38 delas foram amostradas nas matas da Fazenda São Vicente e do Bosque dos Jequitibás (19 nos levantamentos fitossociológicos, 13 no levantamento fitossociológico do Bosque e no florístico da Fazenda São Vicente, 5 nos levantamentos florísticos e 1 no levantamento fitossociológico da Fazenda São Vicente e florístico do Bosque); 23 foram amostradas na Reserva Santa Genebra e no Bosque (5 amostradas apenas através do levantamento florístico) e; 10 na Reserva Santa Genebra e Fazenda São Vicente (4 apenas através do levantamento florístico).

Há de se destacar o elevado número de espécies pouco abundantes, nas três áreas. As espécies que apresentaram mais de 1% do número de indivíduos foram apenas 23, na Fazenda São Vicente, 18, no Bosque e, 17, na Santa Genebra. As espécies que apresentaram menos que 0,1% do número de indivíduos foram 48, no Bosque, 31, na Fazenda São Vicente e 22 na Santa Genebra. Assim, é provável que essas espécies que ocorreram em ao menos 2 das localidades também ocorressem na terceira (exceto para o Bosque, onde foi feito um inventário). Por outro lado, evidencia que as comparações de similaridade, entre estas matas, que não levam em conta o número de indivíduos, podem levar a distorções nos resultados, particularmente se as amostragens forem pequenas.

O número mínimo de indivíduos/ha foi de 761, o médio 1215 e o máximo 1465, considerando-se as três formações estudadas. Nas matas da Fazenda São Vicente e da Reserva Santa Genebra a densidade é aproximadamente o dobro da densidade na mata do Bosque dos Jequitibás.

3.b. Diversidade

3.b.i. Medidas de diversidade

Com relação à "curva do componente dominância da diversidade", para o componente arbóreo, observa-se que apresenta o padrão "broken-stick" de MacArthur (1957 apud ODUM ibid).

Comparando-se esta curva com outras de mesmo padrão apresentadas por Hubbell (1979 apud ODUM ibid), a contribuição das espécies mais abundantes é maior na mata da Fazenda São Vicente do que para uma "Floresta Tropical Seca" em Guanacaste (Costa Rica) e para uma "Floresta Tropical Úmida" de Manaus. A partir da 30^a. espécie até a 50^a. a curva torna-se praticamente coincidente com aquela para a Costa Rica e, a partir daí, tem um achatamento numa posição mais elevada inclusive que aquela para Manaus.

"Para um dado número de espécies, quanto mais alta e achatada a curva, maior a diversidade em termos gerais.... O estresse, seja natural... ou antropogênico..., tende a tornar mais inclinadas as curvas, de modo que a curva... pode ser usada para se avaliar o efeito das perturbações sobre a estrutura de espécies." (ODUN ibid).

A inclinação no início da curva pode, então, estar indicando a presença de perturbações na mata da Fazenda São Vicente.

Foram feitas comparações através de índices de diversidade, entre as matas da Fazenda São Vicente, da Reserva Santa Genebra e do Bosque dos Jequitibás.

Entretanto a utilização de H' requereria, segundo Hutcheson (1970 apud BROWER & ZAR ibid), os seguintes cálculos estatísticos:

- variância, $s^2 = ([f_i \log f_i]^2] - [(f_i \log f_i)^2/n])/n^2$, para o H' , em cada localidade;
- valor a ser testado em tabela, $t = (H'_1 - H'_2)/\sqrt{s^2_1 + s^2_2}$ e;
- graus de liberdade, $DF = (s^2_1 + s^2_2)^2 / [(s^2_1/n_1) + (s^2_2/n_2)]$.

Onde f_i é a frequência da espécie i , n é o número total de indivíduos das 2 localidades, t é o valor a ser testado em tabela de "t" de Student, H'_1 e H'_2 são os valores de H' para cada localidade e, s^2_1 e s^2_2 as suas respectivas variâncias e, n_1 e n_2 os respectivos números de indivíduos.

Além da realização de cálculos trabalhosos, tal procedimento tornou-se inviável, devido a ausência de dados de frequência para as espécies do Bosque dos Jequitibás.

Por outro lado, segundo BROWER & ZAR (ibid), pode se comparar por simples inspeção o índice de diversidade H de Brillouin (1962), determinado como:

$H = (\log N! - \sum \log n_i!)/N$, onde n_i é o número de indivíduos da espécie i e N o número total de indivíduos.

Os valores de H para as localidades comparadas foram:

mata	:	H
Fazenda São Vicente	:	2,5637
Reserva Santa Genebra	:	3,0194
Bosque dos Jequitibás	:	3,6026

Observa-se, então que, com relação ao índice H , entre as três matas, a da Fazenda São Vicente apresenta a menor diversidade, seguida pela da Reserva Santa Genebra; a maior diversidade cabe à mata do Bosque dos Jequitibás.

Neste aspecto também há concordância com outros parâmetros, que indicaram maior similaridade entre as matas da Fazenda São Vicente e Reserva Santa Genebra.

Apesar da diversidade no Bosque dos Jequitibás [$H'(ln) = 3,71$], ser relativamente alta, assim mesmo a mata é referida como uma "floresta com fortes pertubações antrópicas no estrato inferior, tendo ocorrido abate seletivo de árvores dos demais estratos", evidências devidas "tanto à distribuição de alturas como à de diâmetros" (MATTHES et al. ibid).

Segundo estes autores, através da comparação do índice H' de várias florestas brasileiras a partir de dados apresentados por Martins (1979 e 1982), a diversidade das "florestas do interior paulista" [$H'(ln)$ entre 3,16 e 3,71] é grande, comparável com a de "florestas amazônicas não inundáveis" [$H'(ln)$ entre 3,58 e 4,76] e de "florestas atlânticas" [$H'(ln)$ entre 2,20 e 4,07].

Não foi objetivo realizar comparações entre a mata da Fazenda São Vicente, com relação ao componente arbóreo, e outras formações fora do Município de Campinas mas, se assim fosse, para as comparações através do índice H' , seria necessário dispor-se de dados de frequência por espécie, que normalmente só não apresentados quando se apresentam os dados completos dos levantamentos. Dispondo-se do número de indivíduos por espécie, seria mais prático calcular-se o índice H .

Para possibilitar comparações estatísticas dos valores de H' de áreas diferentes, evitando a necessidade da apresentação desses numerosos dados, bastaria apresentar o valor de H' , seguido do valor do seu erro padrão e do número de indivíduos amostrados.

Como o erro padrão é calculado a partir da variância (ou desvio padrão) e esta é determinada através da frequência, quando esta não for determinada, seria melhor a apresentação do índice H .

Os índices H e H' não parecem ser inteiramente equivalentes, pois o valor de H'(ln) para a Reserva Santa Genebra foi de 3,131, que no teste estatístico poderia evidenciar diferença significativa ou não com relação ao valor encontrado para a Fazenda São Vicente [H'(ln) = 3,530]. Se a diferença fosse significativa, indicaria que o valor de H' na Reserva Santa Genebra seria menor que o da Fazenda São Vicente. No entanto, isto não é o que se observa em relação ao índice H.

Apesar da grande semelhança florística e fitossociológica, entre as três matas do Município de Campinas, existem algumas diferenças consideráveis, entre elas. Em relação à mata da Fazenda São Vicente, por exemplo, entre as espécies que totalizaram 75% do IVC (* ou IVI), Prockia crucis, Calyptranthes lucida, Guarea macrophylla e Citronella megaphylla* (existe uma espécie, não identificada, do gênero, no Bosque dos Jequitibás), não ocorreram nas outras formações.

Além destas, podem ser consideradas particularidades da mata da Fazenda São Vicente Stylogyne ambigua, que é uma árvore pequena e não teve muitos indivíduos amostrados na fitossociologia, mas é relativamente abundante, Simira sp, que é uma espécie conhecida de poucas áreas e cuja identificação ainda não está definida (Prof. Maria Regina V. Barbosa, UFPB, comunicação pessoal) e Tetrorchidium dusenii, conhecida de poucas áreas.

Entre as espécies, da mata da Fazenda São Vicente, que não ocorreram nas outras formações de Campinas, Prockia crucis é uma espécie pioneira. (Na Reserva Santa Genebra, Prockia crucis é uma espécie relativamente comum na borda da mata e já que estudos lá realizados o foram mais para o interior da formação a espécie não foi amostrada)

Entre as espécies em comum às três formações do Município de Campinas, que totalizaram 75% do IVC, não há nenhuma que seja pioneira. Nas matas da Reserva Santa Genébra e do Bosque dos Jequitibás existem espécies pioneiras, entre as espécies que totalizaram 75% do IVC (Croton floribundus, no Bosque dos Jequitibás), mas a porcentagem é menos da metade da porcentagem representada pelas espécies pioneiras na mata da Fazenda São Vicente.

Estes fatos indicariam que se a mata da Fazenda São Vicente ficar livre de perturbações a sucessão ecológica devá seguir, resultando em diminuição do número de indivíduo de espécies pioneiras, ou mesmo no número de espécies pioneiras.

A possível exclusão de todos os indivíduos de espécies pioneiras talvez não viesse a ocorrer, dado o tamanho reduzido da mata e uma relação grande entre o perímetro e área da mata, com um considerável efeito de borda.

Mesmo nas outras formações, de floresta mesófila semidecídua do Município de Campinas, que se encontravam em um estádio sucessional mais próximo do clímax, na ocasião dos estudos, a diminuição de pioneiras deveria ocorrer, desde que não houvesse interferência antrópica em sentido contrário e o tamanho das formações o permitisse.

3.b.II Padrões específicos

A distribuição de diâmetros dos indivíduos de uma população ou comunidade tem sido utilizada para indicar a presença de perturbações que ocorreram naquela população ou comunidade, sendo que enfocam-se perturbações nas classes superiores, que indicariam abate seletivo e desbaste da submata em passado recente, segundo Heinsdijk (1965 apud MATTHES ibid).

Em populações naturais, não submetidas à ação antrópica, ocorrem diferenças na distribuição de tamanhos dos indivíduos. SOLBRIG & SOLBRIG (1984) e WEINER (1985) afirmam que a competição aumenta a desigualdade na distribuição de tamanhos dos indivíduos nas populações.

Quanto a estas questões, devem ser considerados alguns aspectos. Quando se trata de abate seletivo, normalmente selecionam-se indivíduos a partir de um certo diâmetro das espécies desejáveis e estes são cortados e utilizados. Assim espera-se encontrar poucos indivíduos grandes daquelas determinadas espécies. Não que este processo não venha a interferir com outras espécies, apenas é mais fácil observar-se os efeitos dessa prática.

No caso de desbaste da submata frequentemente poupa-se indivíduos de espécies selecionadas e outros são eliminados. Neste caso pode ser mais difícil observar-se os efeitos, tempos depois, particularmente ao se utilizar a distribuição dos diâmetros por espécies. O mesmo deve ser verdade para observar-se diferenças populacionais naturais.

Quando se compararam distribuições de diâmetros dos indivíduos entre espécies diferentes, utilizando intervalos de classe de mesmo tamanho, é possível que se suprima classes para espécies de menor porte ou crie-se classes de porte maior.

Para evitar isto poder-se-ia regular o número de classes pelo número de indivíduos amostrados, como pelo algoritmo de Sturges. No entanto, como é frequente que o número de indivíduos seja muito diferente entre diferentes espécies em uma comunidade, é possível que se conte com diferentes números de classes para diferentes espécies, o que torna difícil as comparações entre elas.

O coeficiente de Gini pode ser uma maneira de superar estas dificuldades, já que leva em conta as diferenças entre os indivíduos em relação à média populacional. Assim poder-se-ia comparar espécies de porte muito diferente.

Pelos resultados é possível perceber que pela utilização do coeficiente de Gini distingue-se grupos de espécies com valores idênticos.

Como em uma comunidade tenderia a ocorrer substituição de espécies no sentido das espécies pioneiras para as secundárias tardias, as espécies que estariam sendo substituídas poderiam estar sob grande competição. Assim poderia esperar-se maiores valores de Gini na seguinte sequência: pioneiras, secundárias iniciais, secundárias tardias.

Populações de espécies características de estágios finais da sucessão apresentam poucos indivíduos jovens e têm a estrutura etária dominada por indivíduos maduros, tal como observado em carvalho (Streeter 1974 apud HUTCHINGS 1986).

Não é o que se observou em relação à Astronium graveolens e Aspidosperma polyneuron, que são espécies secundárias tardias, que apresentaram grande número de indivíduos menores e poucos maiores, com alto valor de Gini, equivalente aos de Piptadenia gonoacantha, secundária inicial, e mesmo Croton salutaris, pioneira. Talvez isto pudesse evidenciar que as populações das duas espécies secundárias tardias não estão ainda estabilizadas, sendo o recrutamento de indivíduos jovens um evento importante nestas populações, ou mesmo ocorreu eliminação dos indivíduos maiores.

HUTCHINGS (ibid) afirma que muitos ecólogos acreditam que quando competição está ocorrendo, dominância e supressão na população são as maiores causas de hierarquização.

Para SOLBRIG & SOLBRIG (ibid) competição está associada com consumo desigual de recursos, onde um "ganhador" usa uma quantidade maior do recurso que o "perdedor". No entanto, em plantas não seria necessariamente desta forma. Desde que a taxa de transpiração é mais ou menos igual, plantas próximas podem absorver água e nutrientes proporcionalmente a suas superfícies de absorção e plantas maiores não podem absorver uma quantidade maior que sua proporção de biomassa, sendo melhor denominar o processo de "interferência", ou seja, água e nutrientes não podem ser acumulados ou facilmente sequestrados. Não é o que ocorre com a luz, onde uma planta pode sombrear outra, sendo o processo de competição. Isto aumenta sua transpiração, mas desde que a planta sombreada reduz a sua, a planta dominante pode, indiretamente, também ganhar água e nutrientes.

Segundo Westoby (1982) e Hara (1984), o grau que uma distribuição de tamanhos se altera no tempo depende da relação entre a taxa de crescimento e o tamanho (incremento de tamanho em relação ao tamanho da planta)(apud HUTCHINGS ibid).

Para SOLBRIG & SOLBRIG (ibid) a competição por si só não estabelece hierarquização (altas densidades de plântulas, por mostrarem pouco crescimento, podem atrasar o estabelecimento de hierarquização), mas desde que a hierarquização é estabelecida, plantas maiores podem capturar mais luz e além do que podem negar luz para plantas menores, por sombreamento e assim aumentar ainda mais a hierarquização e assimetria da população.

A hierarquização pode ser estabelecida por tamanho inicial de semente (Black 1951), demora na germinação (Ross and Harper 1972; Abul-Fatih & Bazzaz 1979; Cook 1979, 1980), heterogeneidade do habitat (Solbrig 1981) e variabilidade genética (Schall & Levin 1976)(apud SOLBRIG ibid).

O coeficiente de Gini pode ser uma medida adequada, mas deve-se considerar que a medida só é precisa tendo-se um número razoável de indivíduos, pelo menos 50 ou 100, e que ainda não se chegou a um consenso de como estrearolar o valor amostral obtido para o valor da população.

No entanto, as implicações estatísticas não são argumentos para não se utilizar este coeficiente, em relação a algum outro, para determinar-se tamanhos de desigualdades (DIXON et al. ibid).

Em todo caso, seriam úteis medidas populacionais mais completas, a partir de plantas jovens até as maiores que se conseguir amostrar. Para Trichilia clausseni e Croton salutaris foi possível dispor de medidas de indivíduos com PAP > 15cm, na amostragem da vegetação arbórea e, no casos das duas espécies, o coeficiente de Gini seria significativamente diferente, em relação aos indivíduos herbáceo-arbustivos e arbóreos.

As diferenças obtidas no coeficiente de Gini para uma mesma espécie apesar de parecer inconsistente pode indicar a existência de fatores diversos, determinando estratégias e ocupação distinta de nicho para diferentes fases de desenvolvimento dos indivíduos de uma mesma espécie. Para SOLBRIG & SOLBRIG (ibid) ocorre crescimento exponencial desigual dos indivíduos, especialmente durante as primeiras fases do crescimento.

Então, a existência de diferentes graus de hierarquização em diferentes segmentos da população é um argumento forte à utilização de segmentos representativos da população total.

Outro argumento é que para Prockia crucis, uma pioneira, Galipea multiflora, Trichilia pallida e Calyptranthes lucida, secundárias iniciais, foram obtidos os menores valores de Gini. No entanto, a relação entre o maior e o menor diâmetro foi menor do que 4, enquanto para as outras espécies a relação foi 7 ou 8. Assim, é possível que o limite de inclusão utilizado na amostragem esteja próximo dos valores de diâmetro máximo para estas espécies, prejudicando os resultados.

3.b.III. Interações entre espécies

A distribuição das espécies pioneiras não é homogênea pela mata da Fazenda São Vicente, tendo sido observadas parcelas onde elas não ocorrem.

Através do PCA é possível identificar que num dos grupamentos (parcelas 6, 25, 35, 37, 38, 39, 40, 41 e 42) é marcante a presença de espécies pioneiras, com destaque para Croton salutaris, Jacaranda micrantha e Alchornea glandulosa.

Os outros dois grupamentos são menos fáceis de serem reconhecidos. No que inclue as parcelas 1, 2, 3, 5, 8, 14, 15, 18, 22, 33, 34 e 36 destaca-se a contribuição de espécies secundárias iniciais, como Trichilia clausenii, Zanthoxylum minutiflorum e Calyptranthes lucida.

O último grupamento é muito heterogêneo mas nele têm destaque as espécies secundárias tardias como Astronium graveolens, Aspidosperma polyneuron, Ocotea aff odorifera e as secundárias iniciais Piptadenia gonoacantha e Galipea multiflora, além da ocorrência de outras espécies, menos abundantes, com estas características ecológicas.

Dois fatores podem ser responsáveis pela pequena afinidade, revelada pelo dendrograma e PCA, entre as parcelas. Um deles, o tamanho das parcelas, que seria pequeno, provavelmente seja preponderante. O outro seria a distribuição em linha das parcelas.

Também deve ser considerada a heterogeneidade observada no solo, com diferenças mesmo a pequenas distâncias, que poderiam ser responsáveis pela heterogeneidade observada entre as parcelas.

Entretanto, deve-se considerar que na mata da Fazenda São Vicente ocorre um mosaico de situações sucessionais, com predominância de indivíduos de espécies pioneiras ou então de espécies com outras características sucessionais, em áreas de diferentes tamanhos.

Então, considerando uma área grande, na mata, onde predominassem indivíduos de espécies pioneiras, é provável que a composição, em termos florísticos, seja diferente de uma área menor, mesmo que também nesta área ocorram predominantemente indivíduos de espécies pioneiras. Na análise do PCA e dendrograma a composição florística é responsável pela determinação de afinidade entre as parcelas.

Assim, mesmo que ecologicamente as parcelas representem situações semelhantes, isto pode não ser evidenciado no PCA ou dendrograma. Dado um número constante de indivíduos (ou outra característica quantitativa, nas mesmas proporções), se em uma parcela predominar indivíduos de espécies pioneiras, distintas das de uma outra parcela onde, igualmente predominem indivíduos de espécies pioneiras, estas parcelas serão representadas como sendo tão distintas ou semelhantes entre si com a uma outra qualquer, mesmo que nesta última predominem indivíduos de espécies de outros estágios sucessionais.

Segundo BAZZAZ (1991) muitos distúrbios criam habitat altamente heterogêneos que são responsáveis pelo recrutamento de diferentes espécies e proporcionam diferentes fisionomias de regeneração.

Putz (1983) teria observado que em clareiras em inclinações e pequenas elevações pode ocorrer recrutamento de espécies diferentes; Uhl et al. (1981) mostraram que o corte e queima criam microhabitats diferentes para os quais variou a preferência das espécies, sendo que em clareiras pequenas o banco de plântulas é mais importante para a regeneração, enquanto nas clareiras grandes é o banco de sementes (BAZZAZ ibid).

É possível que considerando-se áreas de mesmo tamanho, onde predominem indivíduos de espécies pioneiras, a composição florística pode ser distinta, já que podem existir espécies idênticas ecologicamente e a ocorrência de uma ou outra espécie seria casual.

As mesmas observações são válidas para espécies com outras características ecológicas, ou seja, secundárias iniciais ou tardias.

Através do PCA, utilizando as categorias sucessionais é possível comprovar a veracidade das observações, já que os grupos mantiveram-se praticamente os mesmos.

4. Fitossociologia e florística do componente herbáceo e arbustivo

4.a. Similaridade

As diferenças de metodologia e as particularidades florísticas das várias áreas em que foram desenvolvidos estudos fitossociológicos envolvendo os estratos herbáceos e arbustivos, por um lado, dificultam as comparações no sentido de não possibilitarem a identificação das características que seriam comuns aos estratos herbáceo-arbustivos do tipo de formação estudado. Mas, por outro lado, fornecem evidências de diferenças marcantes na estrutura daqueles estratos, em diferentes formações e situações sucessionais.

Através dos trabalhos consultados, citados na introdução, foi possível constatar o pequeno número de espécies em comum com a mata da Fazenda São Vicente, pelo menos no que se refere às espécies mais abundantes.

Não foi comparado apenas o trabalho de SCHLITTLER (ibid) por se tratar de estudo realizado no subosque de uma plantação de Eucalyptus e não em uma formação florestal natural, mesmo que perturbada temporariamente.

Para possibilitar uma visão mais precisa, são apresentados, na tabela 5, os resultados comparações com os dados do estudo realizado por CASTTELLANI (ibid), na mata da Reserva Santa Genebra, em uma área atingida por fogo e em fase de regeneração e dos estudos de STUTZ-de-ORTEGA (1990), no Paraguai, em matas que sofreram derrubada a 30, 10, 3, 2 e 1½ anos, da época dos estudos.

Tabela 5. Comparações fitossociológicas e florísticas entre o componente herbáceo-arbustivo da mata da Fazenda São Vicente e os de uma área, atingida por fogo e em sucessão secundária, da mata da Reserva Santa Genebra e, de áreas florestais, em diferentes estágios de sucessão secundária, no Paraguai. Sta. Gen. Reserva Santa Genebra; Faz. Fazenda; fit. levantamento fitossociológico (as lianas não foram consideradas); # incluiu-se como herbáceo-arbustivas as espécies arbóreas com diâmetro do caule menor que 5cm; fl. levantamento florístico (as espécies arbóreas não foram consideradas); 1½, 2, 3, 10 e 30 indicam o número de anos que a mata não sofre derrubada. Os números entre parênteses indicam o número de espécies comparadas; os números entre colchetes indicam o número de espécies em comum; o número sublinhado indica o valor do índice de similaridade de Sorensen; o número entre chaves indica o número de espécies da Fazenda São Vicente que entraram na comparação.

Nas comparações dos estudos fitossociológicos as lianas não foram consideradas e dos estudos realizados no Paraguai foram consideradas as espécies que tiveram amostrados indivíduos com menos do que 5cm de diâmetro. Nas comparações florísticas as espécies arbóreas não foram consideradas, mas inclui-se as lianas.

Em todos os casos não foram consideradas:

- as espécies não identificadas;
- as espécies, das outras formações, identificadas somente a nível genérico, cujo gênero era representado por alguma espécie na mata da Fazenda São Vicente;
- as espécies cuja identificação não pode ser confirmada.

Constata-se que não há similaridade entre o componente herbáceo arbustivo (e lianas) da mata da Fazenda São Vicente com o das outras formações comparadas. A área na Reserva Santa Genebra foi queimada e a vegetação estudada representa o estágio inicial de uma sucessão secundária, situação bastante diversa da ocorrente na mata da Fazenda São Vicente, apesar das semelhanças florísticas existentes entre a mata original da Reserva Santa Genebra e da mata da Fazenda São Vicente. No caso das matas do Paraguai além das prováveis diferenças representadas por distintos estágios sucessionais, em relação ao estágio sucessional da mata da Fazenda São Vicente, há de se considerar as prováveis diferenças climáticas, entre outras, que implicam em padrões ecológicos distintos.

Na maioria dos casos, o número de espécies em comum à mata da Fazenda São Vicente aumentou conforme era maior o número de espécies consideradas nas outras formações.

As únicas exceções foram com relação às comparações florísticas envolvendo a mata perturbada a 2 e a 3 anos atrás, no Paraguai, tendo havido aumento de espécies na mata perturbada a mais tempo. Não houve aumento de espécies em comum à mata da Fazenda São Vicente em relação à mata perturbada a 10 anos atrás, no Paraguai e a porção atingida por fogo na Reserva Santa Genebra, existindo menor número de espécies nesta última e maior número de espécies em comum à mata da Fazenda São Vicente.

Houve uma tendência geral de aumento no número de espécies em relação ao maior tempo decorrido de perturbação das formações florestais do Paraguai, acompanhada por uma tendência geral no aumento de espécies em comum à mata da Fazenda São Vicente.

No entanto, não seria correto afirmar que isto é uma indicação de que a mata da Fazenda São Vicente representa um estágio sucessional de uma formação livre de perturbação há um período maior do que 30 anos, isto é, a um tempo maior que aquele durante o qual as matas estudadas no Paraguai ficaram sem perturbação, já que provavelmente não existe realmente similaridade entre a mata da Fazenda São Vicente e as formações florestais do Paraguai, por maior que seja o tempo decorrido de perturbações que elas por ventura tivessem sofrido.

Apesar das possíveis diferenças das matas mesófilas - semidecíduas do interior do Estado de São Paulo com aquelas do Paraguai evidencia-se em qualquer uma das formações a existência de um "modelo de sucessão" com algumas características comuns, tal como o aumento no número de espécies.

O valor do índice de Sorensen foi sempre maior nas comparações fitossociológicas do que o das respectivas comparações florísticas, entre os estudos realizados no Paraguai e o da mata da Fazenda São Vicente.

114

Mas a influência maior provavelmente é decorrente de não ter existido, propriamente, levantamentos florísticos realizados no Paraguai, as comparações foram realizadas conforme esclarecido anteriormente, pela exclusão das espécies arbóreas e inclusão das lianas, ao mesmo tempo houve um grande implemento no número de espécies comparáveis da mata da Fazenda São Vicente.

Com relação ao estudo na Reserva Santa Genebra há relação inversa, e neste caso houve um levantamento florístico realizado na área.

4.b. Diversidade

4.b.I. Medidas de diversidade

Há informação de que a mata da Fazenda São Vicente não sofre perturbação há 50 anos (Sr. Rubem Paes de Barros, proprietário da Fazenda, comunicação pessoal). A "curva do componente dominância da diversidade", para a vegetação herbáceo-arbustiva, é muito semelhante àquela obtida para o estrato arbóreo. Apesar de não serem totalmente coincidentes, o são em grande parte e, de resto, apresentam de forma geral as mesmas particularidades, sugerindo a presença das mesmas condições pertinentes ao componente arbóreo, ou seja, a diversidade não é típica de uma mata estável. Assim, o tempo decorrido desde a época das últimas retiradas de madeira não parece ter sido suficiente para a recuperação total da mata.

Não há diferença significativa, ao nível de 10%, do índice H' obtido para os componentes herbáceo e arbustivo e o obtido para o componente árbóreo ($t_{H'} = 0,0549 < t_{1,1[1317]}$).

145

O índice H para os respectivos componentes, componente arbóreo [H(ln) = 2,5637] e componente herbáceo-arbustivo [H(ln) = 3,3505], são apenas próximos, reforçando a idéia de que talvez são sejam equivalentes, ou seja, não medem a diversidade da mesma forma.

4.b.II. Padrões específicos

Das espécies arbóreas que totalizaram 75% do IVC e/ou IVI não foram amostradas no levantamento da vegetação herbáceo-arbustiva, ou seja não tiveram indivíduos jovens amostrados nas parcelas de 2x1m as seguintes espécies: Astronium graveolens, Piptadenia gonoacantha#, Chorisia speciosa#, Centrolobium tomentosum*, Galipea multiflora#, Chorophora tinctoria#, Croton floribundus*, Sebastiania edwaliana*, Guarea macrophylla, Alchornea glandulosa*, Bauhinia forficata* e Citronela congonha. As espécies assinaladas com * são pioneiras e, as assinaladas com # são secundárias iniciais.

Observa-se que entre as espécies não amostradas há um número maior de espécies pioneiras seguido das secundárias iniciais, possivelmente indicando uma tendência de avanço sucessional em direção ao clímax. Isto vem corroborar a hipótese levantada na discussão em relação ao levantamento fitossociológico e florístico do componente arbóreo em comparação às outras formações do Município de Campinas. Por outro lado T. clausseni, secundária inicial, ainda mostrou valores altos de IVC e IVI, além de um número grande de indivíduos, indicando que deve ter posição primordial na mata ainda durante um certo tempo.

Apesar das coletas incluírem materiais coletados na borda da mata, onde o número de plantas invasoras é elevado, as invasoras não foram amostradas à exceção de Baccharis trinervis, Heliotropium transalpinum e Tournefortia paniculata, das quais foi amostrado um único indivíduo.

De modo geral, com relação ao coeficiente de Gini, no componente herbáceo-arbustivo, as espécies menos umbrófilas apresentaram valores menores e as mais umbrófilas valores maiores.

Isto vem em apoio ao proposto por SOLBRIG & SOLBRIG (ibid) de que em relação a luz, existe um processo de competição que tende a aumentar a hierarquização em uma população. Ou seja, as plantas que conseguem desenvolver-se em locais menos iluminados estão sob grande competição com as plantas dos estratos superiores. O efeito da competição das plantas maiores é tanto maior quanto menor for a planta sombreada, fazendo com que as possibilidades de crescimento desta última seja muito inferior ao de plantas cada vez maiores. Isto resultaria em grandes diferenças de tamanho nas populações das espécies que se desenvolvem em locais menos iluminados.

Entre as espécies com os maiores coeficiente de Gini, Hybanthus atropurpureus é a única que foi definida como menos umbrófila. Coffea arabica foi identificada como intermediária em relação à preferência por luminosidade, ocorrendo tanto em locais mais sombreados como menos sombreados. Todas as outras espécies foram classificadas como mais umbrófilas.

Polygala klotzschii e Piper amalago, que apresentaram os menores valores de Gini são menos umbrófilas. Entre as com os menores coeficientes de Gini todas as espécies estão incluídas na classe das menos umbrófilas.

Trichilia clausenii e Croton salutaris são espécies arbóreas. Apesar de ter havido definição para as preferências quanto a luminosidade a amostragem das mesmas foi truncada, pois para o componente herbáceo-arbustivo estabeleceu-se um diâmetro máximo que estas espécies superam frequentemente. Como pode haver diferentes graus de hierarquização em uma mesma população não seria conveniente entrar em discussão em relação quanto ao coeficiente de Gini.

4.b.III. Interação entre espécies

Através dos resultados obtidos com os PCA é possível identificar que a luminosidade é um fator que tem influência na vegetação. No entanto, a resposta da vegetação não é apenas em uma direção, ou seja, ocorrem locais em que se nota o predomínio de uma espécie ou conjunto de espécies com uma determinada preferência por luminosidade.

Deve-se considerar que diferentes espécies podem ter características mais ou menos idênticas, ocupando habitats muito próximos, como foi discutido em relação ao componente arbóreo e relatado por BAZZAZ (*ibid*).

Mas além desta resposta, observa-se que nos locais com menor luminosidade ocorrem diferentes espécies que, no entanto, apresentam crescimento menor.

Não deve ser descartada a influência do solo na composição da vegetação, mas não existem dados suficientes para discutir este aspecto, em que pese o fato da mata da Fazenda São Vicente desenvolver-se em solos muito heterogêneos.

Entre as espécies herbáceas e arbustivas devem ser referidas, como particularidades da mata da Fazenda São Vicente, Hyppeastrum reticulatum e Grifflinia sp, espécies pouco comuns ou ausentes em matas da região de Campinas (Julie H. A. Dutihl, doutoranda do curso de pós-graduação IB/UNICAMP, comunicação pessoal).

Em relação a espécies epífitas nota-se a presença de um número muito reduzido delas, na mata da Fazenda São Vicente. Entre as epífitas são mais comuns bromeliáceas de pequeno porte e sem uma estrutura muito especializada no acúmulo de água. Estes fatos, provavelmente, sejam devidos ao clima, não tão úmido, como o da Mata Atlântica, onde a riqueza e abundância de epífitas é maior.

Para a ausência de orquídeas epífitas deve contribuir o fato da mata da Fazenda São Vicente ser muito próxima de áreas urbanas, sendo desta forma preferencialmente coletadas para fins ornamentais.

Próximo a um dos cursos d'água que atravessam a mata foi observado um número maior de epífitas, provavelmente ali ocorrentes devido à maior umidade, pelo menos em parte do ano. Devido ao porte das árvores e à altura em que as epífitas se encontravam não foi possível a coleta destes materiais.

VII - CONCLUSÕES

- a- A análise do componente herbáceo e arbustivo, tanto quanto do componente arbóreo, possibilitaram informações idênticas sobre a diversidade e estágio sucessional vigentes em uma mata mesófila semidecídua (mata da Fazenda São Vicente), indicando que a mata não se encontra em estádio climácico, predominando nela uma espécie secundária inicial, Trichilia clausenii, comum a outras formações de floresta mesófila semidecídua no Município de Campinas;
- b- a quase total ausência de plantas invasoras, entre as espécies herbáceas e arbustivas, dentro da mata da Fazenda São Vicente indica que a formação estudada está distante de um estágio de sucessão secundária inicial, não oferecendo condições ao estabelecimento de plantas invasoras;
- c- o estudo de todos os estratos foi muito importante para a caracterização geral, tanto florística, como fitossociológica, da floresta mesófila semidecídua da Fazenda São Vicente, sendo que o estudo da fitossociologia do estrato herbáceo e arbustivo foi fundamental para o entendimento do comportamento de várias espécies arbóreas que, estando presentes naqueles estratos, indicam que o processo reprodutivo tem sido bem sucedido nestas espécies, com uma tendência no avanço da sucessão;

d- as matas mesófilas semidecíduas já estudadas (da Fazenda São Vicente, da Reserva Santa Genebra e do Bosque dos Jequitibás) no Município de Campinas têm grandes semelhanças entre si, tanto florística quanto fitossociológica, em relação ao componente arbóreo;

e- Aspidosperma polyneuron, Astronium graveolens e Cariniana estrellensis, secundárias tardias e Piptadenia gonoacantha e Chorisia speciosa, secundárias iniciais são espécies, além de Trichilia claussemi, que mais contribuem para totalizar 75% do IVC na mata da Fazenda São Vicente e ocorrem igualmente em outras floresta do Município de Campinas;

f- a participação de indivíduos jovens de espécies arbóreas foi preponderante, em termos de IVC e IVI, nos estratos inferiores da mata estudada;

g- a caracterização das florestas mesófilas semidecíduas, como um todo, a partir dos componentes herbáceo e arbustivo ficou prejudicada devido à escassez de trabalhos realizados envolvendo estes componentes; .

h- há diferença significativa entre a luminosidade fora da mata e dentro da mata, da mesma forma que dentro da mata no verão e inverno, quando ocorre deciduidade em algumas espécies;

i- nos componentes herbáceo e arbustivo há diferenças de comportamento, quanto a preferência por luminosidade, com diferenças entre as espécies na ocupação da mata, possibilitando o reconhecimento de ambientes diferentes a partir do conhecimento da composição florística ou de valores relativos da cobertura. Não foi clara, entretanto, a relação entre a preferência por luminosidade e o enquadramento do componente herbáceo e arbustivo com relação a características ecológicas utilizadas para os indivíduos arbóreos (pioneeras, secundárias iniciais, secundárias tardias);

j- através da utilização do coeficiente de Gini, que indica o grau de hierarquização em uma população, foi possível identificar diferenças de padrão entre as espécies pioneiras e secundárias iniciais e tardias, o que poderia recomendar o uso deste índice mais do que o simples exame da distribuição de classes de diâmetros. No entanto, é recomendável a utilização do coeficiente de Gini para dados populacionais completos;

k- apesar da grande semelhança, entre as matas semidecíduas do Município de Campinas, a mata da Fazenda São Vicente apresenta particularidades em relação às outras, por um lado devido ao estágio sucessional menos avançado e por outro devido à presença de espécies pouco frequentes como Simira sp, no componente arbóreo, e Hypeastrum reticulatum e Grifflinia sp, no componente herbáceo. Da mesma forma foi possível evidenciar que áreas próximas abrigam espécies exclusivas, mostrando que muitas espécies arbóreas são representadas por populações pequenas e isoladas. Por esta razão, os fragmentos florestais remanescentes têm grande importância ecológica e conservacionista.

Resumo

As Florestas Mesófilas Semi-decíduas, ou Matas de Planalto, constituem um tipo particular de formação vegetal, ao lado das Florestas Atlânticas, as formações mais importantes do Estado de São Paulo, apresentando particularidades florísticas e estruturais.

Estudos dos estratos herbáceos e arbustivos são raros no país, particularmente no que se refere às formações florestais, onde comumente têm-se estudado basicamente os estratos arbóreos.

No presente trabalho fez-se um estudo fitossociológico dos componentes herbáceo e arbustivo, através do método de parcelas. Foram feitas observações edáficas, de luminosidade, da composição florística da mata e da fitossociologia do componente arbóreo para possibilitar interpretação dos resultados.

A mata da Fazenda São Vicente ($22^{\circ}55'S$ e $47^{\circ}03'W$, 625 a 675m de altitude), de cerca de 70ha, tem clima $B_2B'grb'g$ de Thornthwaite (ou Cfa de Koepen) e solos, geralmente, Podzólico Vermelho-Amarelo eutrófico com diferenças físicas e químicas mesmo a curta distância.

Para o estudo do componente herbáceo-arbustivo foram alocadas 64 parcelas de 2x1m, sendo considerados os indivíduos com altura $> 20cm$ e até com caule com PAP $< 15cm$. Foram amostrados 1109 indivíduos pertencentes a 45 famílias, destas 8 ou 12 famílias totalizam 75% do IVC ou IVI, respectivamente, sendo que a 1^a posição é ocupada por Rubiaceae; Meliaceae e Violaceae ocupam as 2^a e 3^a posições, respectivamente, apresentando grandes diferenças de valores em relação às outras famílias.

A nível de espécie 75% do IVC ou IVI é totalizado por 19 ou 25 espécies, respectivamente, destas Trichilia claussemi, Coffea arabica e Hypbanthus atropurpureus ocupam, respectivamente, as 1^{as}, 2^{as} e 3^{as} posições com valores muito maiores que o das outras espécies. Para 24 espécies, com mais de 10 indivíduos amostrados, determinou-se a preferência por luminosidade, sendo que 12 delas mostraram-se mais umbrófilas, 9 menos umbrófilas e 3 prefiriram luminosidade intermediária.

Os indivíduos jovens de espécies arbóreas representam a maior porcentagem do componente herbáceo e arbustivo, em relação ao IVC ou IVI.

Em 42 parcelas de 10x10m amostrou-se 596 indivíduos, com PAP > 15cm, pertencentes a 85 espécies, destas Trichilia claussemi, Aspidosperma polyneuron, Astronium graveolens, Cariniana estrellensis e Chorisia speciosa estão representadas, entre as espécies que totalizam 75% do IVC, em outras duas áreas de formação florestal no Município de Campinas (Reserva Santa Genebra e Bosque dos Jequitibás), com as quais houve grande similaridade.

Em 42 parcelas de 10x10m, amostrou-se 596 indivíduos arbóreos, com caule com PAP > 15cm, pertencentes a 84 espécies. Destas espécies, 19 ou 23 totalizam 75% do IVC ou IVI, respectivamente, sendo que Trichilia claussemi, Aspidosperma polyneuron, Astronium graveolens, Cariniana estrellensis e Chorisia speciosa totalizam 75% do IVC em duas outras áreas de formação florestal no Município de Campinas (Reserva Santa Genebra e Bosque dos Jequitibás), com as quais houve grande similaridade.

O índice H' não apresentou diferença, significante ao nível de 5%, entre o componente arbóreo e os componentes herbáceo e arbustivo.

A mata não se encontra no clímax, estando representado um mosaico de situações sucessionais reconhecido através da composição florística. Entre outros fatores as diferenças de luminosidade tem influência nas diferenças florísticas nos componentes herbáceo e arbustivo.

Incluindo coletas aleatórias e os materiais dcoletados nas parcelas, foram encontradas 361 espécies, algumas delas não têm sido amostradas em outras áreas.

111

Abstract

The semideciduous mesophytic forests ("matas de planalto") form one of most important forest formations in São Paulo State, and show a number of floristic and structural peculiarities.

Studies of the herbaceous and shrub strata are rare in Brazil, particularly in forest formations where studies have concentrated mainly on the arboreal strata.

In present study, a phytosociological survey of the herbaceous and shrub components of mesophytic forest area was made using quadrats. Soil and light condicitions were studied together with the floristic composition and phytosociology of the tree strata, in order to interpret the results.

The Fazenda São Vicente forest ($22^{\circ}55'S$ and $47^{\circ}03'W$, 625 to 675m altitude) covers about 70ha and has Thornthwaite B₂B'grb'g climate (or Koeppen Cfa). The soils are mainly eutrophic reddish yellow podzols, with physical and chemical variation occurring on a small scale.

A total of 64 2x1m quadrats was used to sample the herbaceous/shrub component. Individuals with heights \geq 20cm and PCH < 15cm were included. In all, 1109 individuals were sampled, belonging to 45 families. Of these, 8 and 12 families accounted for a total of 75% of IVC and IVI respectively, with Rubiaceae and Meliaceae in first and second place, both with much higher values than Violaceae which occupied third place, and this family also had much higher values than the remainder. At species level, 19 and 25 species account for 75% of IVC and IVI respectively and of these, Trichilia clausenii, Coffea arabica and Hypothamnus atropurpureus occupied 1st, 2nd and 3rd positions, with much higher values than the remaining species.

Amongst 24 species with 10 or more individuals, observations indicate that 12 prefer shady habitats, 9 prefer less shady habitats and 3 prefer intermediate habitats.

Young individuals of tree species form a major part of the herbaceous/shrubs component in terms of IVI and IVC.

A total of 596 trees with PCH \geq 15cm were sampled in 42 10x10m quadrats. These belonged to 84 species, of which 19 and 23 made up 75% of IVC and IVI respectively. Trichilia clausenii, Aspidosperma polyneuron, Astronium graveolens, Cariniana estrellensis and Chorisia speciosa account for 75% of IVC in two other forest formations in the municipality of Campinas (Reserva Santa Genebra & Bosque dos Jequitibás) and these showed great similarity to the present area.

The difference in Shannon & Weaver index between the tree and herbaceous/shrubs components was not significant at the 5% level.

The forest is not at climax and consists of a mosaic of successional stages which can be recognised by their characteristic floristic composition. Amongst other factors, floristic composition of the herbaceous/shrubs component is probably affected by differences in luminosity.

Including random collections, a total of 361 species were found in the Fazenda São Vicente forest. Some of these have not been sampled in other areas.

Bibliografia

- Bazzaz, F. A., 1991. Regeneration of tropical forests: physiological responses of pioneer and secondary species. in Gómez-Pompa, A.; Whitmore, T. C. & Hardley, M. (eds.) Rain forest regeneration and management, 91-118. Man and the biosphere series. UNESCO/The Parthenon Publishing Group, Paris.
- Barreto, F. V. de B. (coord.), 1985. Áreas naturais do Estado de São Paulo. Assessoria de Comunicação do CONSEMA, São Paulo.
- Brower, J. E. & Zar, J. H., 1984. Field & laboratory methods for general ecology. 2 ed. Wm. C. Brown Publishers, Dubuque.
- Cain, S. A.; Castro, G. M. de O.; Pires, J. M. & Silva, N. T. da, 1956. Application of some phytosociological techniques to Brazilian rain forest. American Journal of Botany 43(10): 911-41.
- Castellani, T. T., 1986. Sucessão secundária inicial em mata tropical semi-decidua, após perturbação por fogo. Dissertação de Mestrado. IB-UNICAMP, Campinas.
- Cestaro, L. A.; Waechter, J. L. & Baptista, L. R. de M., 1986. Fitossociologia do estrato herbáceo da mata de araucária da Estação Ecológica de Aracuri, Esmeralda, RS. Hoehnea 13: 59-72.

Citadini-Zanette, V., 1984. Composição florística e fitossociológica da vegetação herbácea terrícola de uma mata de Torres, Rio Grande do Sul, Brasil. Iheringia sér. Botânica 32: 23-62.

Cronquist, A., 1981. An integrated system of classification on flowering plants. Columbia University Press, New York.

Diaconis, P. & Efron, B., 1983. Computer intensive methods in statistics. Scientific American 248(5): 116-30.

Dixon, P. M.; Weiner, J.; Mitchell-Olds, T. & Woodley, R. 1987. Bootstrapping the Gini coefficient of inequality. Ecology 68(5): 1548-51.

Dunn, G. & Everitt, B. S., 1982. An introduction to mathematical taxonomy. Cambridge University Press, Cambridge.

Efron, B., 1981a. Nonparametric estimates of standard error: The jackknife, the bootstrap and other methods. Biometrika 68(3): 589-99.

_____, 1981b. Nonparametric standard errors and confidence intervals. The Canadian Journal of Statistics 9(2): 139-72.

Efron, B. & Tibshirani, R., 1986. Bootstrap methods for standard errors, confidence intervals, and other measures of statistical accuracy. Statistical Science 1(1): 54-77.

227

Fundação Florestal (Fundação para a conservação e produção florestal do Estado de São Paulo), 1986. Um plano realista de conservação. Secretaria de Agricultura e Abastecimento/Coordenadoria de Recursos Naturais/Instituto Florestal, São Paulo.

Gandolfi, S., 1991. Estudo florístico e fitossociológico de uma floresta residual na área do Aeroporto Internacional de São Paulo, Município de Guarulhos, SP. Dissertação de mestrado, IB-UNICAMP, Campinas.

Golley, F. B.; McGinnis, J. T.; Clements, R. G.; Child, G. I. & Duever, M. J., 1978. Ciclagem de minerais em um ecossistema de floresta tropical úmida. EPU/EDUSP, São Paulo.

Gomes, F. P., Curso de estatística experimental. 5 ed. Livraria Nobel S.A., São Paulo.

Hueck, K., 1972. As florestas da América do Sul. Editora Polígono, São Paulo/Editora da Universidade de Brasília.

Hutchings, M. J., 1986. The structure of plant population. In Crawley, M. J. (ed.) Plant ecology. Blackwell Scientific Publications, Oxford.

Jorge, J. A., 1972a. Matéria orgânica. In Moniz, A. C. (coord.) Elementos de pedologia: 169-77. EDUSP/POLÍGONO, São Paulo.

_____, 1972b. Fósforo. In Moniz, A. C. (coord.) Elementos de Pedologia: 191-7.

Kiehl, E. J., 1979. Manual de edafologia - relações solo-planta.
Editora Agronômica Ceres, São Paulo.

Larcher, W. 1975. Physiological plant ecology. Springer-Verlag, Berlin.

Leitão Filho, H. de F., 1982. Aspectos taxonômicos das florestas do Estado de São Paulo. In Anais do Congresso Nacional sobre Essências Nativas. Silvicultura em São Paulo 16A(1): 197-206.

Lepsh, I. F., 1976. Solos - formação e conservação. 2 ed. Edições Melhoramentos, São Paulo.

Mantovani, W., 1987. Análise florística e fitossociológica do estrato herbáceo-subarbustivo do cerrado na Reserva Biológica de Moji Guaçu e em Itirapina. Tese de Doutorado, IB-UNICAMP, Campinas.

Matteucci, S. D. & Colma, A., 1982. Metodología para el estudio de la vegetación. OEA, Washington.

Matthes, L. A. F.; Leitão Filho, H. de F. & Martins, F. R., 1988. Bosque dos Jequitibás (Campinas, SP): Composição florística e estrutura fitossociológica do estrato arbóreo. In Rodrigues, J. D. (edt.) Anais do 5 congresso da Sociedade Botânica de São Paulo: 55-76. Depto. Botânica-IBBMA-UNESP, Botucatu.

Moon, P. & Spencer, D. E., 1959. Photometry. In Yust, W. (edt.) Encyclopaedia Britannica 17: 840-5. Encyclopaedia Britannica Inc. Willian Benton Publisher, Chicago.

Mueller-Dombois, D. & Eltemberg, H., 1974. Aims and methods of vegetation ecology. Wiley and Sons, New York.

Odum, E. P., 1986. Ecologia. Editora Guanabara S.A., Rio de Janeiro.

Ometto, J. C., 1981. Bioclimatologia vegetal. CERES, São Paulo.

Oliveira, J. B.; Menk, J. R. F. & Rotta, C. L., 1979. Levantamento pedológico semi-detalhado dos solos do Estado de São Paulo - quadricula de Campinas. IBGE, Rio de Janeiro.

Pessoa, N. da S., 1985. Balanço hídrico. Bol. Téc. CATI 190: 1-32.

Raij, B. van, 1981. Avaliação da fertilidade do solo. Instituto de Potassa & Fosfato/Instituto Internacional da Potassa, Piracicaba.

Resende, M.; Curi, N. & Santana, D. P. 1988.-Pedologia e fertilidade do solo - Interações e aplicações. MEC/ESAL/POTAFOS, Brasília.

Rizzini, C. T., 1979. Tratado de fitogeografia do Brasil. v.2: Aspectos sociológicos e florísticos. HUCITEC/EDUSP, São Paulo.

Rodrigues, R.R., 1986. Levantamento florístico e fitossociológico das matas das serras do Japi, Jundiaí, SP. Tese de Mestrado, IB-UNICAMP, Campinas.

- Schlittler, F.H.M., 1984. Composição florística e estrutura fitossociológica do subosque de uma plantação de Eucalyptus tereticornis Sw. no Município de Rio Claro, São Paulo. Tese de Mestrado - UNESP, Rio Claro.
- Silva, J. X. da & Souza, M. J. L. de, 1987. Análise ambiental. UFRJ, Rio de Janeiro.
- Silva, S. M., 1990. Composição florística e fitossociológica de um trecho de floresta de restinga na Ilha do Mel, Município de Paranaguá, PR. Dissertação de Mestrado, IB-UNICAMP, Campinas.
- Sokal, R. R. & Rohlf, F. J., 1979. Biometria - principios y métodos estadísticos en la investigación biológica. H. Blume Ediciones, Madrid.
- Solbrig, O. T. & Solbrig, D. J., 1984. Size inequalities and fitness in plant populations. In Darwkins, R. & Ridley, M. (eds) Oxford surveys in evolutionary biology (1): 141-59. Blackwell Scientific, Oxford.
- Stutz-de-Ortega, L. C., 1990. Etudes floristiques de divers stades secondaires des formations forestières du Haut Parana (Paraguay oriental). Structure, composition floristique et recrû forestier: analyse de cinq stades de succession secondaire. Candollea 45: 81-123.

Teixeira, M. do C. B. & Pedralli, G., 1987. Estudos sobre a cobertura vegetal na Jaíba, Manga (MG): área 1. Lajedo (Ometo). In 38 Congresso Nacional de Botânica. Resumos ...: 167. SBB/USP, São Paulo.

Thorntwaite, C. W., 1948. An Approach toward a rational classification of climate. The Geographical Review 38(1): 55-94.

Veloso, H. P. & Klein, R. M., 1957. As comunidades e associações vegetais da mata pluvial do sul do Brasil - I. As comunidades do Município de Brusque, Estado de Santa Catarina. Sellowia 9(8): 81-235.

_____, 1959. As comunidades e associações vegetais da mata pluvial do sul do Brasil - II. Dinamismo e fidelidade das espécies em associações do Município de Brusque, Estado de Santa Catarina. Sellowia 11(10): 9-124.

_____, 1961. As comunidades e associações vegetais da mata pluvial do sul do Brasil - III. As associações das planícies costeiras do quaternário, situadas entre o Rio Itapocu (SC) e a Baía de Paranaguá (PR). Sellowia 13(13): 205-60.

_____, 1963. As comunidades e associações vegetais da mata pluvial do sul do Brasil - IV. As associações situadas entre o Rio Tubarão (SC) e a Lagoa dos Barros (RS). Sellowia 15(15): 57-114.

_____, 1968a. As comunidades e associações vegetais da mata pluvial do sul do Brasil - V. Agrupamentos arbóreos da encosta catarinense, situados em sua parte norte. Sellowia 20(20): 53-126.

_____, 1968b. As comunidades e associações vegetais da mata pluvial do sul do Brasil - VI. Agrupamentos arbóreos dos contra-fortes da Serra Geral situados ao sul da costa catarinense e ao norte da costa sul-riograndense. Sellowia 20(20): 127-80.

Verdade, F. C., 1956. Influência da matéria orgânica na capacidade de troca de cátions do solo. Bragantia 15(4): 35-42.

Victor, M. A. M., 1975. A devastação florestal. Sociedade Brasileira de Silvicultura, São Paulo.

Weiner, J., 1985. Size hierarchies in experimental populations of annual plants. Ecology 66(3): 743-52.

Weiner, J. & Solbrig, O. T., 1984. The meaning and measurement of size hierarchies in plant populations. Oecologia 61(3): 334-6.

Apêndice 1. Dados fitossociológicos, ordenados por IVI, das espécies da vegetação herbácea-arbustiva da mata da Fazenda São Vicente. ind. número de indivíduos; FA frequência absoluta; DA densidade absoluta; DoA dominância absoluta.

Espécie	ind.	FA	DA	DoA	IVI	IVC
<i>Trichilia clausenii</i>	79	62.50	6171.88	55.1086	46.62	38.91
<i>Coffea arabica</i>	180	59.38	14062.50	19.6683	34.90	27.58
<i>Hybanthus atropurpureus</i>	194	79.69	15156.25	8.7627	32.37	22.55
<i>Psychotria aff deflexa</i>	35	23.44	2734.38	7.0168	10.09	7.20
<i>Piper amalago</i>	34	29.69	2656.25	2.6572	8.26	4.60
<i>Trichilia elegans</i>	19	21.88	1484.38	4.9579	7.27	4.57
<i>Holocalyx balansae</i>	16	21.88	1250.00	3.6946	6.27	3.57
<i>Ixora venulosa</i>	18	12.50	1406.24	5.2896	6.22	4.67
<i>Croton salutaris</i>	35	18.75	2734.38	1.2363	6.18	3.87
<i>Picramia ramiflora</i>	30	15.63	2343.75	1.9598	5.76	3.84
<i>Pavonia sepium</i>	28	7.81	2187.50	3.6558	5.60	4.63
<i>Aspidosperma polyneuron</i>	16	21.88	1250.00	2.2313	5.43	2.73
<i>Psychotria hastisepala</i>	14	7.81	1093.75	5.0534	5.14	4.18
<i>Myrciaria ciliolata</i>	7	9.38	546.88	5.1898	4.78	3.62
<i>Maytenus aquifolium</i>	15	21.88	1171.88	.2740	4.21	1.51
<i>Rhamnidium elaeocarpum</i>	8	9.38	625.00	3.9068	4.13	2.97
<i>Cupania vernalis</i>	12	17.19	937.50	1.3868	4.00	1.88
<i>Ardisia guyanensis</i>	15	12.50	1171.88	1.6771	3.86	2.32
<i>Myroxylum peruferum</i>	12	15.63	937.50	1.3366	3.78	1.85
<i>Trichilia catigua</i>	9	10.94	703.13	2.4757	3.59	2.24
<i>Metrodorea stipularis</i>	2	3.13	156.25	5.2155	3.57	3.19
<i>Polygala klotzschii</i>	19	10.94	1484.38	.2963	3.23	1.88
<i>Citronella paniculata</i>	5	7.81	390.63	3.1082	3.21	2.24
<i>Sequieria floribunda</i>	15	12.50	1171.88	.2915	3.06	1.52
<i>Oxalis rhoisbeo-ovata</i>	15	9.38	1171.88	.8929	3.02	1.87
<i>Cariniana estrellensis</i>	7	10.94	546.88	1.2560	2.70	1.36
<i>Chiococa alba</i>	9	10.94	703.13	.8199	2.63	1.28
<i>Psychotria leiocarpa</i>	11	7.81	859.38	.8703	2.46	1.49
<i>Syagrus romanzoffiana</i>	9	12.50	703.13	.1709	2.45	.91
<i>Acalypha gracilis</i>	16	6.25	1250.00	.3826	2.43	1.66
<i>Solanum swartzianum</i>	7	9.38	546.88	1.0904	2.42	1.26
<i>Campomanesia xanthocarpa</i>	9	9.38	703.13	.4981	2.37	1.21
<i>Trichilia pallida</i>	3	4.69	234.38	2.3853	2.22	1.65
<i>Pseudechinolaena polystachya</i>	17	4.69	1328.13	.1543	2.20	1.62
<i>Centrolobium tomentosum</i>	8	9.38	625.00	.4114	2.11	.96
<i>Mollinedia widgrenii</i>	6	7.81	468.75	.7903	1.96	1.00
<i>Rudgea jasminoides</i>	6	7.81	468.75	.6606	1.89	.92
<i>Bactris sp</i>	4	3.13	312.50	1.7757	1.77	1.38
<i>Corymborchis sp</i>	9	6.25	703.13	.2681	1.74	.97
<i>Piper loefgrenii</i>	12	3.13	937.50	.4015	1.70	1.31
<i>Sweetia fruticosa</i>	1	1.56	78.13	2.4544	1.70	1.51
<i>Nectandra megapotamica</i>	5	7.81	390.63	.4388	1.67	.70
<i>Astronium graveolens</i>	5	6.25	390.63	.4331	1.47	.70
<i>Psychotria spi</i>	7	4.69	546.88	.4342	1.46	.88
<i>Sorocea bonplandii</i>	4	6.25	312.50	.4257	1.38	.61
<i>Guapira opposita</i>	4	6.25	312.50	.3200	1.32	.55
<i>Balfourodendron riedelianum</i>	4	6.25	312.50	.2583	1.28	.51
<i>poaceae sp</i>	6	4.69	468.75	.1795	1.22	.64
<i>Sarcoglottis fasciculata</i>	6	4.69	468.75	.1713	1.22	.64
<i>Sebastiania edwaliana</i>	4	6.25	312.50	.0730	1.17	.40

Apêndice 1. continuação

Especie	ind.	FA	DA	DoA	IVI	IVC
Randia armata	4	6.25	312.50	.0256	1.15	.38
Ottonia propinqua	5	1.56	390.63	.8487	1.13	.94
Cabralea canjerana	1	1.56	78.13	1.3806	1.08	.89
Stylogine ambigua	3	4.69	234.38	.3596	1.06	.48
Calyptranthes lucida	3	3.13	234.38	.6161	1.01	.63
Capsicum villosum	3	4.69	234.38	.2278	.98	.40
Inga fagifolia	6	3.13	468.75	.0838	.97	.59
Psychotria cartagennensis	3	4.69	234.38	.1441	.93	.35
Psychotria sp2	3	4.69	234.38	.1371	.93	.35
Calliandra foliolosa	3	4.69	234.38	.0782	.89	.32
Psychotria cephalantha	1	1.56	78.13	.8836	.79	.60
Actinostemon communis	3	3.13	234.38	.2276	.79	.40
Citronella congonha	2	3.13	156.25	.2438	.71	.32
Piper amplum	3	1.56	234.38	.4056	.70	.50
Savia dictiocarpa	3	3.13	234.38	.0532	.69	.30
Ocotea puberula	3	3.13	234.38	.0310	.67	.29
Pilea sp	3	3.13	234.38	.0139	.66	.28
Miconia inaequidaens	2	1.56	156.25	.4449	.63	.44
Chrysophyllum gonocarpum	2	3.13	156.25	.0847	.61	.23
Zanthoxylum minutiflorum	2	3.13	156.25	.0774	.61	.22
Capsicum flexuosum	2	3.13	156.25	.0435	.59	.21
Phyllanthus nobilis	2	3.13	156.25	.0325	.58	.20
Diospyrus inconstans	2	3.13	156.25	.0153	.57	.19
Guettarda urunguensis	2	3.13	156.25	.0101	.57	.19
Prunus sellowi	1	1.56	78.13	.4644	.55	.36
Bromelia balansae	2	1.56	156.25	.2516	.52	.33
Mollinedia triflora	2	1.56	156.25	.2313	.51	.31
Eugenia obovata	2	1.56	156.25	.1803	.48	.28
Allophylus edulis	2	1.56	156.25	.1004	.43	.24
Ocotea aff odorifera	1	1.56	78.13	.2513	.43	.24
Almeidea coerulea	2	1.56	156.25	.0403	.40	.20
Heliconia psittacorum	1	1.56	78.13	.1856	.39	.20
Frockia crucis	2	1.56	156.25	.0258	.39	.20
Guarea macrophylla	1	1.56	78.13	.1082	.35	.15
Inga luschnatiana	1	1.56	78.13	.0628	.32	.13
Cestrum sessiliflorum	1	1.56	78.13	.0590	.32	.12
Dichorisandra incurva	1	1.56	78.13	.0383	.30	.11
Iresine difusa	1	1.56	78.13	.0383	.30	.11
Neomarica sp	1	1.56	78.13	.0271	.30	.11
Piper cf aduncum	1	1.56	78.13	.0245	.30	.10
Actinostemon concolor	1	1.56	78.13	.0199	.29	.10
Aspidosperma ramiflorum	1	1.56	78.13	.0199	.29	.10
Campomanesia guazumifolia	1	1.56	78.13	.0177	.29	.10
Eugenia gardeneriana	1	1.56	78.13	.0157	.29	.10
Pisonia aculeata	1	1.56	78.13	.0138	.29	.10
Heliotropium transalpinum	1	1.56	78.13	.0120	.29	.10
Casearia sylvestris	1	1.56	78.13	.0104	.29	.10
Thournefortia paniculata	1	1.56	78.13	.0088	.29	.10
Baccharis trinervis	1	1.56	78.13	.0088	.29	.10
Maranta parvifolia	1	1.56	78.13	.0088	.29	.10
total	100	1109	810.90	86640.62	173.3610	300.00 200.00

Apêndice 2. Dados fitossociológicos, ordenados por IVI, das famílias da vegetação herbácea-arbustiva da mata da Fazenda São Vicente. indiv. número de indivíduos; spp número de espécies; DA densidade absoluta; FA frequência absoluta; DoA dominância absoluta.

Família	indiv.	spp	DA	FA	DoA	IVI	IVC
Rubiaceae	293	13	22890.63	81.25	41.0136	61.71	50.08
Meliaceae	112	6	8750.00	76.56	66.4163	59.37	48.41
Violaceae	194	1	15156.25	79.69	8.7627	33.96	22.55
Piperaceae	55	5	4296.88	35.94	4.3375	12.61	7.46
Euphorbiaceae	64	7	5000.00	35.94	2.0252	12.08	6.94
Myrtaceae	23	6	1796.88	25.00	6.7177	9.53	5.95
Fabaceae	21	3	1640.63	25.00	4.2024	7.90	4.32
Caesalpiniaceae	16	1	1250.00	21.88	3.6946	6.71	3.57
Apocynaceae	17	2	1328.13	23.44	2.2512	6.19	2.83
Rutaceae	10	4	781.25	14.06	5.5915	6.14	4.13
Simaroubaceae	30	1	2343.75	15.63	1.9598	6.07	3.84
Malvaceae	28	1	2187.50	7.81	3.6558	5.75	4.63
Myrsinaceae	18	2	1406.25	17.19	2.0367	5.26	2.80
Sapindaceae	14	2	1093.75	18.75	1.4872	4.80	2.12
Solanaceae	13	4	1015.63	18.75	1.4207	4.68	1.99
Delastraceae	15	1	1171.88	21.88	.2740	4.64	1.51
Rhamnaceae	8	1	625.00	9.38	3.9068	4.32	2.97
Arecaceae	13	2	1015.63	14.06	1.9466	4.31	2.30
Icacinaceae	7	2	546.88	10.94	3.3519	4.13	2.56
Poaceae	23	2	1796.88	9.38	.3339	3.61	2.27
Polygalaceae	19	1	1484.38	10.94	.2963	3.45	1.88
Phytolacaceae	15	1	1171.88	12.50	.2915	3.31	1.52
Oxalidaceae	15	1	1171.88	9.38	.8929	3.21	1.87
Orchidaceae	15	2	1171.88	10.94	.4393	3.17	1.61
Lauraceae	9	3	703.13	12.50	.7211	3.02	1.23
Lecythidaceae	7	1	546.88	10.94	1.2560	2.92	1.36
Monimiaceae	8	2	625.00	9.38	1.0216	2.65	1.31
Mimosaceae	10	3	781.25	9.38	.2249	2.37	1.03
Nyctaginaceae	5	2	390.63	7.81	.3338	1.76	.64
Anacardiaceae	5	1	390.63	6.25	.4331	1.60	.70
Moraceae	4	1	312.50	6.25	.4257	1.50	.61
Flacourtiaceae	3	2	234.38	3.13	.0362	.74	.29
Urticaceae	3	1	234.38	3.13	.0139	.73	.28
Sapotaceae	2	1	156.25	3.13	.0847	.68	.23
Melastomataceae	2	1	156.25	1.56	.4449	.66	.44
Boraginaceae	2	2	156.25	3.13	.0209	.64	.19
Ebenaceae	2	1	156.25	3.13	.0153	.64	.19
Rosaceae	1	1	78.13	1.56	.4644	.58	.36
Bromeliaceae	2	1	156.25	1.56	.2516	.55	.33
Heliconiaceae	1	1	78.13	1.56	.1856	.42	.20
Commelinaceae	1	1	78.13	1.56	.0383	.34	.11
Amaranthaceae	1	1	78.13	1.56	.0383	.34	.11
Iridaceae	1	1	78.13	1.56	.0271	.33	.11
Maranthaceae	1	1	78.13	1.56	.0088	.32	.10
Asteraceae	1	1	78.13	1.56	.0088	.32	.10

total 45 famílias

Apêndice 3. Dados fitossociológicos, ordenados por número de espécies das, por parcelas da vegetação herbáceo-arbustiva da mata da Fazenda São Vicente. Parc. = parcela; ind. = número de indivíduos; AB = cobertura (dam^2); DA = densidade absoluta; DoA = dominância absoluta.

Parc.	ind.	spp	AB	DA	DoA
37	32	15	.0515	160000.0	257.6774
19	26	14	.0699	130000.0	349.3726
27	24	13	.0518	120000.0	258.8869
1	20	13	.0117	100000.0	58.4925
28	21	12	.0446	105000.0	222.9667
36	30	12	.0590	150000.0	295.1212
38	16	11	.0291	80000.0	145.6678
42	28	11	.0803	140000.0	401.2521
54	28	11	.0124	140000.0	62.2271
16	11	10	.0056	55000.0	27.9837
29	30	10	.0133	150000.0	66.3387
33	17	10	.0215	85000.0	107.5053
34	37	10	.0759	185000.0	379.4887
41	37	10	.0961	185000.0	480.6048
55	15	10	.0155	75000.0	77.6955
18	14	9	.0265	70000.0	132.3475
20	13	9	.0384	65000.0	191.9984
23	18	9	.0552	90000.0	276.1735
30	25	9	.0343	125000.0	171.2914
31	24	9	.0262	120000.0	130.9494
35	27	9	.0347	135000.0	173.6515
4	14	9	.0287	70000.0	143.4765
45	19	9	.0215	95000.0	107.2657
48	24	9	.0176	120000.0	87.8546
53	17	9	.0657	85000.0	328.6734
56	19	9	.0102	95000.0	50.8231
61	12	9	.0285	60000.0	142.5537
62	25	9	.0333	125000.0	166.5162
11	12	8	.0247	60000.0	123.6649
2	22	8	.0143	110000.0	71.5144
17	13	8	.0462	65000.0	231.0091
32	19	8	.0755	95000.0	377.3878
12	11	8	.0128	55000.0	64.1121
13	15	8	.0159	75000.0	79.2938
22	20	8	.0370	100000.0	185.0908
10	12	8	.0265	60000.0	132.4613
46	27	8	.0444	135000.0	222.0203
50	12	8	.0344	60000.0	172.1082
26	14	8	.0378	70000.0	188.8176
5	10	8	.0102	50000.0	51.0627
14	9	7	.0075	45000.0	37.4203
8	10	7	.0182	50000.0	90.9766
9	12	7	.0203	60000.0	101.5363
15	8	7	.0232	40000.0	115.8894
58	12	7	.0577	60000.0	288.3079
40	14	7	.0173	70000.0	86.6294
63	11	7	.0076	55000.0	37.8955
24	13	6	.0869	65000.0	434.3134
52	14	6	.0689	70000.0	344.6602
25	11	6	.0268	55000.0	134.0871

Apêndice 3. continuação

Parcela	Ind.	SPP	AB	DA	DoA
43	35	6	.0589	175000.0	294.5910
44	32	6	.0468	160000.0	234.2489
57	18	6	.0567	90000.0	283.5169
59	10	6	.0284	50000.0	142.1217
47	21	6	.0301	105000.0	150.6158
39	7	5	.0574	35000.0	287.0670
7	6	5	.0073	30000.0	36.3286
64	6	5	.0047	30000.0	23.2753
51	10	4	.0258	50000.0	129.0606
3	8	4	.0025	40000.0	12.6292
21	19	4	.0461	95000.0	230.2944
49	4	4	.0069	20000.0	34.5929
60	4	3	.0694	20000.0	346.9497
6	5	3	.0049	25000.0	24.7008
total			64 parcelas (de 2x1m)		

Apêndice 4. Dados fitossociológicos, ordenados por número de espécies, por grupo de parcelas da vegetação herbácea-arbustiva da mata da Fazenda São Vicente. ind. número de indivíduos; spp número de espécies; AB cobertura (dam^2); DA densidade absoluta; DoA dominância absoluta.

Grupo	ind.	spp	AB	DA	DoA
5	66	25	.1810	330000.0	904.7276
7	70	25	.1610	350000.0	804.7583
14	79	25	.1038	395000.0	519.4191
10	69	24	.1553	345000.0	777.0416
1	64	21	.0572	320000.0	286.1126
4	43	21	.0522	215000.0	260.5872
11	132	21	.2821	660000.0	1410.6968
12	91	21	.1136	455000.0	567.7564
3	47	20	.0843	235000.0	421.7746
16	54	20	.0741	270000.0	370.2407
9	111	18	.1911	555000.0	955.7667
8	98	17	.1493	490000.0	745.9873
13	40	16	.1360	200000.0	680.4219
15	44	16	.2122	220000.0	1060.8982
2	31	14	.0406	155000.0	203.0687
6	70	14	.2252	350000.0	1125.8721

Apêndice 5. Dados fitossociológicos, ordenados por IVI, das espécies do componente arbóreo da mata da Fazenda São Vicente. Os indivíduos mortos e em pé amostrados foram computados à parte e comparados em relação ao total dos indivíduos vivos. ind. número de indivíduos; FA frequência absoluta; DA densidade absoluta; DoA dominância absoluta.

Espécie	ind.	FA	DA	DoA	IVI	IVC
<i>Trichilia clausenii</i>	106	90.48	252.38	3.7374	39.00	29.43
<i>Astronium graveolens</i>	52	66.67	123.81	2.7777	24.43	17.38
<i>Piptadenia gonoacantha</i>	27	40.48	64.29	4.6648	23.34	19.06
<i>Aspidosperma polyneuron</i>	42	47.62	100.00	1.7485	17.53	12.49
<i>Croton salutaris</i>	23	35.71	54.76	1.8044	13.26	9.48
<i>Chorisia speciosa</i>	4	9.52	9.52	2.9248	10.79	9.78
<i>Centrolobium tomentosum</i>	16	33.33	38.10	1.0423	9.46	5.93
<i>Galipea multiflora</i>	29	23.81	69.05	.2872	8.28	5.76
<i>Trichilia pallida</i>	21	35.71	50.00	.2706	8.14	4.37
<i>Prockia crucis</i>	21	28.57	50.00	.2621	7.36	4.34
<i>Calyptanthes lucida</i>	15	28.57	35.71	.3134	6.52	3.49
<i>Casearia sylvestris</i>	14	23.81	33.33	.3061	5.82	3.30
<i>Jacaranda micrantha</i>	13	26.19	30.95	.2571	5.75	2.98
<i>Chlorophora tinctoria</i>	6	11.90	14.29	1.0338	5.49	4.23
<i>Croton floribundus</i>	7	14.29	16.67	.8191	5.24	3.73
<i>Zanthoxylum minutiflorum</i>	11	21.43	26.19	.3577	5.23	2.96
<i>Sebastiana edwaliana</i>	14	21.43	33.33	.0970	4.92	2.65
<i>Guarea macrophylla</i>	10	21.43	23.81	.2996	4.88	2.61
dicotiledônea sp1	2	4.76	4.76	1.2825	4.83	4.33
<i>Alchornea glandulosa</i>	7	14.29	16.67	.6077	4.58	3.07
<i>Cariniana estrellensis</i>	7	11.90	16.67	.6714	4.53	3.27
<i>Bauhinia forficata</i>	8	14.29	19.05	.2131	3.52	2.01
<i>Citronella congonha</i>	7	14.29	16.67	.1295	3.09	1.58
<i>Cabralea canjerana</i>	4	9.52	9.52	.4505	3.08	2.07
<i>Cupania vernalis</i>	7	16.67	16.67	.0391	3.06	1.30
dicotiledônea sp2	1	2.38	2.38	.8344	3.02	2.77
<i>Seguieria floribunda</i>	4	7.14	9.52	.4800	2.92	2.17
<i>Ocotea aff odorifera</i>	6	14.29	14.29	.1154	2.88	1.37
<i>Swetia fruticosa</i>	5	11.90	11.90	.2484	2.87	1.61
<i>Ixora venulosa</i>	5	11.90	11.90	.1055	2.43	1.17
<i>Guazuma ulmifolia</i>	2	4.76	4.76	.5004	2.40	1.89
<i>Holocalyx balansae</i>	3	7.14	7.14	.3564	2.37	1.61
<i>Luehea divaricata</i>	5	11.90	11.90	.0805	2.35	1.09
<i>Trichilia catigua</i>	5	9.52	11.90	.0908	2.13	1.12
<i>Syagrus romanzoffiana</i>	4	7.14	9.52	.2098	2.08	1.32
<i>Rhamnidium elaeocarpum</i>	3	7.14	7.14	.2358	1.99	1.24
<i>Casearia gossypiosperma</i>	3	7.14	7.14	.2355	1.99	1.24
<i>Mollinedia widgrenii</i>	3	7.14	7.14	.2096	1.91	1.16
<i>Aspidosperma ramiflorum</i>	4	9.52	9.52	.0899	1.90	.89
<i>Calyptanthes grandifolia</i>	4	7.14	9.52	.0317	1.53	.77

Apêndice 5. continuação

Espécie	ind.	FA	DA	DsA	IVI	IVC
<i>Ormosia arborea</i>	1	2.38	2.38	.3458	1.50	1.24
<i>Allophylus edulis</i>	3	7.14	7.14	.0513	1.42	.66
<i>Myroxylum peruferum</i>	3	7.14	7.14	.0503	1.42	.66
<i>Maytenus aquifolium</i>	3	4.76	7.14	.1188	1.38	.87
<i>Guettarda urunguensis</i>	3	7.14	7.14	.0269	1.34	.59
<i>Eugenia involucrata</i>	3	7.14	7.14	.0269	1.34	.59
<i>Balfourodendron riedelianum</i>	1	2.38	2.38	.2424	1.17	.92
<i>Rudgea jasminoides</i>	3	4.76	7.14	.0194	1.07	.56
<i>Campomanesia xanthocarpa</i>	2	4.76	4.76	.0638	1.04	.54
<i>Cassia ferruginea</i>	1	2.38	2.38	.1915	1.02	.76
<i>Vernonia diffusa</i>	1	2.38	2.38	.1891	1.01	.76
<i>Stylogine ambigua</i>	2	4.76	4.76	.0163	.89	.39
<i>Solanum swartzianum</i>	2	4.76	4.76	.0146	.88	.38
<i>Miconia inaequidens</i>	2	4.76	4.76	.0131	.88	.38
<i>Aloysia virgata</i>	2	4.76	4.76	.0121	.88	.37
<i>Xylosma pseudosausmanii</i>	2	4.76	4.76	.0115	.88	.37
<i>Rapanea umbellata</i>	2	4.76	4.76	.0099	.87	.37
<i>Celtis tala</i>	2	4.76	4.76	.0094	.87	.36
<i>Myrcia rostrata</i>	2	4.76	4.76	.0092	.87	.36
<i>Myrciaria ciliolata</i>	2	4.76	4.76	.0086	.87	.36
<i>dicotiledônea sp3</i>	1	2.38	2.38	.0972	.72	.47
<i>Simira sp</i>	1	2.38	2.38	.0485	.57	.32
<i>Metrodorea stipularis</i>	1	2.38	2.38	.0377	.54	.29
<i>Vochysia magnifica</i>	1	2.38	2.38	.0351	.53	.28
<i>Tetrorchidium dusenii</i>	1	2.38	2.38	.0297	.51	.26
<i>Picramnia ramiflora</i>	1	2.38	2.38	.0247	.50	.24
<i>Savia dyctiocarpa</i>	1	2.38	2.38	.0226	.49	.24
<i>Zanthoxylum rhoifolium</i>	1	2.38	2.38	.0214	.49	.23
<i>Ocotea puberula</i>	1	2.38	2.38	.0198	.48	.23
<i>Eugenia moraviana</i>	1	2.38	2.38	.0169	.47	.22
<i>Lonchocarpus guileminianus</i>	1	2.38	2.38	.0165	.47	.22
<i>Ocotea elegans</i>	1	2.38	2.38	.0142	.46	.21
<i>Machaerium brasiliense</i>	1	2.38	2.38	.0112	.46	.20
<i>Eugenia sp</i>	1	2.38	2.38	.0108	.45	.20
<i>Siparuna guianensis</i>	1	2.38	2.38	.0100	.45	.20
<i>Lacistema hasslerianum</i>	1	2.38	2.38	.0100	.45	.20
<i>Pisonia ambiqa</i>	1	2.38	2.38	.0067	.44	.19
<i>Guarea kunthiana</i>	1	2.38	2.38	.0061	.44	.19
<i>Luetzelburgia guaiçara</i>	1	2.38	2.38	.0061	.44	.19
<i>Citronella paniculata</i>	1	2.38	2.38	.0059	.44	.19
<i>Eugenia obovata</i>	1	2.38	2.38	.0053	.44	.18
<i>Tapirira guianensis</i>	1	2.38	2.38	.0049	.43	.18
<i>Nectandra megapotamica</i>	1	2.38	2.38	.0049	.43	.18
<i>Eugenia ligustrina</i>	1	2.38	2.38	.0043	.43	.18
total	84	596	945.20	1419.05	32.1019	300.00
						200.00
mortas		38	52.38	90.48	1.6217	16.05
						10.80

Apêndice 6. Dados fitossociológicos, ordenados por número de indivíduos das famílias (não inclue indivíduos mortos) do componente arbóreo da mata da Fazenda São Vicente. No. indiv. número de indivíduos; Nspp número de espécies; %spp porcentagem do número total de espécies amostrado.

Família	No.indiv.	Nspp	%spp
Meliaceae	147	6	7.14
Euphorbiaceae	53	6	7.14
Anacardiaceae	53	2	2.38
Apocynaceae	46	2	2.38
Rutaceae	43	5	5.95
Flacourtiaceae	41	4	4.76
Myrtaceae	32	11	13.10
Fabaceae	28	6	7.14
Mimosaceae	27	1	1.19
Bignoniaceae	13	1	1.19
Rubiaceae	12	4	4.76
Caesalpiniaceae	12	3	3.57
Sapindaceae	10	2	2.38
Lauraceae	9	4	4.76
Icacinaceae	8	2	2.38
Lecythidaceae	7	1	1.19
Moraceae	6	1	1.19
Tiliaceae	5	1	1.19
dicotiledôneas indeterminadas	4	3	3.57
Monimiaceae	4	2	2.38
Myrsinaceae	4	2	2.38
Arecaceae	4	1	1.19
Bombacaceae	4	1	1.19
Phytolaccaceae	4	1	1.19
Solanaceae	3	2	2.38
Rhamnaceae	3	1	1.19
Verbenaceae	2	1	1.19
Celastraceae	3	1	1.19
Melastomataceae	2	1	1.19
Sterculiaceae	2	1	1.19
Asteraceae	1	1	1.19
Vochysiaceae	1	1	1.19
Simaroubaceae	1	1	1.19
Lacistemataceae	1	1	1.19
Ulmaceae	1	1	1.19
total	34 famílias (+ 3 espécies de famílias não determinadas)		

Apêndice 7. Dados fitossociológicos, por parcela, do componente arbóreo da mata da Fazenda São Vicente (não inclui indivíduos mortos). Parc. parcela; ind. número de indivíduos; spp número de espécies; AB área basal (m^2); DA densidade absoluta; DoA dominância absoluta.

Parc.	ind.	spp	AB	DA	DoA
23	18	17	.1311	1800.0	13.1097
25	21	17	.1302	2100.0	13.0200
35	19	15	.2617	1900.0	26.1713
19	20	12	.4180	2000.0	41.7966
27	15	12	.2733	1500.0	27.3312
30	16	12	.5683	1600.0	56.8294
37	22	12	.3240	2200.0	32.3970
42	16	12	.3685	1600.0	36.8456
16	12	11	.3849	1200.0	38.4873
18	16	11	.3497	1600.0	34.9732
29	11	11	.2819	1100.0	28.1941
31	18	11	.1460	1800.0	14.5952
33	18	11	.3557	1800.0	35.5701
34	17	11	.2050	1700.0	20.5007
9	16	10	.4630	1600.0	46.2986
24	13	10	.0575	1300.0	5.7472
28	17	10	.4233	1700.0	42.3349
3	16	10	.4355	1600.0	43.5463
36	10	10	.3387	1000.0	33.8691
40	13	10	.2614	1300.0	26.1410
41	17	10	.5598	1700.0	55.9804
11	18	9	.1328	1800.0	13.2764
32	15	9	.2341	1500.0	23.4145
10	23	9	.4377	2300.0	43.7687
4	15	9	.2733	1500.0	27.3264
20	14	9	.2181	1400.0	21.8057
6	14	8	.2560	1400.0	25.5984
1	15	8	.4198	1500.0	41.9837
7	9	8	.2042	900.0	20.4174
38	9	8	.1027	900.0	10.2667
26	14	8	.7378	1400.0	73.7845
8	11	8	.5557	1100.0	55.5669
22	11	7	.1620	1100.0	16.2006
39	9	7	.4064	900.0	40.6413
21	10	7	.3940	1000.0	39.4034
17	12	7	.8495	1200.0	84.9509
13	11	6	.1905	1100.0	19.0505
15	8	6	.3572	800.0	35.7160
2	9	6	.1308	900.0	13.0803
12	9	5	.1981	900.0	19.8095
5	9	5	.2425	900.0	24.2515
14	10	3	.2423	1000.0	24.2255

total

42 parcelas (de 10x10m)

Apêndice 8. Dados químicos e físicos de amostras de solo realizadas na mata da Fazenda São Vicente. Análises realizadas pelo Laboratório LAGRO, exceto as medidas de massa da serapilheira realizadas pelo autor: prof. profundidade; h0 horizonte 0 (que corresponde ao folhado depositado, em estado de decomposição ou ainda integral); é massa do folhado coletado em uma área de 1m²; * extraído por Mellich; ** extraído por resina aniônica; gran. classe de granulometria (A argilosos; B barrentos; LA limo-arenosos; LAB limo-areno-argilosos) e entre colchetes subclasse (a argilosos; ab areno-barrentos; b barrentos; fa fino-arenosos; fab fino-areno-barrentos); * aa amarelo avermelhado, b bruno, ba bruno avermelhado claro, bc bruno claro, bf bruno forte, r rosado, vc vermelho claro. A barra \ indica que o parâmetro não foi analisado.

área:	prof.:	pH	M O:	P		meq/100ml TFSAs (ou %)						V	massa:gran.:cor				
		(cm)	:CaCl ₂ H ₂ O (%)	:ppm† ppm‡ (%)	*	K	Ca	Mg	Al	H	CTC	N	S (%)	:(Kg) #: :	‡		
1	h0 :	\	\	\	\	0.05*	0.19%	1.65%	0.25%	\	\	\	1.42%	0.10%	\ : 0.7 :	\ :\ \	
	0-20 :	4.9	5.7	3.3	1.0	4.1	\ *	0.30*	3.0	1.4	--	3.1	7.8	\	"60.3:	\ : LAB : bc	\ :\ \
	40-60 :	4.6	5.3	1.3	1.0	1.0	\ *	0.17*	0.5	0.3	--	4.2	5.2	\	"18.8:	\ : B :	aa
	80-100:	4.8	5.4	0.8	3.3	5.2	\ *	0.35*	0.6	0.4	--	3.4	4.7	\	"28.4:	\ : B :	aa
															:[b] :		
2	h0 :	\	\	\	\	0.05*	0.15%	1.20%	0.15%	\	\	\	1.41%	0.10%	\ : 1.7 :	\ :\ \	\ :\ \
	0-20 :	4.9	5.6	4.0	1.0	6.3	\ *	0.45*	4.7	2.3	--	2.8	10.2	\	"72.7:	\ : LAB : ba	\ :\ \
	40-60 :	4.6	5.3	0.9	1.3	1.0	\ *	0.19*	0.9	0.5	0.1	3.0	4.7	\	"33.9:	\ : LAB :	r
	80-100:	4.6	5.3	0.4	2.3	1.0	\ *	0.18*	0.7	0.4	0.3	3.9	5.5	\	"23.4:	\ : LAB :	r
															:[ab] :		
3	h0 :	\	\	\	\	0.16*	0.15%	2.70%	0.23%	\	\	\	1.45%	0.12%	\ : 1.7 :	\ :\ \	\ :\ \
	0-20 :	5.3	6.1	5.2	5.3	10.7	\ *	0.86*	10.4	4.1	--	2.0	17.4	\	"88.5:	\ : LAB :	aa
	40-60 :	5.6	6.2	1.4	1.6	1.0	\ *	0.33*	4.3	2.7	--	1.8	9.1	\	"80.3:	\ : B :	vc
	80-100:	5.6	6.2	1.3	2.0	4.1	\ *	0.48*	2.4	1.6	--	1.8	6.3	\	"71.4:	\ : A :	aa
															:[b] :		
4	h0 :	\	\	\	\	0.07*	0.27%	1.95%	0.22%	\	\	\	0.83%	0.19%	\ : 1.8 :	\ :\ \	\ :\ \
	0-20 :	5.6	6.2	3.8	1.0	14.2	\ *	0.83*	7.6	1.7	--	2.0	12.1	\	"83.5:	\ : LA :	b
	40-60 :	4.9	5.5	1.6	1.0	1.0	\ *	0.25*	2.7	1.8	--	3.4	8.1	\	"58.3:	\ : B :	bf
	80-100:	5.0	5.8	1.0	1.3	1.0	\ *	0.21*	2.5	1.7	--	3.4	7.8	\	"56.5:	\ : B :	bf
															:[b] :		
5	h0 :	\	\	\	\	0.07*	0.27%	2.75%	0.28%	\	\	\	1.78%	0.19%	\ : 1.4 :	\ :\ \	\ :\ \
	0-20 :	5.5	6.0	5.4	1.0	10.7	\ *	0.47*	8.8	3.0	--	2.2	14.5	\	"84.8:	\ : LA :	ba
	40-60 :	5.6	6.2	1.4	1.0	2.1	\ *	0.14*	3.2	1.8	--	2.8	7.9	\	"64.7:	\ : B :	vc
	80-100:	5.3	6.0	0.9	3.0	1.0	\ *	0.22*	2.2	1.4	--	2.5	6.3	\	"60.5:	\ : A :	vc
															:[a] :		

Apêndice 9. Número de indivíduos (linha superior) e cobertura (dm^2) (linha inferior, em negrito) das espécies, com pelo menos 10 indivíduos, levantadas no estudo fitossociológico da vegetação herbácea e arbustiva na Fazenda São Vicente, Campinas (SP), por grupos de parcelas em relação à média da luminosidade ($\times 10^{-5}\text{W.cm}^{-2}$), da estação seca e chuvosa (valores entre colchetes). A mesma letra, dentro dos parênteses, indica que os grupos de parcelas localizam-se no mesmo sítio amostral, distando entre si 10m. O sinal * separa metade dos grupos de parcelas com os maiores valores de luminosidade e metade com os menores (mediana); o sinal † separa os grupos de parcelas pelo valor médio de luminosidade (média). Pseud. Pseudechinolaena.

grupos de parcelas	: 2(f)	5(d)	4(h)	9(b)	7(a)	8(a)	16(h)	3(g)	* 11(c)	13(e)	† 15(g)	14(f)	1(e)	10(b)	12(d)	6(c)	
espécies	\ :	[16,5]	[21,7]	[22,4]	[39,5]	[51,5]	[55,9]	[58,1]	[108,1]*[108,7]	[135,1]†[219,7]	[223,3]	[337,6]	[500,0]	[531,1]	[625,6]		
<u>Trichilia</u> <u>clausenii</u> :	: 6	2	0	7	1	7	0	5	* 6	6	† 7	3	9	6	5	9	
	: 121,1	328,8	0	669,7	143,1	982,3	0	386,3*	634,1	463,5†	901,6	159,2	62,1	435,7	444,4	1299,9	
<u>Coffea</u> <u>arabica</u> :	: 6	2	1	9	17	20	12	3	* 70	0	† 0	5	7	1	11	16	
	: 94,7	5,9	1,3	34,0	347,7	145,2	117,1	61,5*	872,9	0	† 0	130,2	25,3	0,6	101,7	558,7	
<u>Hybanthus</u> <u>atropurpureus</u> :	: 3	10	4	11	4	7	12	2	* 25	10	† 17	13	2	6	43	25	
	: 10,0	38,0	8,7	26,9	20,3	16,4	170,2	18,8*	64,0	99,3†	79,9	32,4	2,9	58,5	260,9	213,4	
<u>Psychotria</u> <u>deflexa</u> :	: 0	15	5	2	0	0	5	0	* 2	0	† 0	0	0	6	0	0	
	: 0	413,3	19,0	79,5	0	0	61,7	0	* 94,8	0	† 0	0	0	129,7	0	0	
<u>Piper</u> <u>amalago</u> :	: 1	0	3	4	2	0	0	0	* 1	1	† 1	2	0	8	10	1	1
	: 2,5	0	7,7	29,8	15,1	0	0	0	* 14,5	11,9†	48,8	0	37,3	164,7	1,8	5,7	
<u>Trichilia</u> <u>elegans</u> :	: 0	6	1	3	3	0	1	2	* 0	1	† 0	0	0	1	1	0	
	: 0	115,2	98,5	319,5	11,8	0	2,8	41,0*	0	1,1†	0	0	0	33,2	11,3	0	
<u>Holocalyx</u> <u>balansae</u> :	: 1	3	1	0	0	0	1	0	* 1	0	† 1	2	4	2	0	0	
	: 0,6	4,1	0,6	0	0	0	23,8	0	* 2,5	0	† 240,5	7,0	151,9	41,0	0	0	
<u>Ixora</u> <u>venulosa</u> :	: 0	1	0	0	1	0	0	0	* 2	0	† 1	0	13	0	0	0	
	: 0	254,5	0	0	15,9	0	0	0	* 332,3	0	† 9,1	0	65,4	0	0	0	
<u>Croton</u> <u>salutaris</u> :	: 0	0	0	3	4	9	0	3	* 0	0	† 1	0	0	15	0	0	
	: 0	0	0	51,5	10,9	21,6	0	14,1*	0	0	† 12,6	0	0	47,4	0	0	
<u>Picramnia</u> <u>ramiflora</u> :	: 0	0	0	18	1	9	0	0	* 1	0	† 0	0	0	1	0	0	
	: 0	0	0	138,3	15,2	54,1	0	0	* 2,5	0	† 0	0	0	40,7	0	0	
<u>Favonia</u> <u>sepium</u> :	: 0	0	0	27	0	0	0	0	* 0	0	† 0	0	0	0	1	0	
	: 0	0	0	467,3	0	0	0	0	* 0	0	† 0	0	0	0	0,6	0	
<u>Aspidosperma</u> <u>polyneuron</u> :	: 1	0	1	0	1	1	5	3	* 0	0	† 2	0	0	0	2	0	
	: 20,4	0	0,8	0	18,1	1,5	121,4	29,3*	0	0	† 62,9	0	0	0	20,4	0	

Apêndice 5. Continuação.

grupos de parcelas	: 2(f)	5(d)	4(h)	9(b)	7(a)	8(a)	16(h)	3(g)	" 11(c)	13(e)	* 15(g)	14(f)	1(e)	10(b)	12(d)	6(c)
	: [16,5] [21,7] [22,4] [39,5] [51,5] [55,9] [58,1] [108,1]*[108,7] [135,1]*[219,7] [223,3] [337,6] [500,0] [531,1] [625,6]															
<u>Psychotria</u>	: 0	4	3	0	0	0	0	0	"	0	0	*	0	7	0	0
<u>hastisepala</u>	:								*			*				
	: 0	144,0	28,5	0	0	0	0	0	"	0	0	*	0	474,2	0	0
	:								*			*				
<u>Maytenus</u>	: 0	0	0	3	2	0	0	0	"	2	1	*	0	2	1	0
<u>aguifolium</u>	:								*			*			2	2
	: 0	0	0	3,2	3,3	0	0	0	"	3,9	1,8*	0	0	1,0	1,8	0
	:								*		*					
<u>Cupania</u>	: 0	2	0	0	1	1	0	0	"	3	0	*	0	0	2	1
<u>vernalis</u>	:								*			*			2	0
	: 0	16,5	0	0	19,6	28,2	0	0	"	86,5	0	*	0	0	6,7	6,6
	:								*			*			13,3	0
<u>Ardisia</u>	: 0	2	0	0	3	0	0	0	"	1	7	*	0	0	1	1
<u>guayanensis</u>	:								*			*				
	: 0	7,6	0	0	41,9	0	0	0	"	3,1	157,54	0	0	0	2,5	1,8
	:								*		*					
<u>Myroxylum</u>	: 4	1	0	0	0	0	0	0	"	0	0	*	1	4	2	0
<u>peruferum</u>	:								*			*				
	: 21,9	127,7	0	0	0	0	0	0	"	0	0	*	6,2	13,4	6,6	0
	:								*			*				
<u>Polygala</u>	: 1	0	0	0	0	0	8	0	"	0	0	*	0	10	0	0
<u>klotzschii</u>	:								*			*				
	: 1,8	0	0	0	0	0	16,1	0	"	0	0	*	0	19,8	0	0
	:								*			*				
<u>Sequiera</u>	: 0	0	0	10	0	2	0	0	"	1	0	*	0	0	0	0
<u>floribunda</u>	:								*			*				2
	: 0	0	0	18,0	0	2,4	0	0	"	12,6	0	*	0	0	0	0
	:								*			*				4,0
<u>Oxalis</u>	: 0	0	0	1	10	3	0	0	"	1	0	*	0	0	0	0
<u>rhombo-ovata</u>	:								*			*				
	: 0	0	0	12,6	84,3	12,3	0	0	"	4,9	0	*	0	0	0	0
	:								*			*				
<u>Psychotria</u>	: 0	2	0	0	0	0	2	6	"	0	0	*	0	1	0	0
<u>leiocarpa</u>	:								*			*				
	: 0	47,6	0	0	0	0	3,0	59,9*	0	0	0	*	0	0,8	0	0
	:							*				*				
<u>Acalypha</u>	: 0	0	6	0	0	0	0	0	"	0	0	*	0	0	0	10
<u>gracilis</u>	:								*			*				
	: 0	0	8,7	0	0	0	0	0	"	0	0	*	0	0	0	38,8
	:								*			*				
<u>Fsaud.</u>	: 0	0	0	0	0	17	0	0	"	0	0	*	0	0	0	0
<u>polystachya</u>	:								*			*				
	: 0	0	0	0	0	19,6	0	0	"	0	0	*	0	0	0	0
	:								*			*				
<u>Piper</u>	: 0	0	0	0	0	0	0	0	"	0	0	*	0	9	0	3
<u>loforenii</u>	:								*			*			23,8	0
	: 0	0	0	0	0	0	0	0	"	0	0	*	0	27,5	0	23,8
	:								*			*				0